

DIMOSTRAZIONE DELLE RELAZIONI DIFFERENZIALI

Con le relazioni differenziali si mettono in evidenza le legami esistenti tra le sollecitazioni di Toglio, momento, sforzo normale.

È un concetto basilare che al richiesta deve venire esposto senza alcuna esitazione.

Sai dimostrazione avviene considerando un concio (pezzo) di trave sollecitata da un carico generico  $P$ .

Sarà possibile sviluppare tutti i ragionamenti che seguono sulla supposizione di base che il concio abbia lunghezza infinitesima che indicheremo con  $ds$ .

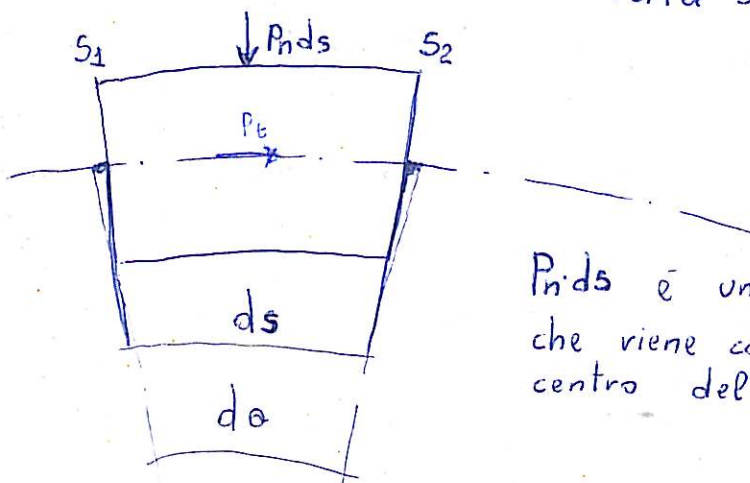
Un generico carico agente su un tratto  $ds$  può comunque essere considerato un carico generico concentrato.

Disegnato il concio inflesso indichiamo su di esso le componenti Normali e tangenziali del carico generico supposto concentrato.

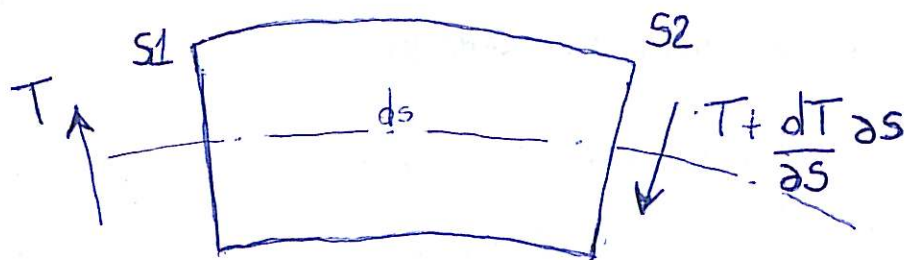
$P_t$  = componente lungo  $ds$  delle forze esterne

$P_n$  = componente lungo la normale all'asse del concio delle f. esterne.

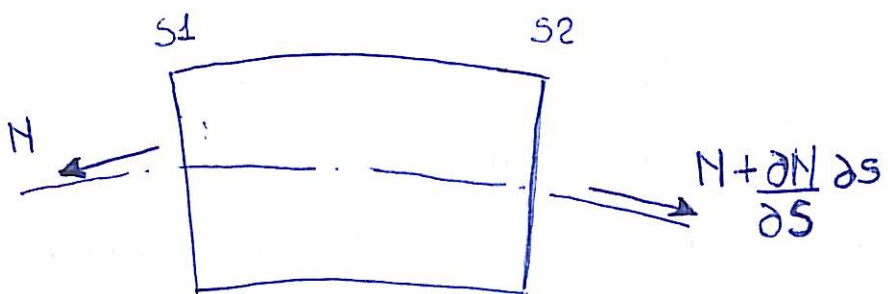
Se componenti  $P_t$  e  $P_n$  sono al loro volta supposte concentrate.



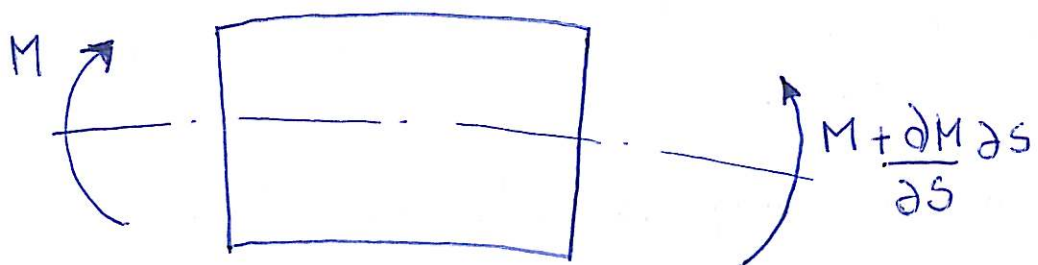
$P_nds$  è un carico distribuito che viene concentrato nel centro del concio



- 1) sul lato sinistro del concio indico il taglio  $T$  e lo riporto maggiorando dell'addendo differenziale sulla superficie  $S_2$  di destra.



- 2) Riporto lo sforzo normale a sinistra e successivamente sulla superficie  $S_2$  di destra maggiorandolo dell'addendo differenziale.



- 3) Riporto il momento a sinistra del concio e maggiorarlo dell'addendo differenziale sulla superficie  $S_2$  di destra.

Durante questi procedimenti ricordiamo le convenzioni  
 $N > 0$  quando il concio è soggetto a trazione,  $M > 0$   
 in senso orario,  $T > 0$  se associato ad un momento generante orario.

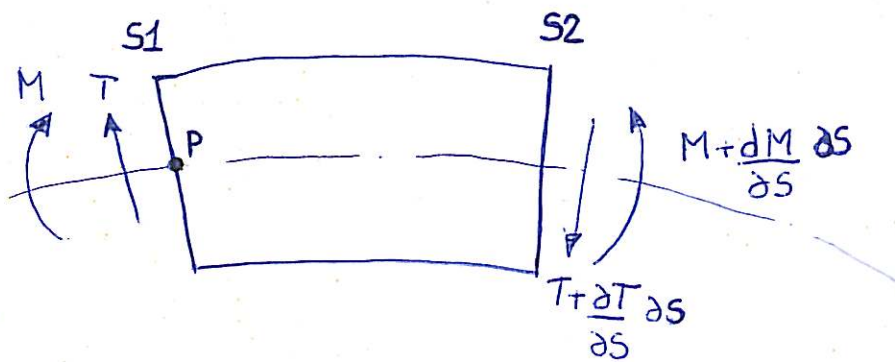
Per ricavare le relazioni differenziali che legano  $M$ ,  $N$ ,  $T$  a partire dalle supposizioni fatte dobbiamo impostare l'equilibrio al concio.

Il concio sarà in equilibrio se 1) NON RUOTA e ne 2) NON TRASLA.

1) Il concio non ruoterà se la sommatoria dei momenti applicati è nullo:  $\sum_i M_i = 0$

Per scrivere la sommatoria dei momenti bisogna che essi vengano espressi con i loro segni ed in funzione della superficie a cui si riferiscono; inoltre dovranno comparire anche le componenti dovute al prodotto dei tagli presenti per i bracci costituiti dalla lunghezza  $ds$  del concio.

Ridisegniamo il concio con evidenziati i momenti e i tagli.



$$\sum M_i = 0$$

$$M - \left( M + \frac{\partial M}{\partial s} ds \right) + ds \left( T + \frac{\partial T}{\partial s} ds \right) = 0$$

MOMENTI VERI E PROPRI

MOMENTI DOVUTI AI TAGLI CON BRACCI COSTITUITI DALLA LUNGHEZZA  $ds$  DEL CONCIO (EQUIVERSI ORARI QUINDI ENTRAMBI POSITIVI)

NOTA: se punto P è il polo su cui calcolare i momenti dovuti ai tagli, il taglio applicato al polo da momento nullo pertanto sparisce dall'equazione.

Da questa relazione cerchiamo di mettere in evidenza il Taglio

$$\sum M_i = 0 \quad M - \left( M + \frac{\partial M}{\partial s} \Delta s \right) + \Delta s \cdot \left( T + \frac{\partial T}{\partial s} \Delta s \right) = 0$$

I tagli sono eguiversi orari e quindi entrambi positivi. ma la componente sul polo P si annulla perché è nullo il braccio.

$$M - \left( M + \frac{\partial M}{\partial s} \Delta s \right) + \left( T + \frac{\partial T}{\partial s} \Delta s \right) \Delta s = 0$$

$$\cancel{M} - \cancel{M} - \frac{\partial M}{\partial s} \Delta s + T \Delta s + \frac{\partial T}{\partial s} \Delta s \Delta s = 0$$

$\underbrace{\Delta s}_{\text{infinitesimo di ordine superiore}}$

Trascurando gli infinitesimi di ordine superiore e semplificando si ottiene

$$-\frac{\partial M}{\partial s} \Delta s + T \Delta s = 0$$

porta al destro il membro che esprime il momento dovuto al taglio

$$-\frac{\partial M}{\partial s} \Delta s = -T \Delta s$$

Integrando ambo i membri sulla lunghezza  $\Delta s$  del concio e sistemando i segni si ottiene

$T = \frac{\partial M}{\partial s}$
-------------------------------------

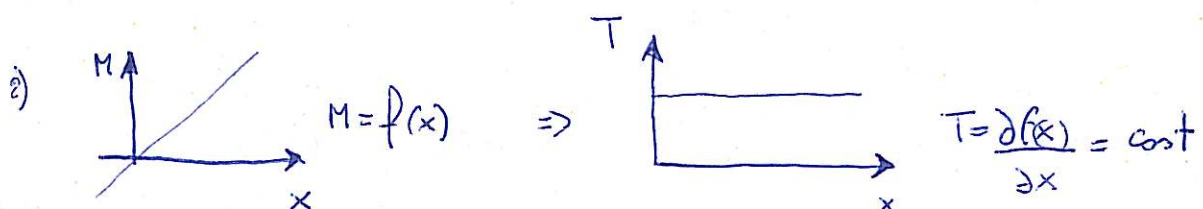
La relazione differenziale trovata esprime che il taglio è la derivata del momento rispetto alla funzione di distribuzione del carico sulla lunghezza dell'eventuale trave.

### IL TAGLIO È LA DERIVATA DEL MOMENTO

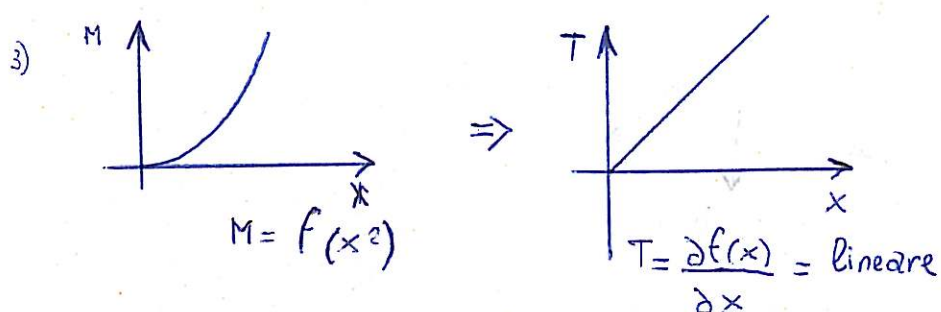
NE CONSEGUE CHE: 1) Se il momento è costante il taglio è nullo.



2) Se il momento è lineare il taglio è costante

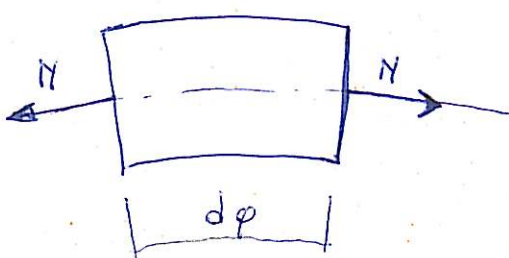


3) Se il momento è parabolico il taglio è lineare



Proseguiamo lo studio delle relazioni differenziali imponendo l'equilibrio alla traslazione verticale:

Riportando il concio si nota che a causa dell'inflessione le direzioni degli sforzi normali non sono coincidenti



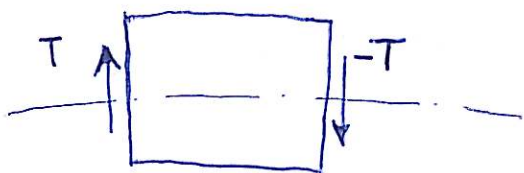
NOTA: vista la piccolezza del concio  
l'angolo  $d\varphi$  può essere approssimato  
dall'arco.

Se applichiamo i due vettori  $N$  ad un medesimo punto la diversità delle direzioni viene ulteriormente evidenziata.



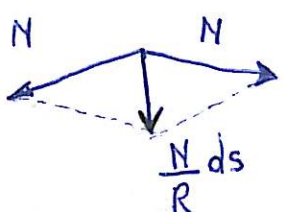
E' evidente che i due vettori  $N$  hanno risultante, se sommati, non nulla.

Hanno invece risultante nulla i due vettori  $T$  e  $-T$  a causa delle piccole dimensioni di  $ds$ .



$$T \uparrow + \downarrow -T = 0$$

Quindi l'unica componente normale a  $ds$  in grado di far compiere una traslazione verticale ha origine dagli  $N$ . Evidenziamolo con una somma vettoriale la componente verticale.



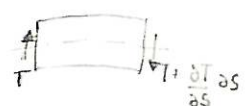
$$\text{Essa vale } \frac{N ds}{R}$$

dove  $R$  è il raggio di curvatura.

Imponiamo matematicamente l'equilibrio alle traslazioni verticali con l'equazione

$$P_n ds + \underbrace{\frac{\partial T}{\partial s} ds}_{\substack{\text{CARICO CONCENTRATO} \\ \text{CARICO AGGIUNTO} \\ \text{DOVUTO COMPONENTE} \\ \text{RESIDUA DEL TAGLIO}}} + \underbrace{\frac{N ds}{R}}_{\substack{\text{CARICO} \\ \text{AGGIUNTO} \\ \text{DOVUTO ALLE} \\ \text{COMPONENTI NORMALI}}} = 0$$

In effetti rispetto alla lunghezza del canale vale:



$$\text{Per una traslazione verticale} \\ T + \frac{\partial T}{\partial s} ds - T = 0 \\ \text{Risulta } \frac{\partial T}{\partial s} ds = 0$$

CONSIDERAZIONE OVVIA E' che comparendo  $R$  a denominatore sull'ultimo termine, il suo contributo si annulla se la trave è rettilinea, dunque  $R$  su una trave non inflessa vale 0.

Se allora consideriamo rettilinea la trave l'equazione si riduce a:

$$P_n ds + \frac{\partial T}{\partial S} \Delta S = 0$$

da cui integrando ambo i membri dopo aver evidenziato  $P_n ds$

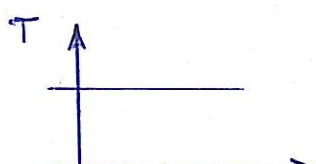
$$P_n \cancel{ds} = - \frac{\partial T}{\partial S} \Delta S$$

si ha che: LA DERIVATA DEL TAGLIO FORNISCE IL CARICO CAMBIATO DI SEGNO

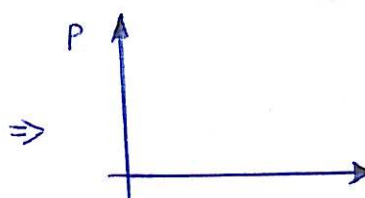
cioè

$$\boxed{\frac{\partial T}{\partial S} = -P}$$

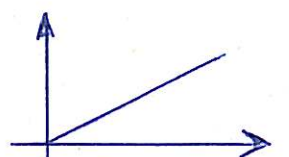
Mettiamo in evidenza questa relazione con l'ausilio di alcuni grafici.



$$T = f(x) = \text{cost}$$



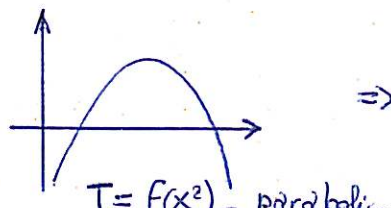
$$\frac{\partial T}{\partial x} = \frac{\partial f(x)}{\partial x} = 0$$



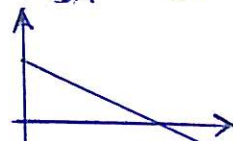
$$T = f(x) = \text{lineare}$$



$$\frac{\partial T}{\partial x} = \frac{\partial f(x)}{\partial x} = \text{cost negativo}$$

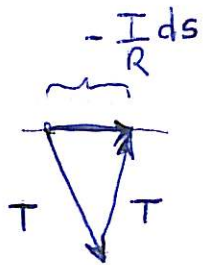


$$T = f(x^2)$$



$$\frac{\partial T}{\partial x} = \frac{\partial f(x^2)}{\partial x} = -\text{lineare}$$

Faccendo un analogo ragionamento sull'azione dei tagli nel concio si ottiene:



$$P_t ds + \frac{\partial N}{\partial S} ds - \frac{T ds}{R} = 0$$

da cui

$$\frac{\partial N}{\partial S} = - \left( P_t - \frac{T}{R} \right)$$

che per travi rettilinee dà:

$$\boxed{\frac{\partial N}{\partial S} = - P_t}$$

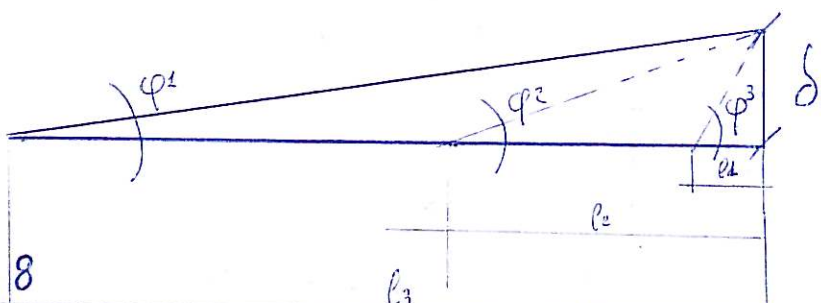
Questa ultima relazione differenziale è meno usata.

Riassumendo: CARICHI TANGENTI DANNO SFORZI NORMALI, CARICHI NORMALI DANNO TAGLI

$$P_t \xrightarrow{S} T \xrightarrow{S} M$$

### NOTA IMPORTANTE

Per le rotazioni vale:



A metà di sostegno si vede che la rotazione è quella lunghezza della trave, minore è la rotazione della stessa. si ha cioè che:

$$\boxed{\varphi = \frac{\delta}{l}}$$

LA ROTAZIONE EQUIVALE allo sforzo normale diviso la lunghezza

## PRINCIPIO DEI LAVORI VIRTUALI

\* Per ogni spostamento virtuale di un sistema in equilibrio il lavoro delle forze esterne è nullo! \*

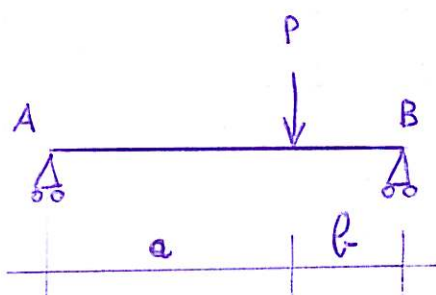
$$L_e = 0$$

nota: Per spostamento virtuale si intende infinitesimo e possibile compatibilmente con i vincoli.

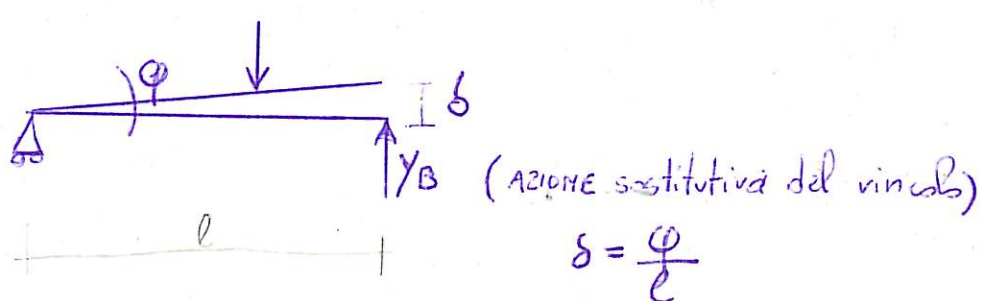
Vale per strutture isostatiche.

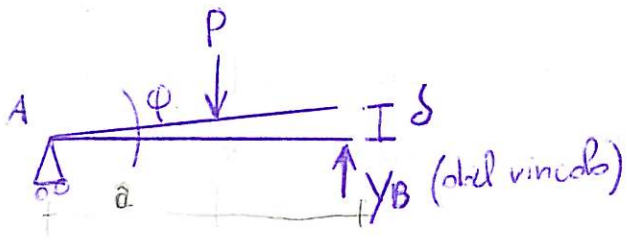
Data una struttura isostatica con il principio dei lavori virtuali è possibile ottenere il valore di uno dei parametri delle sollecitazioni relativamente ad uno specifico punto delle coordinate senza dover tracciare il grafico completo.

ad esempio: da struttura ~~isostatica~~ sottoriportata può essere risolta con le equazioni cardinali della statica. Risolviamola ora con il principio dei lavori virtuali



Ragionamento: Se virtualmente elimino un vincolo sostituendolo con una forza quantitativamente e di direzione coincidente a quella da essa esercitata si ha che la struttura virtualmente si deforma sotto l'azione di questa forza fittizia.





\* È possibile calcolare il lavoro che viene virtualmente compiuto da  $y_B$  ed anche da  $P$ .

Indichiamo i lavori  $L_e$  con

$$L_e = 0$$

Da cui si ricava

$$L_e = 0 \Rightarrow P.a \cdot \varphi - Y_B \cdot \varphi \cdot l = 0$$

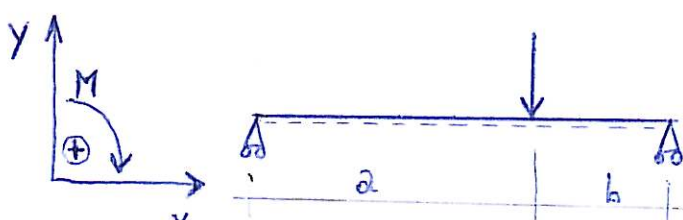
Vollendo esprimere in funzione dello scostamento  $\delta$  si ha

$$P.a \cdot \left(\frac{\delta}{l}\right) - Y_B \cdot \left(\frac{\delta}{l}\right) \cdot l = 0$$

$$\frac{d}{l} = \frac{y_B}{P}$$

$$\text{da cui si ricava } Y_B = \frac{P.a}{l}$$

Il medesimo risultato poterà essere ricavato a partire dalle equazioni cardinali della statica, (fissando il sistema di riferimento riportato in figura).



$$\begin{aligned} \sum_a &= 0 \quad \left\{ R_{By} \cdot l - P.a = 0 \right. \\ \sum_b &= 0 \quad \left\{ R_{Ay} \cdot l - P.b = 0 \right. \end{aligned}$$

da cui

$$R_{By} = \frac{P.a}{l}$$

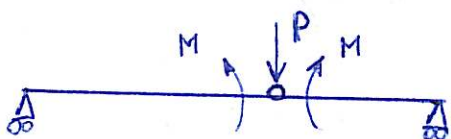
$$R_{Ay} = \frac{P.b}{l}$$

Una importante osservazione è che il sistema dove essere isostatico per applicare il principio dei lavori virtuali, altrimenti non ci sarebbe il moto rigido che fa comparire il parametro  $S$ .

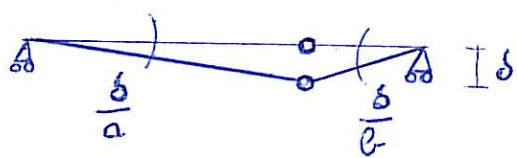
Vediamo come il Principio dei Lavori virtuali può restituire il valore dei parametri in una sezione generica della trave (ad esempio quella in cui sta agendo  $P$ ).

Si procede generando un moto rigido sfruttando la sollecitazione che ci interessa di volta in volta.

- Cominciamo cercando  $M$  in corrispondenza della coordinata su cui agisce  $P$



- Aggiungiamo una cerniera che sganci i due momenti.



Si può quindi scrivere l'equazione di congruenza sfruttando il parametro di spostamento  $S$  e le rotazioni  $\frac{\delta}{a}$  e  $\frac{\delta}{b}$

$$\text{Da } L_e = 0 \text{ si ha } P \cdot S - m \cdot \left( \frac{\delta}{a} \right) - m \cdot \left( \frac{\delta}{b} \right) = 0$$

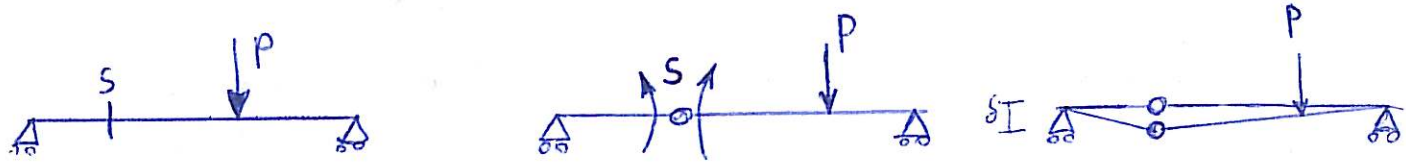
che porta al risultato  $m = \frac{P \cdot a \cdot b}{\delta}$

cioè il moto si oppone al momento sopraeizzato.

In conclusione: bisogna "aprire" il moto rigido nel punto in cui interessa trovare il parametro di sollecitazione.

Nell'esempio sovrastante cercavamo  $M$  proprio sotto a  $P$ , non è comunque molto diverso se volessimo cercarlo in un punto diverso dalla coordinata di  $P$ .

Vediamo come procedere in una generica sezione  $S$  della struttura senza spostare il carico  $P$ .



Per la ricerca dei parametri del taglio si deve utilizzare sempre un moto rigido che sia però sensito per  $T$ .

Invece di inserire una cerniera inseriamo due carrelli contrapposti



si crea una discontinuità uguale ed opposta (obbligatoriamente così posso non considerare i momenti).

Quindi:

$$L_e = 0 \quad P \cdot \left(\frac{b}{b}\right) + T \cdot \left(\frac{a}{a}\right) - T \cdot \left(\frac{b}{b}\right) = 0$$

Da cui

$$\boxed{T = P \cdot \left(\frac{a}{b-a}\right)}$$

## TEOREMA DEI LAVORI VIRTUALI

Si tratta di uno strumento di indagine matematica molto potente. È diverso dal principio dei L.V. perché in questo caso entrano in gioco le deformazioni delle strutture.

Si supponga di avere una struttura staticamente determinata, della quale si conoscono gli sforzi delle aste e le loro deformazioni avute origine da un qualsiasi fenomeno. (es. deformazione per allungamento termico).

Si vuole sapere, dato un regime di deformazioni congruenti (cosa che avviene sempre per strutture isostatiche), lo spostamento di un punto in una certa direzione.

Se delle aste si sono allungate la struttura e i vincoli si adatteranno permettendo lo spostamento di alcuni punti

SI VUOLE SAPERE, CON QUESTE PREMESSE, DI QUANTO SI SPOSTA UN PUNTO DELLA STRUTTURA.

Il teorema dei lavori virtuali risolve questo problema.

### Procedimento

- 1) Diamo alla struttura una deformazione congruente con lo spostamento (ad esempio quello da calcolare)
- 2) Ci disinteressiamo delle forze esterne che hanno causato la deformazione
- 3) Prendiamo un sistema di forze equilibrato all'interno in modo che compia lavoro sullo spostamento desiderato

Quindi riassumendo, si prende la struttura, si eliminano le forze esterne, si mette una forza fittizia che agisce nella direzione dello spostamento desiderato, si calcolano gli sforzi delle aste con uno dei metodi già noti. Le forze esterne devono fare un lavoro con la deformazione equilibrato dal lavoro delle forze interne.

$$L_e = L_i \quad \text{cioè} \quad F \cdot \delta = \sum_i S_i \cdot s_i$$

Dalla  $\sum_i S_i \cdot s_i$

↑  
SFORZI interni  
↑  
SPOSTAMENTI

si ottiene:

$$\delta = \frac{\sum_i S_i \cdot s_i}{F}$$

Con il teorema degli ~~lavori~~ <sup>lavori</sup> virtuali metto in relazione i seguenti 3 parametri.

1) Da un sistema di forze applicato si devono individuare le sollecitazioni interne, il sistema deve essere equilibrato;

forze  $\xleftrightarrow{eq}$  sollecitazioni

2) A delle deformazioni assegnate, per esempio gli allungamenti delle aste, devono essere corrisposti dagli spostamenti mediante una relazione di congruenza (relazione più complicata in iperstatiche, poiché nelle isostatiche i vincoli possono "aggiustarsi");

Spostamenti  $\xleftrightarrow{congruenza}$  deformazioni

3) Il lavoro delle forze esterne è pari al lavoro delle forze interne;

$$L_e = L_i$$

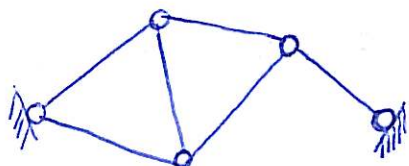
5 punti 1 e 2 sono le ipotesi del teorema.

Il punto 3 è la tesi del problema che si risolve con il teorema dei lavori virtuali. È la tesi del teorema.

si possono definire i due inversi del teorema avanti per ipotesi 1) e 3) con tesi 2) oppure 2) e 3) con ipotesi 1).

### FORMULAZIONE GENERALE DEL TEOREMA DEI LAVORI VIRTUALI

Consideriamo un sistema "triangolato"



Per questo sistema staticamente determinato si parte dal presupposto di conoscere l'allungamento delle aste  $\Delta l_1, \Delta l_2, \dots$  (o partendo dagli sforzi, conoscendone la

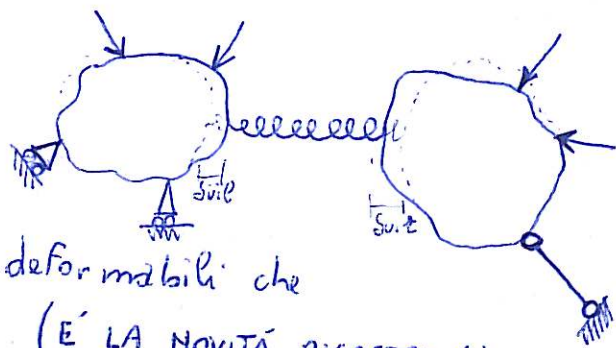
costante di molla di ogni asta oppure studiando la condizione termica): cioè si possiede la deformazione.

Si desidera lo spostamento di un punto in una direzione disegnata, quindi si potrà applicare il teorema (se poi si desidera lo spostamento effettivo basta lavorare in un'altra direzione e combinare con le perpendicolari i risultati, come già precedentemente visto).

Soffermiamoci sul singolo elemento (asta più due cerniere) considerandolo come una molla bilanciata che unisce due corpi:



ommetto



si mettono in evidenza gli elementi deformabili che uniscono i corpi indeformabili "rigidi". (È LA NOVITÀ RISPETTO AL PRINCIPIO DEI L.V.).

Si supponga ora di vincolare i corpi con un numero di vincoli ad arbitrio, anche sovrabbondante e di assegnare un sistema di forze che genererà un proprio regime di spostamenti, ma questo non interessa. Cioè che interessa è la selezionazione  $S$  sulla molla (positiva se di trazione). Concependo un "nuovo" spostamento virtuale infinitesimo è possibile del sistema, rispettando i vincoli pag 15

nei punti vincolari, si svilupperà una rototraslazione di sinistra e a destra della molla che, in estensione, cioè a deformazioni avvenute, si allungherà di quantità  $s_{ui}$ ,  $s_{ur}$  in genere considerate complessivamente con  $s_s$

Lo spostamento virtuale sarà sentito da tutte le forze (equilibrate) in gioco:  $F_j$  esterne attive,  $R_k$  reazioni vincolari,  $S_i$  azione delle molle sui corpi. Indicateli genericamente con  $F$ , applicando il principio dei lavori virtuali si ottiene

$$\sum_i F_i \cdot s_i = 0$$

con  $s$  spostamento dei relativi punti di applicazione.

Ora esplicitando i vari termini, il principio diventa teorema infatti se è:

$$\sum_j F_j \cdot s_j + \sum_k R_k \cdot l_k + \sum_i S_i \cdot s_i = 0$$

si potrà scrivere

$$\sum_j F_j \cdot s_j + \sum_k R_k \cdot l_k = -\sum_i S_i \cdot s_i$$

cioè:

$$L_e = L_i$$

visto che  $-S$  rappresenta la sollecitazione interna delle molle (in diritto si può richiamare la convenzione del metodo degli equilibri nodali delle reticolari).

Dove è bene chiaro che le deformazioni non sono legate alle forze applicate: le forze sono legate all'equilibrio, gli spostamenti alla congruenza; sono due gruppi indipendenti.

In presenza di forze la struttura si deforma, si creano delle deformazioni e i suoi punti si spostano.

Si considera una direzione generica e si applica il teorema dei lavori virtuali.

con spostamenti virtuali in questo caso si hanno deformazioni congruenti. Il sistema di forze dovrà essere tale da fare del lavoro nella direzione voluta, cioè nello spostamento voluto; poiché si avranno delle sollecitazioni si potrà scrivere

$$L_e = L_i \Rightarrow F^i S_i = \sum_i S_i \cdot S_i$$

dai cui si ricava  $S = \frac{\sum_i S_i \cdot S_i}{F^i}$

Per una struttura reticolare iperstatica la deformazione dovrà soddisfare i requisiti di congruenza non più scontati come per il caso precedente o in genere per un'ipostatica

Vedi esempio pag 27 Giuria

Possiamo anche enunciare il Teorema dei Lavori Virtuali dicendo che: PER UNO SPOSTAMENTO VIRTUALE DEI PUNTI DI UN SISTEMA IN EQUILIBRIO, IL LAVORO VIRTUALE INTERNO È UGUALE AL LAVORO VIRTUALE ESTERNO

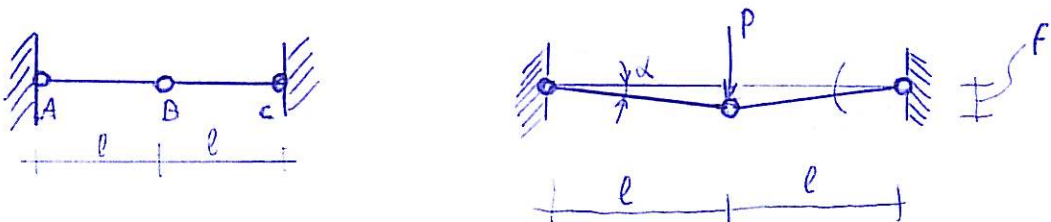
## STRUTTURE LABILI E IPERSTATICHE

La LABILITÀ dal punto di vista statico è l'insufficienza dei vincoli a garantire l'equilibrio (statico) del sistema sotto l'azione di forze generiche.

GRADO DI LABILITÀ è il numero minimo di C.E.V. (condizioni elementari di vincolo) che è necessario aggiungere al sistema per eliminare ~~tutte~~ l'insufficienza per raggiungere la fissità.

Dal punto di vista geometrico la labilità corrisponde alle possibilità di moti rigidi delle parti del sistema, e il grado di labilità al numero dei corrispondenti gradi di libertà.

La LABILITÀ in relazione ai problemi normali deve collegarsi all'esame della possibilità di spostamenti infinitesimi.



Dal punto di vista grafico sembrerebbe che le due aste si siano allungate di una quantità pari  $l\left(\frac{1}{\cos\alpha} - 1\right)$ , ma tale quantità è infinitesima di ordine superiore rispetto a  $l\alpha$ , quindi si può definire il "moto rigido".

Eseguendoci un moto rigido sotto l'azione stessa forza, allora la struttura è labile.

Per eliminare la labilità potrebbe essere sufficiente posizionare un carrello sotto la cerniera:



siccome il carrello introduce una condizione elementare di vincolo, la struttura originale avrà un grado di labilità.

## PROBLEMI SPECIALI E NORMALI

Un problema è normale se la condizione di equilibrio può essere scritta confondendo la condizione deformato con quella iniziale. I parametri delle sollecitazioni hanno sistemi di riferimento riferiti alla configurazione iniziale per cui in questi così si possono SOVRAPPORRE GLI EFFETTI.

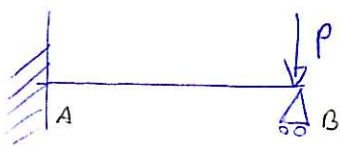
Per definire la fissità o la labilità di un problema normale abbiamo avviare dei movimenti rigidi infinitesimi, rispetto alle dimensioni caratteristiche della trave.

Un problema NORMALE è STATICAMENTE DETERMINATO se le condizioni di equilibrio sono necessarie e sufficienti a determinare le reazioni vincolari, e le reazioni vincolari e le forze interne sono indipendenti dallo stato di deformazione.

Se invece le condizioni di equilibrio non sono sufficienti alla determinazione delle reazioni vincolari il problema si dice STATICAMENTE INDETERMINATO.

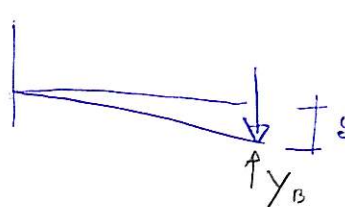
Un problema normale è staticamente determinato è ISOSTATICO, ovvero il cedimento di uno qualsiasi dei vincoli comporta l'arco di un moto rigido.

In strutture di questo tipo abbiamo visto essere applicabile il Principio dei lavori virtuali in quanto è possibile l'arco di un moto rigido in corrispondenza del vincolo eliminato, il quale consente la comparsa di una deformazione o meglio scostamento  $\delta_i$  (spesso detto significato di freccia) che consente il calcolo di un lavoro virtuale eseguito da una forza esterna.



$$P.D.L.V. \Rightarrow L_e = 0$$

si ricava la reazione  $y_B$



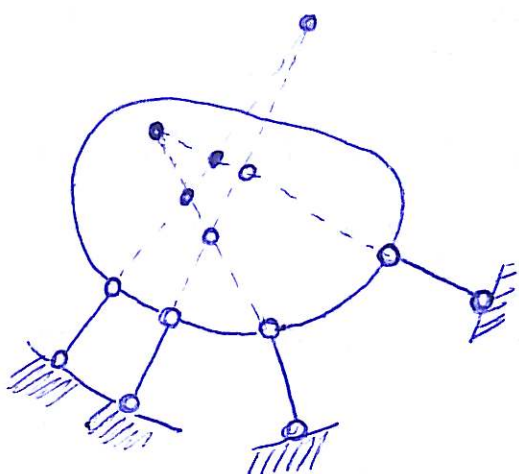
$$P \cdot \delta - y_B \cdot b = 0$$

## IPERSTATICITÀ

Si definiscono IPERSTATICHE le condizioni di indeterminazione del problema, ovvero il numero di condizioni elementari di vincolo che è necessario sopprimere per togliere ogni indeterminazione al problema. (il  $n^o$  è il grado di iperstaticità)

Dal punto di vista geometrico una struttura iperstatica presenta condizioni di vincolo che non contribuiscono ad impedire alcun moto rigido e il numero di tali condizioni elementari corrisponde al suddetto grado di iperstaticità; Inoltre sistemi di deformazioni dei loro elementi e di cedimenti di vincoli non permettono il rispetto delle condizioni di vincolo se non soddisfano particolari condizioni di congruenza, in numero pari a quello dei vincoli sovrabbondanti.

Esempio 1



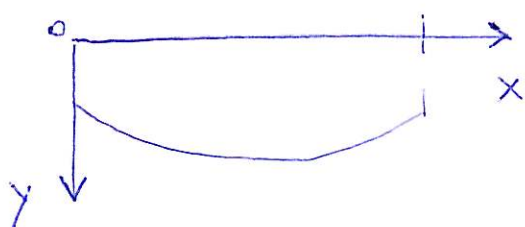
- La struttura ha grado di iperstaticità 1.
- Può essere considerato sovrabbondante uno qualsiasi dei quattro appoggi penodipari

## TEOREMA DI MOHR E ANALOGIE DI MOHR

tramite un procedimento analitico di doppia integrazione è possibile collegare la curvatura di una trave (detta anche elemento deformabile semplice) con l'abbassamento massimo di un suo punto interno (detto freccia).

Di norma le inflessioni subite da un trave carico sono molto piccole così che l'accorciamento della trave stessa diviene trascurabile.

L'inclinazione piccola fa sì che la lunghezza della trave scarica sia confrontabile con quella della trave carica.



Questo consente di trascurare il denominatore della derivata seconda, rendendo la funzione parabolica e non più circolare.

Orientato un asse  $x$  nella direzione della lunghezza della trave e uno  $y$  nella direzione perpendicolare possiamo esprimere l'espressione della linea di inflessione con

$$\varphi = \frac{dy}{dx} \quad \text{con } \varphi \text{ avendo significato di "inclinazione"}$$

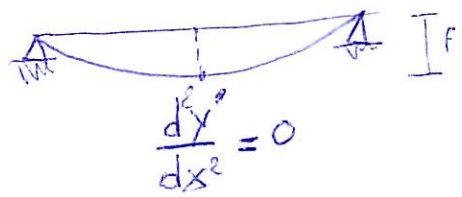
Derivando ulteriormente si ottiene:

$$\Theta = -\frac{d^2y}{dx^2} \quad \text{con segno negativo e con significato di CURVATURA}$$

Se procediamo al ritrasc. ponendo cioè della curvatura per ottenere l'abbassamento si dovrà integrare

$$\Theta \xrightarrow{\int} \varphi \xrightarrow{\int} y$$

Il punto in cui la curvatura si annulla è sede del massimo abbassamento della trave "freccia"



Questo è analogo a quanto si era visto per i normali parametri delle sollecitazioni

$$\text{Come } -P \xrightarrow{\int} T \xrightarrow{\int} M$$

si ha

$$-Q \xrightarrow{\int} \varphi \xrightarrow{\int} f$$

$\hat{y}$  cioè abbassamento

su una trave ausiliaria avente in comune con l'assegnata solo l'intervallo di integrazione.

Il teorema di MOHR dice che, alla doppia integrazione può essere sostituita la costruzione di una curva funicolare su una trave ausiliaria con i vincoli ridotti. Condizioni di vincolo iperstatiche possono essere soppresso con libertà di scelta, se conservate esse introducono nella trave ausiliaria condizioni di labilità, in corrispondenza delle quali si trasformano in condizioni di equilibrio per le forze applicate le presupposte condizioni di congruenza delle deformazioni della trave assegnata.

ATTENZIONE supponiamo di avere una trave assegnata su cui gli abbassamenti in due punti siano pari a zero, cioè  $y_A = y_B = 0$ . Per le analogie le frecce corrispondono ai momenti nella trave ausiliaria, quindi al freccia nulla corrisponde momento nullo.

La sabbietta trave ausiliaria avrà due punti, in cui i momenti si annullano, ovvero due CERNIERE.

Al rispetto delle condizioni di vincolo della trave assegnata da parte delle componenti degli spostamenti  $\varphi, y$ , si devono fare corrispondere per la trave ausiliaria condizioni per i parametri  $T^*, M^*$  che nei casi più comuni si possono attribuire a condizioni di vincolo facilmente determinabili.

### TRAVE AUSILIARIA

È una trave ad asse rettilineo coincidente con quello della trave effettiva (dominio di integrazione), con condizioni di vincolo tali che il problema dell'equilibrio risulti staticamente determinato e sono rispecchiata le analogie con le condizioni della trave reale. Ecco alcuni esempi di come varia i vincoli per la trave ausiliaria:

ASSEGNAZIA		AUSILIARIA
	$\varphi \neq 0$ $F = 0$	$\Rightarrow T^* \neq 0$ $M^* = 0$ 

L'appoggio diventa una cerniera, infatti per le analogie ad una inclinazione nell'assegnata corrisponde un taglio nell'ausiliaria, quindi  $\varphi \neq 0 \Rightarrow T^* \neq 0$  come si verifica nell'esempio disegnato sopra.  
Attenzione che le C.E.V. devono essere esaminate assieme, infatti:  
la sola condizione  $T^* \neq 0$  non si verifica solo nella cerniera.

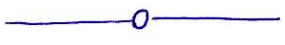
Altri esempi:

ASSEGNAZIA		AUSILIARIA
	$\varphi = 0$ $F_f = 0$	$\Rightarrow T^* = 0$ $M^* = 0$ 

Le due condizioni si verificano solo su una trave libera (senza C.E.V.)

ASSEGNAZIA		AUSILIARIA
	$\varphi \neq 0$ $F \neq 0$	$\Rightarrow T^* \neq 0$ $M^* \neq 0$ 

ASSEGNAZIA		AUSILIARIA
	$\varphi_L = \varphi_R$ $F_L = F_R$ in una soluzione generica	$\Rightarrow T_L^* = T_R^*$ $M_L^* = M_R^*$ 

5) 

$$\varphi_s \neq \varphi_d$$

$$F_s = F_d$$

$$\rightarrow T_s^* \neq T_d^*$$

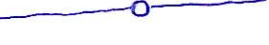
$$M_s^* = M_d^*$$


6) 

$$\varphi_s = \varphi_d$$

$$F_s = F_d$$

$$\rightarrow T_s^* = T_d^*$$

$$M_s^* = 0$$


7) 

$$\varphi_s = 0$$

$$F_s \neq 0$$

$$\rightarrow T_s^* = 0$$

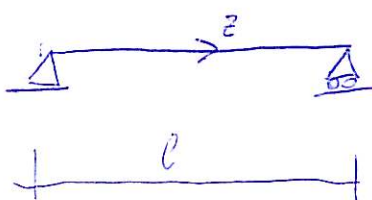
$$M_s^* \neq 0$$


La trave auxiliaria è uguale a quella disegnata.

Altro enunciato del teorema di MOHR

La linea deformata di una trave rettilinea coincide a meno di una funzione lineare con la funicolare della funzione curvatura  $\Omega(z)$  assunta come carico fittizio normale all'asse della trave

$P_m^*(z)$ . Vale l'uguaglianza  $P_m^*(z) = \Omega(z)$



IMPORTANTI ESEMPI di applicazione del Teorema e corollari di MOHR

1) INCASTRO COM CARICO CONCENTRATO

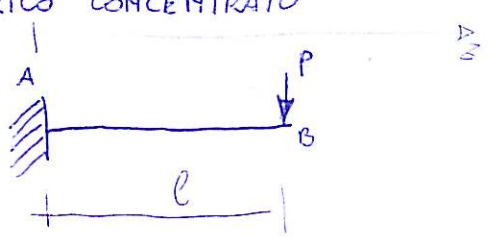
Sia assegnato  $R_F$

Per i corollari del teorema di Mohr

$T^*(z) = \varphi(z)$  rotazione

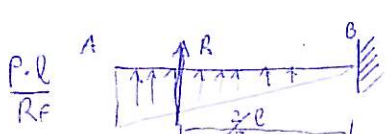
$M^*(z) = f(z)$  abbassamento

$$T_B^* = \varphi_B = \frac{1}{2} \left( \frac{P \cdot l}{R_F} \right) l = \frac{P \cdot l^2}{2 R_F}$$

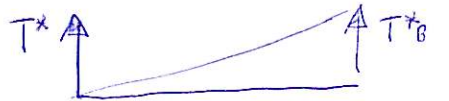


$P \cdot l / R_F$   $M(z)$  momento

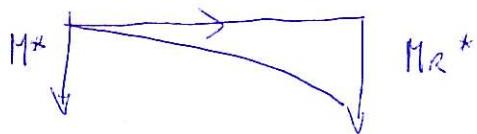
$P \cdot l / R_F$   $\Omega(z)$  curvatura



sulla trave ausiliaria il vincolo è sull'altro estremo



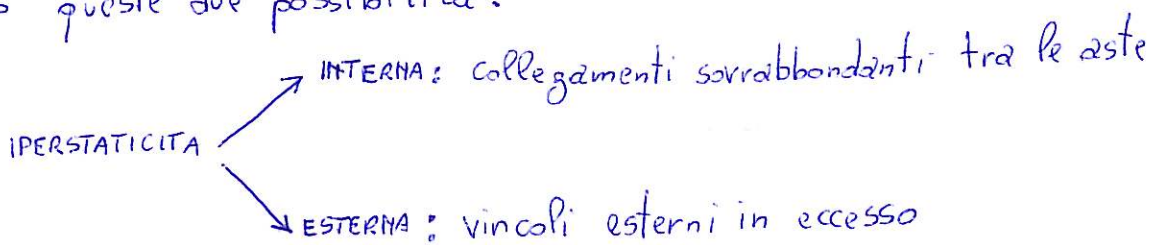
$$M_B^* = f_B = \left( \frac{P}{R_F} \cdot \frac{l}{2} \right) \cdot \frac{2}{3} l = \\ = \frac{P l^3}{3 R_F}$$



### TRAVATURE RETICOLARI IPERSTATICHE T.D.L.V.

La caratteristica principale delle strutture reticolari è che le aste sono soggette solo a sforzo assiale.

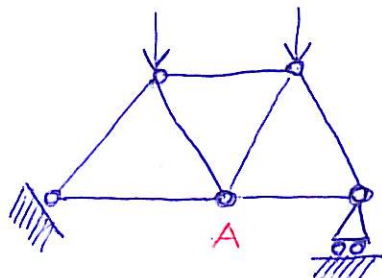
Ci sono queste due possibilità:



Sceglieremo di risolvere problemi aventi al più 1 G.D.I o riconducibili a tale situazione:

Si può procedere con metodi grafici oppure applicando il teorema dei lavori virtuali.

Ci proponiamo ora di determinare lo spostamento assoluto del nodo A.



Sulla struttura vale il T.D.L.V. che esprime l'ugualianza

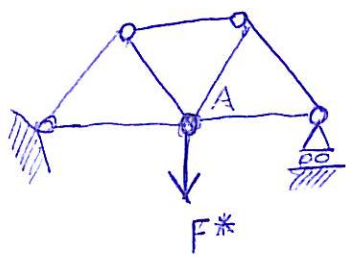
$$L_{\epsilon} = L_i$$

per spostamenti virtuali e deformazioni avvenute per congruenza con il tipo di vincoli.

Quando le forze non presentano particolare simmetria non si può conoscere a priori la direzione dello spostamento cercato.

Si cercherà tale spostamento con composizione di due componenti aventi direzioni assegnate (quella delle aste).

si noti che il TDLV è uno strumento matematico e non fisico, infatti mette in relazione forze, spostamenti, sollecitazioni e deformazioni.



APPLICO AD "A" una forza fittizia  $F^*$ .

Essendo la struttura isostatica a tale forza associa una sollecitazione  $S^*$

Scelgo come  $\delta$  lo spostamento effettivo dovuto alle forze esterne si può relazionare quindi:

$$\oint_A \longleftrightarrow \Delta s_i = \frac{N_i s_i}{R_i}$$

SPOSTAMENTO IN VERTICALE AL A  
(dove  $\delta = \delta$ )

dove:  $N_i$  = forze normali

$R_i$  = rigidezze assiali delle aste

P posso scrivere il T.D.L.V.

$$F^* \oint_A = \sum S_i^* \Delta s_i$$

\* Per eliminare l'incognita  $F^*$  tengo presente il fatto che tutte le  $S_i^*$  sono proporzionali alla forza fittizia

$$S_i^* = \alpha_i F^*$$

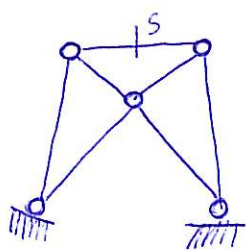
Possiamo quindi scrivere:

$$F^* \oint_{\text{vertice}} = \sum_{\text{aste}} S_i^* \Delta s_i = F^* \sum \alpha_i \Delta s_i$$

Da cui facciamo scomparire la forza fittizia:

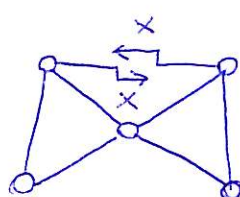
$$\sum_{A \text{ vert}} = \sum_{\text{aste}} \alpha_i A_i$$

### RISOLUZIONE DI UN TELAIO CON IL METODO DELLE FORZE



La struttura ha un iperstatico da -internal causata da un numero sovrabbondante di aste.  
Una volta individuata la causa di iperstaticità faccio un taglio in modo da poter mettere in evidenza gli sforzi interni  $X$ .

Per determinare tali sforzi devo impostare la congruenza, così come è mostrato in figura.



Devo trovare quelle  $X$  per cui le due facce del taglio non siano soggette ne a rotazioni ne a traslazioni.

In virtù del fatto che per strutture reticolari entra in gioco solo lo sforzo assiale e limino eventuali analisi concernenti rotazioni o sforzi taglienti.

Si applica il T.D.L.V.

Per ogni sistema di spostamenti congruenti con la rispettiva deformazione e per ogni sistema di forze applicate in equilibrio con le rispettive sollecitazioni deve valere

$$L_e = L_i$$

Per spostamenti virtuali.

\* CONSIDERIAMO LA STRUTTURA SENZA FORZE ESTERNE, e applichiamo nella sezione S un sistema fittizio di forze equilibrate  $F^*$ .

Arendo eseguito un taglio nella trave superiore la struttura è diventata instabile e quindi sono facilmente ricavabili le solle citazioni  $S_i^*$ .

Vale la relazione

$$S_i^* = \alpha F^*$$

Andiamo ora ad impostare il T.L.V.

$$F^* f_{\text{relativo}} = \sum S_i^* A_i$$

in cui  $\Delta \text{lungamenti} = \Delta s_i = \frac{N_i s_i}{R_i}$  a)

Rigidità assiali =  $R_i = E A_i$  risulta da resistenza lombard

in a) le lunghezze iniziali derivano dalla geometria (noti) della struttura, le rigidità sono assegnate, rimane quindi da razionare sugli sforzi assiali.

Pongo:  $\frac{\Delta s}{R_i} = f$

Così che la scrittura si completa.

Gli sforzi normali sono dati dalla somma di due contributi: quello derivante dalle forze esterne e quello derivante dalle forze x.

$$S_{x,i} = \alpha_i x$$

Dal cui  $\Delta s_i = f (s_0 + S_x)$

$$\Delta s_i = \alpha_i (s_{0i} + \alpha_i x)$$

T.L.V.  $F^* f_{\text{rel}} = \sum_i \alpha_i F^* f_i (s_0 + \alpha_i x) =$

$$= F^* \sum_i \alpha_i f_i (s_0 + \alpha_i x)$$

Quindi  $f_{\text{rel}} = 0$  si traduce in  $\sum_i \alpha_i f_i (s_0 + \alpha_i x) = 0$

$$\sum (\alpha s_0 f + \alpha^2 f x) = 0$$

che darà il risultato:

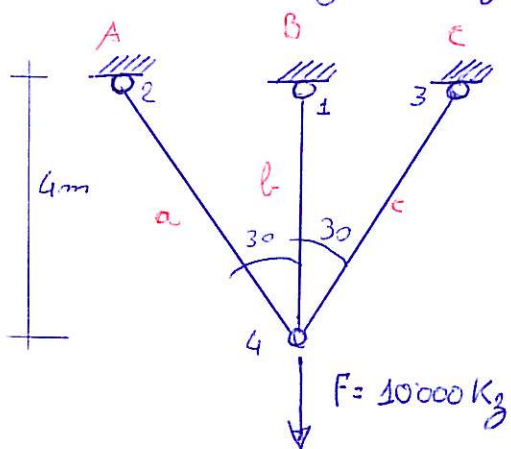
$$x = - \frac{\sum x s_0 f}{\sum \alpha^2 f}$$

## FONDAMENTALE ESEMPIO DI APPLICAZIONE DEL T.D.L.V.

### DOMANDA ORALE CLASSICA

Consideriamo una struttura reticolare composta da tre aste (in questo caso 3 tondini).

Le aste hanno la seguente rigidità assiale assegnata.



$$R_{H1} = 7,98 \times 10^6 \text{ Kg}$$

Il tondino A ha una sezione

$$\varnothing 22 \quad A_{\text{tend}} = 3,8 \text{ cm}^2$$

tondino in acciaio di modulo  
elastico pari a

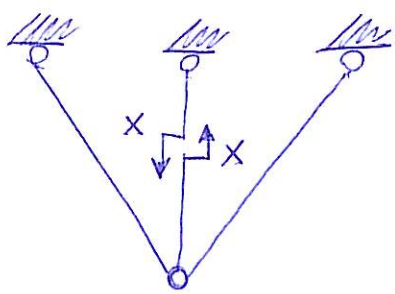
$$2100 \cdot 000 \text{ Kg/m}^2$$

$$\begin{aligned} R_{H2} &= \\ R_{H3} &= \end{aligned} \left\{ \begin{array}{l} 4,12 \times 10^6 \quad \varnothing 16 \quad A = 2 \text{ cm}^2 \end{array} \right.$$

Scelgiamo di muoverci nell'ambito del metodo delle forze:

Per la scelta del sistema principale isostatico si sceglie di effettuare un taglio nell'asta ①

è conveniente scegliere l'asta centrale per motivi di simmetria.



si ricorda il T.D.L.V.

Per ogni spostamento virtuale dei punti interni di un sistema in equilibrio il lavoro delle forze interne è uguale al lavoro delle forze esterne.

A questo punto è opportuno costruirsi una tabella

ASTA	$\Delta$ (m)	$R_H$ (kg)	$f = \frac{\Delta}{R_H}$	$\alpha = \frac{S^*}{F^*}$	$S_0$	$\alpha S_0 \beta$	$\alpha^2 f$
1	4,00	7,98	0,501	1,00	0,00	0,00	0,501
2	4,62	420	1,10	-0,577	5770	-3662,22	0,366
3	4,62	420	1,10	-0,577	5770	-3662,22	0,366

$$-7324,44 \quad 1233$$

$$x = \frac{-(-7324,44)}{1,233} = 5960$$

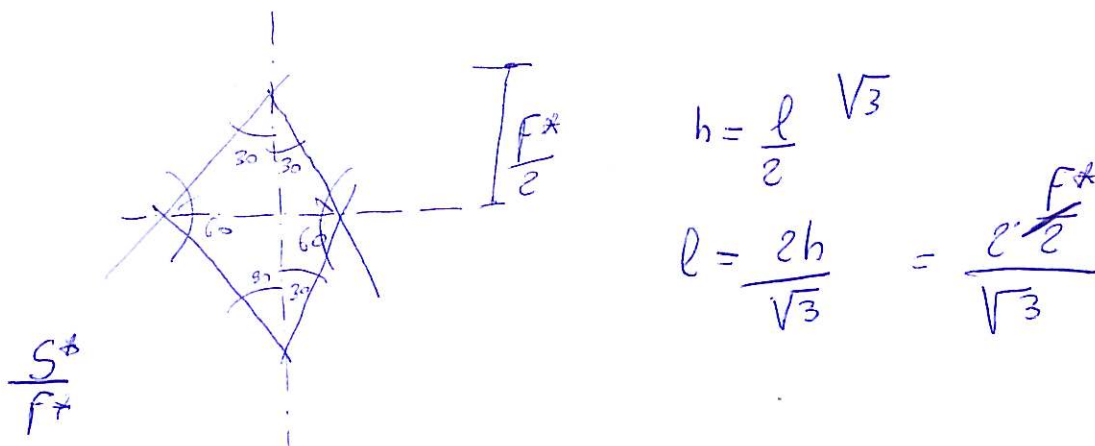
$$\text{si è applicato } x = \frac{\sum \alpha S_0 \beta}{\sum \alpha^2 f}$$

\* se rapporto delle rigidezze presunole da  $10^6$  in quanto si semplifica

gli coefficienti  $\alpha$  riguardano le sollecitazioni che ci sono nella struttura isostatica privata di forze esterne, salvo ciòché però della forza fittizia.

Bisogna determinare gli sforzi interni e dividerli per  $F^*$  che è l'unica incognita:  $F^*$  si elide e rimangono i rapporti tra gli angoli.

Per quanto riguarda le aste ③ e ④ si fa traslare  $F^*$  fino al nodo 4.



Si procede in seguito con la scomposizione della  $F^*$  lungo le direzioni delle aste ② e ③.

In virtù della simmetria ci si trova con il triangolo equilatero di altezza  $\frac{F^*}{2}$  vedi il disegno sopra

$$-0.577 = \frac{-0,5}{\cos 30^\circ}$$

Si procede poi determinando gli  $S_i$  che sono gli sforzi della struttura isostatica avendo eliminato l'asta ①.

Si otterrà quindi zero per l'asta ① e 5770 per le aste ② e ③.

Si ricava  $X > 0$  quindi significa che era corretta la scelta di  $X$  di trazione.

Per trovare gli sforzi si procede come segue

$$S_2 = S_3 = \frac{10.000 - 5940}{2 \cos 30^\circ} = 2344$$

## SIMMETRIE

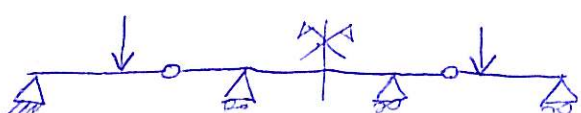
Il primo passaggio della risoluzione di un telaio tramite il metodo di Cross è lo studio delle eventuali simmetrie.

Le simmetrie introvolvevano delle semplificazioni dei calcoli.

SI PARLA DI SIMMETRIA se effettuando una rotazione di un angolo piatto attorno ad un asse rimangono invariate le condizioni di carico e la forma della struttura.

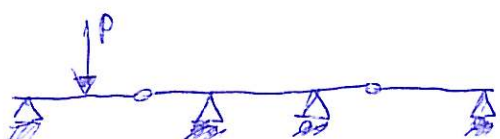
Esempio

→  $180^\circ$  fra le condizioni di simmetria



Una condizione di questo tipo dà un diagramma dei momenti simmetrico e un diagramma dei tagli antimetlico.

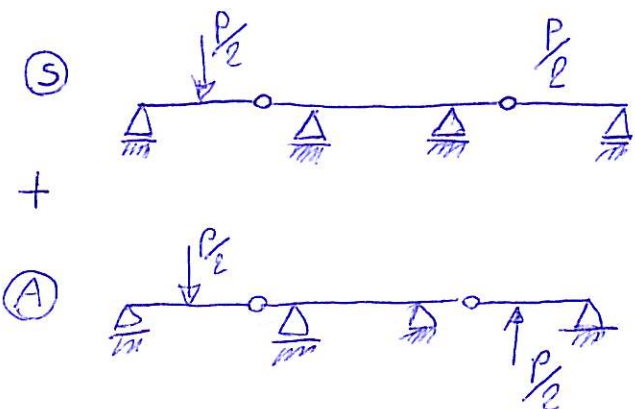
La trave sotto riparata invece:



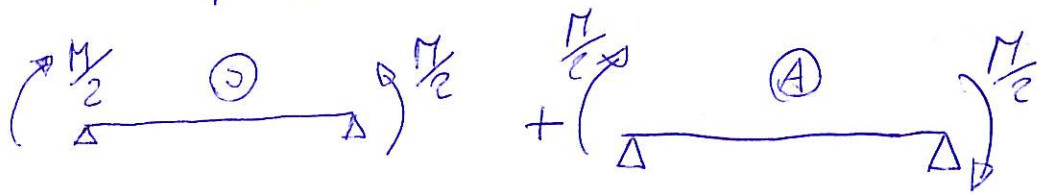
... è sottoposta ad un carico generico (non è antimetlico, altrimenti ci sarebbe un P verso l'alto nella parte destra della struttura).

In questi casi si applica il principio di sovrapposizione che dice:

il problema generico è la somma del problema simmetrico con quello antimetlico.



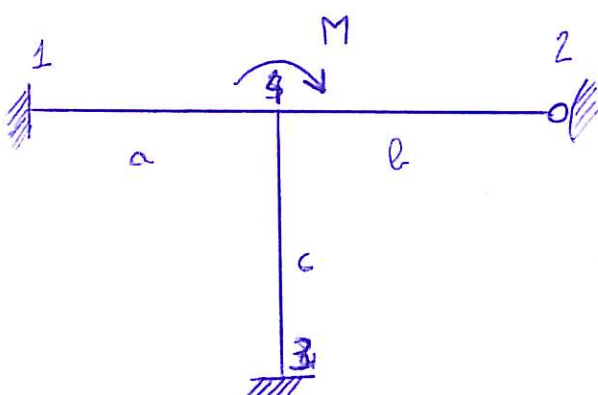
un altro esempio è:



Dove le condizioni di partenza sono:



### STUDIO DI UN TELAIO A NODI FISSI

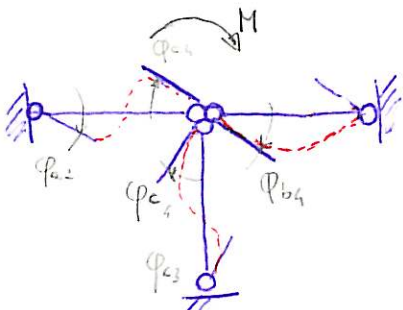


Rigidità flessionale costante

$$R_{fi} = \text{cost}$$

sul nodo 3 vi è una saldatura quindi un momento  $M$  che gli viene applicato imprime una rotazione rigida con la conservazione degli angoli di partenza.

Il sistema principale associato è una reticolare attenuta sostituendo tutti i vincoli con cerniere



con un primo ragionamento fatto sul tipo di vincoli e sul loro numero possiamo definire che vi è un grado di iperstaticità pari a 5

Infatti: se consideriamo il nodo 1 della figura iniziale notiamo che

le sue condizioni elementari di vincolo sono sufficienti per dare l'isostaticità alla struttura. La somma delle rimanenti C.E.V. restituisce il grado di iperstaticità: 3 C.E.V. per l'incastro e 2 C.E.V. per la cerniera.

QUESTO tipo di problema "dove la struttura è labile e iperstatica" si risolve con il METODO DELLE DEFORMAZIONI

La labilità è insita nel nodo 4 che risulta libero di ruotare. Le incognite sono la rotazione del nodo  $\varphi_4$  e le rotazioni di estremità delle travi per un totale di 5.

Il vincolo n° 2 è una cerniera, quindi nota la rotazione sull'estremo opposto si può ricavare quella sua tramite il coefficiente  $\frac{1}{2}$ .

INCognITE  $\left\{ \begin{array}{l} 5 \text{ rotazioni di estremità} \\ 1 \text{ rotazione del nodo interno } 4. \end{array} \right.$

Procedere con il metodo delle deformazioni significa assumere come incognite le grandezze geometriche le quali comunque soddisfano alle condizioni di congruenza.

Tali condizioni si dividono in condizioni interne ed esterne.

Ricordando che:

$$\varphi_{b_2} = \frac{\varphi_{b_4}}{2}$$

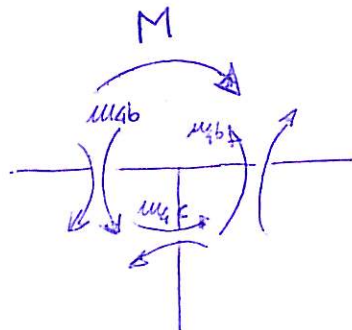
si ottiene:

equazioni di congruenza  $\left\{ \begin{array}{l} \text{congruenza esterna} \quad \left\{ \begin{array}{l} \varphi_{a_1} = 0 \\ \varphi_{c_3} = 0 \end{array} \right. \\ \text{congruenza interna} \quad \left\{ \begin{array}{l} \varphi_{a_4} = \varphi_4 \\ \varphi_{c_4} = \varphi_4 \\ \varphi_{b_4} = \varphi_4 \end{array} \right. \end{array} \right.$

Abbiamo 5 condizioni di congruenza indipendenti che governano 6 incognite. Alle incognite in esubero si attribuisce un valore arbitrario, esempio  $\varphi_4$ .

ORA SI IMPOGNO LE CONDIZIONI DI EQUILIBRIO

Bisogna contrastare la rigidità interna, ovvero la rotazione del nodo 4



$$-M_{4a} - M_{4c} - M_{qb} + M = 0$$

EQUAZIONE DEI MOMENTI INTERNI ED ESTERNI

INTRODUCIAMO LE RELAZIONI DI ELASTICITÀ RICAVABILE DAI PARAMETRI DI RIGIDEZZA.

$$M_{4a} = W_a \varphi_{4a} = W_a \varphi_4 = \frac{G R_{fa} \varphi_4}{\varphi_a}$$

caso incastro/morsa

$$M_{4c} = M_{ca} = W_{cr} \varphi_{cr,4c} = W_c \varphi_4 = \frac{G R_{fc} \varphi_4}{\varphi_c}$$

caso molla/morsa

$$M_{qb} = M_{ba} = W_{bc}^{(o)} \varphi = W_b^{(o)} \varphi_b = \frac{3 R_f}{\varphi_b} \varphi_4$$

caso cerchiera/morsa

SI PUÒ OTTENERE LA SEGUENTE EQUAZIONE DI EQUILIBRIO ALLA ROTAZIONE attorno al nodo:

$$- (W_a + W_c + W_b^{(o)}) \varphi_4 + M = 0$$

IMPOGNAMO CHE LA RIGIDEZZA NEL NODO SIA LA SOMMA DELLE RIGIDEZZE DELLE ASTE CHE VI CONFLUISCONO:

$$W_4 = W_{ac} + W_{c4} + W_{b4}^{(o)}$$

CHE PORTA ALLA SOLUZIONE

$$\varphi_4 = \frac{M}{W_4}$$

Abbiamo così determinato le grandezze geometriche, ora bisogna calcolare quelle meccaniche

$$M_{a_4} = \frac{W_a}{W_b} M$$

I TERMINI NEL RIQUADRO

SOMO I COEFFICIENTI PI RIPARTIZIONE

$$M_{c_4} = \frac{W_c}{W_b} M$$

Come verifico si può notare che la loro somma da l'entità

$$M_{b_4} = \frac{W_b^{(o)}}{W_b} M$$

$$\frac{W_a}{W_b} + \frac{W_c}{W_b} + \frac{W_b^{(o)}}{W_b} = \frac{W_a + W_c + W_b^{(o)}}{W_b}$$

$$= \frac{W_b}{W_b} = 1$$

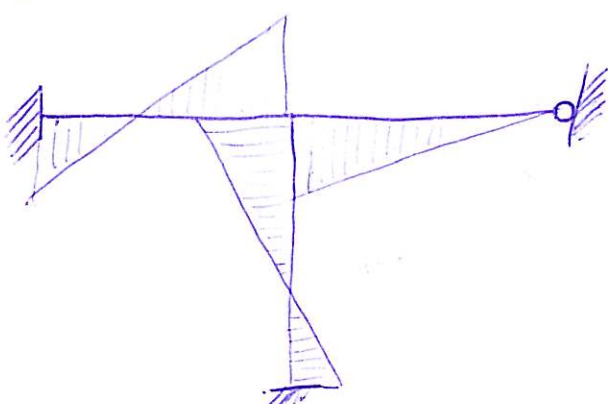
Per quanto riguarda i momenti dell'estremità opposta ci analizziamo dei coefficienti di trasmissione:

$$M_{a_3} = K_{43} M_{c_4} = \frac{1}{2} M_{c_4}$$

$$M_{c_3} = K_{43} M_{c_4} = \frac{1}{2} M_{c_4}$$

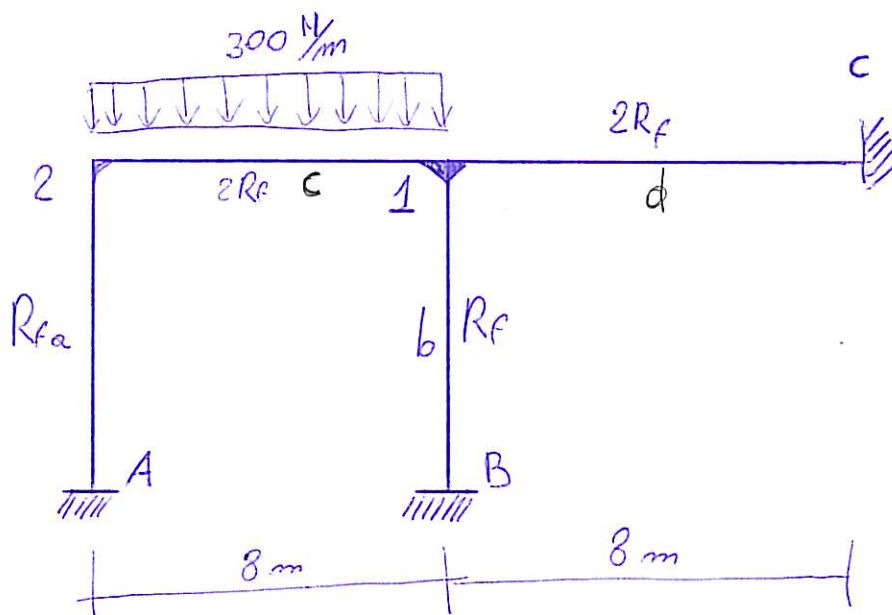
$$M_{b_2} = 0$$

Essendo le travi scaricate l'andamento dei momenti sarà lineare



## IL METODO DI CROSS

STUDIO COMPLETO DI UN TELAIO A NODI FISSI CON IL METODO DI CROSS E CON TUTTE LE CONSIDERAZIONI UTILI.



Il telaio in questione si può risolvere usando la tabella:

TRAVERSA	LUNGHEZZA	$R_F_i / R_F$	$\frac{W}{R_F}$	$\frac{W_i / R_F}{\sum W_i / R_F}$	$M_{i,L}$	$M_{i,R}$
a	4	1	1	1/0,5		
b	4	1	1	0,333/1/0,5		
c	8	2	1	0,333/1/0,5		
d	8	2	1	0,333/1/0,5		

RIGIDITÀ  
Flessionale      RIGIDITÀ  
Rotazionale  
d'istabiliità      COEFFICIENTI DI  
RIPARTIZIONE  
DEI MOMENTI I      MOMENTO  
D'IMPOSTA  
PARFORATO  
SOTTOVIA  
MOMENTO DI  
IMPOSTA  
PIOFORATO  
DIESTRA

Dividiamo la struttura asta per asta pensando i morsetti di bloccaggio in 1 e 2.

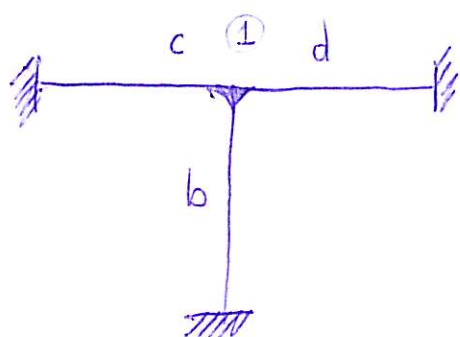
a morsello/imastro  $W = \frac{4R_F}{l} \Rightarrow W = \frac{4R_F}{4} = 1R$

c morsello/morsello  $W = \frac{4R_F}{l} \Rightarrow W = \frac{4R_F}{8} =$

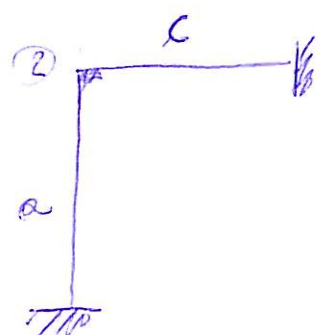
b morsello/imastro  $W = \frac{4R_F}{l} \Rightarrow W = \frac{4R_F}{4} = 1R$

d morsello/imastro  $W = \frac{4R_F}{l} \Rightarrow W = \frac{4R_F}{8} = 1R_F$

3 morsetti sono inseriti una alla volta, perciò il telaio si scomponete in due sottotelaio, essi sono:



SOTTOTELAIO 1



SOTTOTELAIO 2

Ecco perché la trave c ha la rigidità tipica di un morsetto/ incastro  $R_F$  (se si parla primo sottotelaio).

I coefficienti di ripartizione vengono calcolati separatamente per i due sottotelaio.

$$\text{travi } a \text{ e } c \text{ (confluenti in 2)} \quad \frac{1}{1+1} = 0,5$$

$$\text{travi } c, b, d \text{ (confluenti in 1)} \quad \frac{1}{1+1+1} = 0,333$$

Si può subito verificare che la somma dei coefficienti di ripartizione mi dà 1

$$0,5 + 0,5 = 1$$

$$0,333 + 0,333 + 0,333 = 1$$

Per il calcolo delle  $\mu$  (momenti di incastro perfetto) bisogna considerare ogni singola trave.

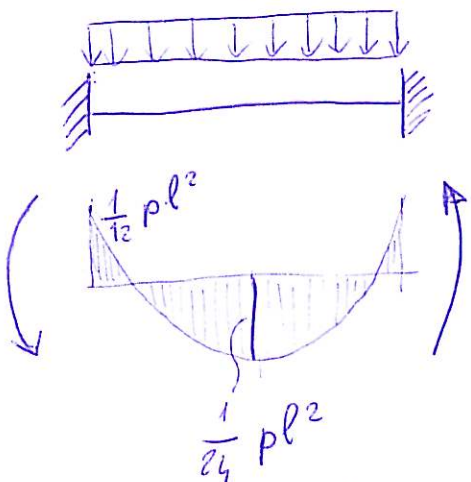
Travi a, b, d = scariche, quindi i momenti di estremità sono nulli.

La trave C invece è caricata con un  $P$  costante pari a  $3000 \text{ N/m}$ . Affinché siano tese le fibre superiori di sinistra il momento di incastro deve essere antiorario e quindi negativo.

$$y_{il} = -\frac{3000 \times 8^2}{12} = -16000 \text{ dN/m}$$

All'estremità destra verso orario  $\Rightarrow$  positivo

$$y_{ir} = +\frac{3000 \times 8^2}{12} = +16000 \text{ dN/m}$$



Cominciamo ad applicare il metodo di CROSS.

\* Si tratta di ripartire il momento applicato al nodo 1 tra le travi ivi confluenti.

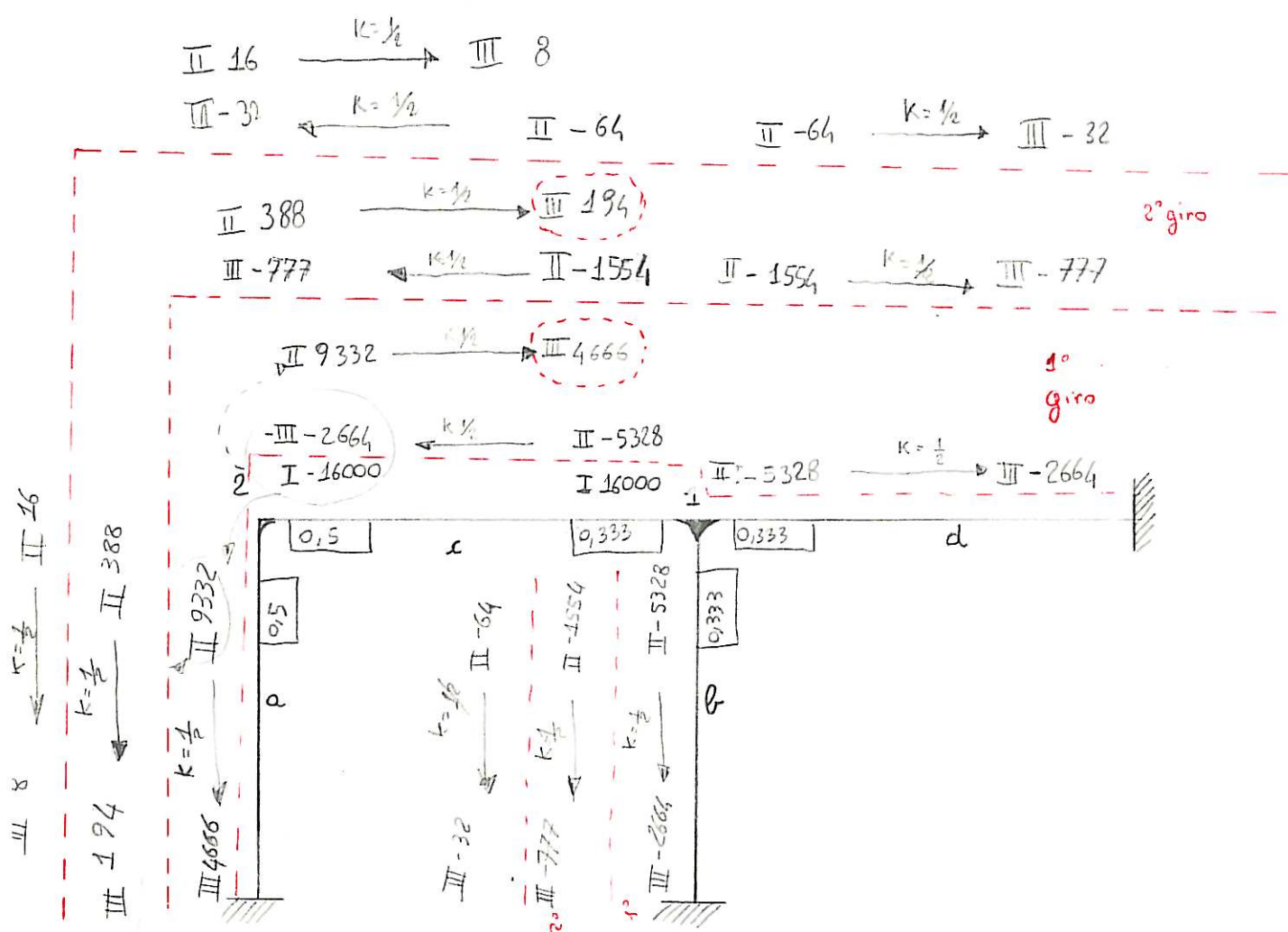
Il metodo comporta un susseguirsi di blocaggi e sblocaggi dei nodi in modo che la rotazione trasmessa nel passaggio precedente sia stabilizzata.

Ad ogni passaggio la rotazione tende a diminuire fino a diventare residua, quando questo avviene il procedimento si può fermare.

Per procedere conviene ridisegnare il telaio, mettendo

negli estremi delle aste i propri coefficienti di ripartizione e cominciare a trasmettere i momenti agli estremi adiacenti. Nota: si parla dell'asta C perché come si può notare dalla tabella è l'unica con dei momenti primi applicati.

NOTA: I momenti secondi vanno cambiati di segno rispetto al valore calcolato



ATTENZIONE: QUESTO MOMENTO SECONDO RISPISTA ANCHE DELL'EFFETTO DEL MOMENTO III  
trasmesso nel passo precedente dall'asta adiacente.  
È una SOMMAPPOSIZIONE DEGLI EFFETTI  $\frac{16000 \cdot 0,5 + 2664 \cdot 0,5}{8000 + 1332} = 9332$

NOTA: il valore III 4666; Trovato a conclusione del primo sottostando  
è il valore di partenza che useremo per il giro successivo.  
Ad ogni giro migliora la precisione percentuale.

Per continuare con i giri del cross il momento terzo che è segnato  
cerchiato va moltiplicato per i coefficienti di ripartizione  
(lo si considera dunque come se fosse il momento primo di  
partenza).

NOTA: IL VALORE  $\frac{1}{3} \cdot 194$  È IL VALORE DI PARTENZA PER IL TERZO GIRO.

### SPIEGAZIONE PIÙ APPROFONDITA

Il primo solostato è caratterizzato dalla presenza dei morsetti e quindi da momenti d'estremità d'incastro perfetto.

Per convenzione abbiamo indicato con il simbolo I tali momenti.

momento primo (I) = momenti di incastro perfetto della singola trave raggruppata da forze esterne.

Sul problema dato c'è carico solo sulla trave C, quindi solo in essa comparen i momenti primi di incastro perfetto.

Il primo solostato ha soluzione riempiendo riportandosi i momenti primi sulle estremità delle aste "dove sono presenti".

Si comincia la soluzione iterativa applicabile solo a soltanelli avendo un unico nodo interno. Si partono nello schema i coefficienti di ripartizione  $\frac{W_i}{\sum W_i}$  e quelli di trasmissione (0,5 o  $\frac{1}{3}$ ).

Comincio con sbloccare il nodo 1. nel nodo 1 c'è un momento primo di  $M = +1600 \text{ doNm}$  che devo contrastare in quanto non c'è un vincolo per esercitare la reazione richiesta.

\* Nel nodo 1 dovrà applicare un  $M$  opposto  $-1600 \text{ doNm}$

\* Applico un momento antiorario al nodo 1 che si ripartirà alle estremità delle travi con momenti aventi lo stesso verso e come modulo il prodotto del coefficiente di ripartizione per le coppie esterne.

I momenti di ripartizione così trovati li distinguendo dagli altri insindacabili come "secondi" II.

Poiché tutte e tre le travi che confluiscono nel nodo 1 hanno l'estremità opposta impedita di ruotare (vedi schemino)



verranno trasmessi dei momenti con lo stesso segno e con modulo pari al proibito del momento secondo per il coefficiente di trasmissione 0,5. Questi nuovi momenti sono i III "terti".

Si noti che i momenti III in C e B vengono assorbiti dal vincolo esterno mentre in ② dal vincolo provvisorio di - 16000 deth dovuto alla fase di bloccaggio (momento I), influenzando l'equilibrio nel nodo stesso.

⇒ Il momento III in due ② deve essere eliminato assieme al momento primo già presente.

⇒ Nel secondo passo del primo giro dovrà eliminare la somma dei momenti I e III nel nodo 2.

Si è già visto che in questo punto della soluzione si è in presenza di una configurazione congruente ma non equilibrata.

\* Devo quindi fare la somma algebrica dei momenti nel nodo 2, cambiarla di segno, applicarla al nodo quinab gli altri saranno cancellati.

Si procede poi ripartendo il contributo della somma algebrica dei momenti ( $k=0,5$ ) e poi trasmettendolo alle estremità opposte i momenti secondi così trovati.

A questo punto si può considerare concluso il primo giro.

Fatto ciò si può perfezionare la soluzione compiendo un altro giro.

⇒ Equilibrare il nodo ① (c'è un momento III che rende il nodo non equilibrato) sommando i momenti presenti, cambiando il segno, riportandoli e trasmettendoli i momenti trovati.

alle altre estremità.

A questo punto naturalmente è bello chiedersi dopo quanti giri ci si debba fermare

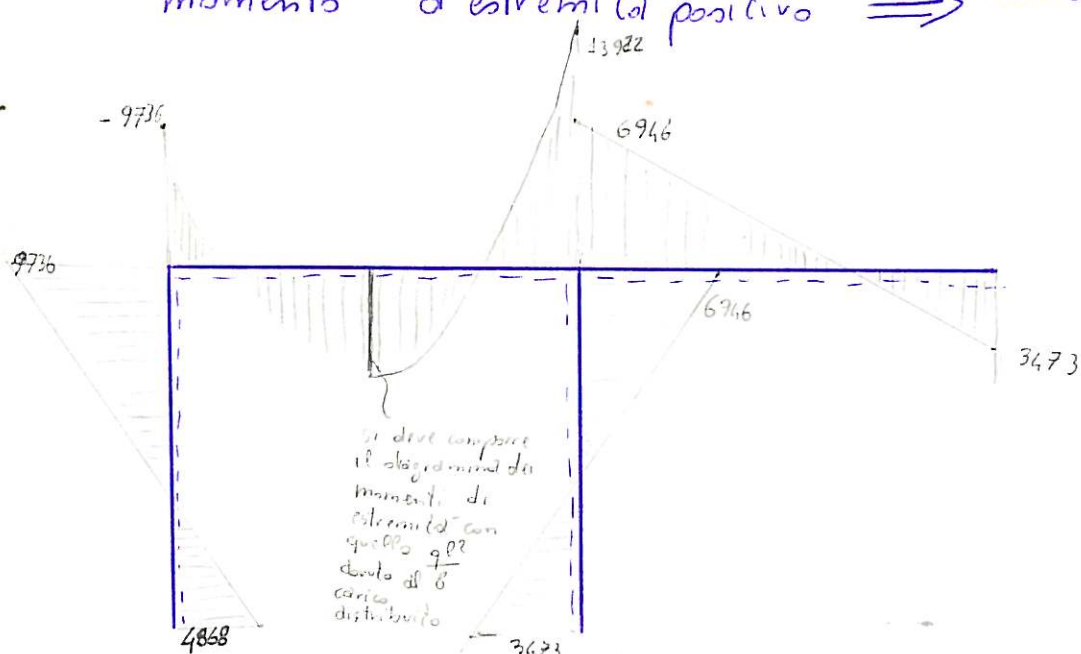
Si determina con la formula che segue l'errore percentuale lo scarto tra un giro e l'altro:

$$\varepsilon = \frac{2^{\text{a}} \text{soltuzione} - 1^{\text{a}} \text{soltuzione}}{1^{\text{a}} \text{soltuzione}}$$

ci si ferma quando si ha un errore dell'ordine di grandezza del 4 ÷ 5%

A questo punto è del tutto definita la funzione momento flettente in quanto sono definiti i valori di estremità per tracciare tale diagramma devo passare dalla convenzione di segno dei momenti di estremità alla convenzione di segno dei momenti flessenti.

momento d'estremità positivo  $\Rightarrow$  senso orario



## VEDIAMO ORA IL DIAGRAMMA DRI TAGLI: T

Per quanto riguarda il diagramma T si fa riferimento esclusivamente al precedente diagramma M ricavato con particolare attenzione alle rotazioni d'estremità.

Per ricavarsi i valori dello sforzo tagliente in genere si procede avvalendosi di uno schema statico di riferimento di una trave soggetta a momenti d'estremità e ad un carico uniformemente distribuito. In virtù dell'equilibrio alla rotazione imposta prima rispetto ad una estremità e poi rispetto all'altra si ricava la seguente relazione:

$$T_{LR} = -\frac{M_L + M_R \pm T^o_{LR}}{l}$$

contributo dovuto  
alle appie di  
estremità

contributo dovuto al carico  
esterno attivo distribuito  
 $q \frac{l}{2}$

\* Si procede ora facendo la medesima operazione per tutte le travi rimanendo molto attenti nella scelta dei contributi da considerare

⇒ Solo per la trave C si ha contributo  $\pm q \frac{l}{2}$

11478

1324

12522

-3651

2608

DIAGRAMMA

T

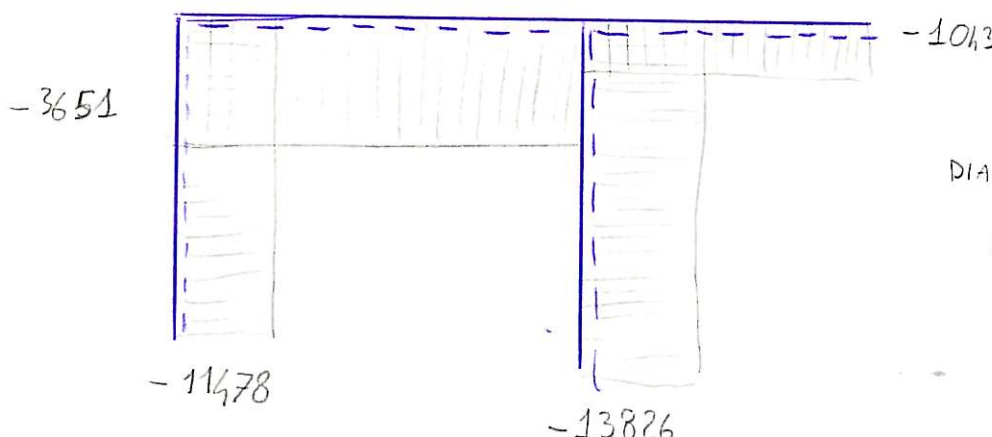
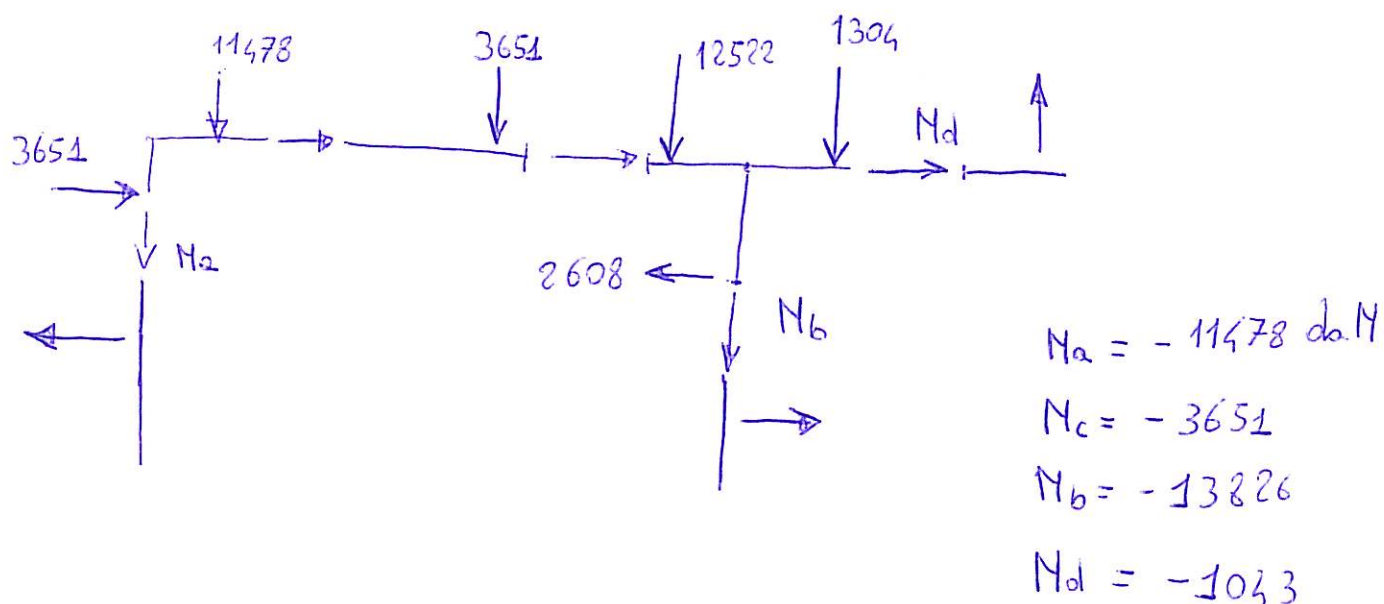
## DIAGRAMMA DEGLI SFORZI NORMALI N

Per quanto riguarda il diagramma  $N$  si procede tramite l'equilibrio ad ogni nodo. Consideriamo ad esempio il nodo ②. Saranno incogniti  $N_c$  ed  $N_b$ . Si mettono in evidenza gli sforzi taglienti.

taglio negativo  $\Rightarrow$  indicano momento antiorario rispetto alla estremità opposta

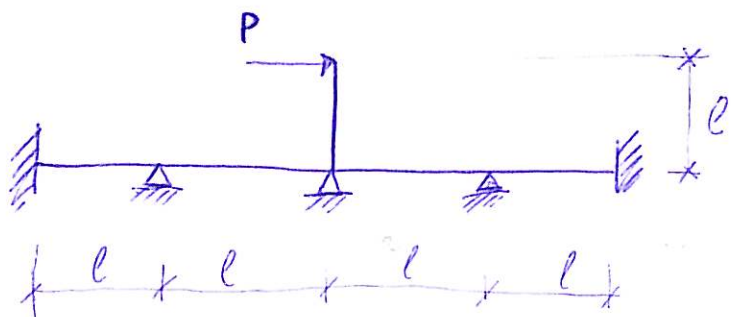
taglio positivo  $\Rightarrow$  indicano momento orario rispetto alla estremità opposta.

Nel nodo 2 abbiamo un caso elementare in cui gli sforzi di taglio in una trave si trasformano in 5 forze normali nell'altra.

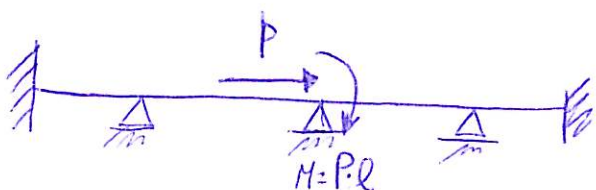


## UNA DOMANDA D'ESAME

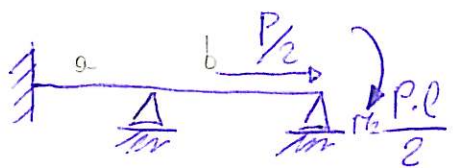
Tracciare il diagramma dei momenti flettenti e degli sforzi assiali per la seguente struttura



Possiamo riportarci al seguente schema, eliminando l'apposito istatistica



grazie alla simmetria possiamo considerare solo metà struttura



Si può applicare il metodo di CROSS A nodi fissi.

$$a = \text{mastro/morsello} \quad W_a = \frac{M}{Q} = \frac{4Rl}{l}$$

$$b = \text{morsello/cerniere} \quad W_b = \frac{M}{Q} = \frac{3Rl}{l}$$

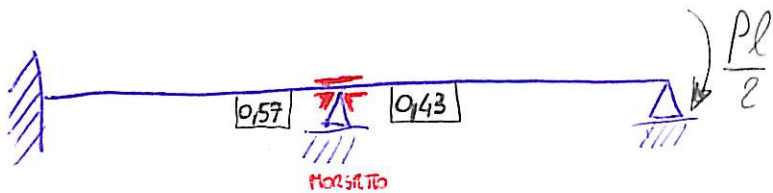


Cerco i coefficienti di ripartizione rispetto al vincolo centrale che considera bloccato con il morsello

$$K_{\text{Ripartizione } a} = \frac{W_a}{W_a + W_b} \Rightarrow \frac{\frac{4R}{l}}{\frac{4R}{l} + \frac{3R}{l}} = \frac{4R}{l} \cdot \frac{l}{4R+3R} = \frac{4}{7} \text{ o } 0,57$$

$$K_{\text{Ripartizione } b} = \frac{W_b}{W_a + W_b} \Rightarrow \frac{\frac{3R}{l}}{\frac{4R}{l} + \frac{3R}{l}} = \frac{3R}{l} \cdot \frac{l}{4R+3R} = \frac{3}{7} \text{ o } 0,43$$

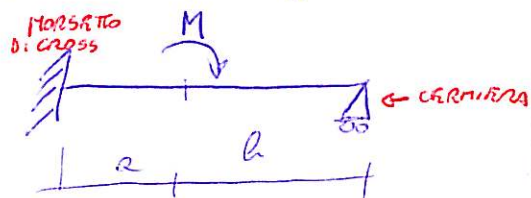
ORA CHE HO A DISPOSIZIONE I COEFFICIENTI DI RIPARTIZIONE COMPARSI AD APPLICARE IL CROSS CERCHIANDO I MONTANTI SECONDI, E PER TRASMISSIONE I MONTANTI TRAZI.



nella parte destra del morsotto arriverà una parte del momento primo applicato all'estremità dell'asse b dato dalla formula:

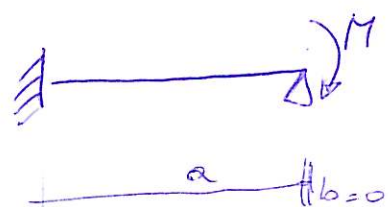
ATTENZIONE  $\Rightarrow l = \text{lunghezza complessiva trovata in questo ragionamento}$

$$\text{caso generale} \quad \mu_L = \frac{M_b(2l-3b)}{l^2} - \frac{1}{2} \frac{M_a(2l-3a)}{l^2}$$



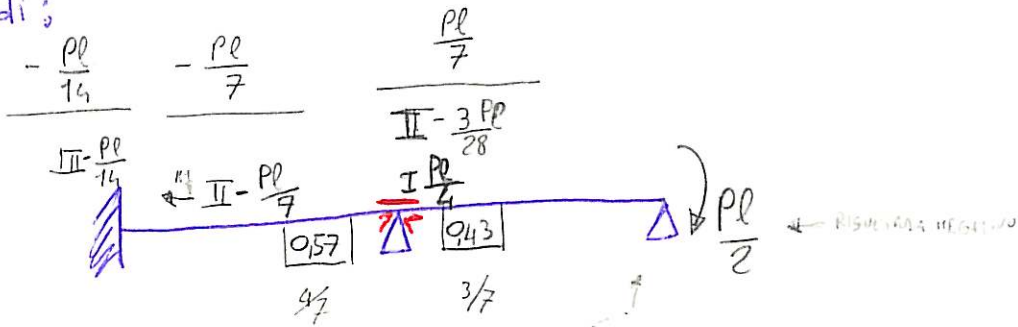
se sposto il momento alla destra della trave ottengo il caso particolare che sto studiando, cioè:

$$\begin{aligned} \mu_L &= \frac{\cancel{M_b(2l)}}{\cancel{l^2}} - \frac{1}{2} \frac{M_a(2l-3a)}{l^2} \\ &\quad \cancel{\text{si annulla}} \\ &= -\frac{1}{2} \frac{M \cdot a (2l-3a)}{l^2} \\ &= -\frac{1}{2} \frac{M \cdot l' (2l-3l')}{l'^2} \\ &= -\frac{1}{2} M \cdot \frac{l}{l'} = \frac{1}{2} M \end{aligned}$$

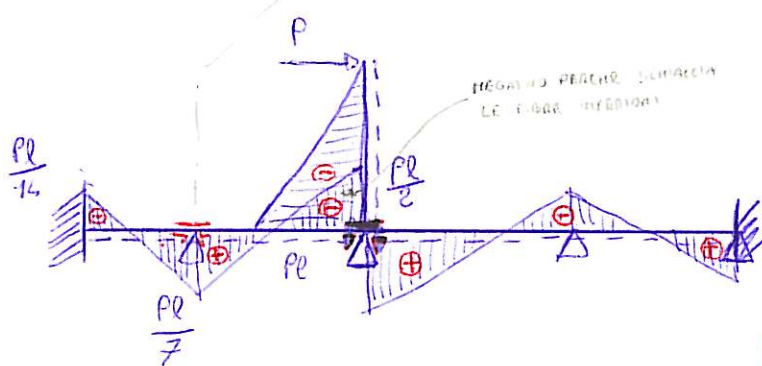


ovvero al morsotto arriverà Metà del momento applicato alla cerniera nell'estremità della trave

quindi:



ORA POSSO TRACCIARE IL GRAPICO DEL MOMENTI



\* M SI DISSEGNA SEMPRE Dopo PARTI DI CUI FIBRE FRESE

\* Θ se comprime fibre inferiori

\* + se comprime fibre superiori

si disegnano sempre dalla parte delle fibre tese e sono positivi se dalla parte delle fibre segnate altrimenti sono negativi.

Per calcolare gli sforzi assiali bisogna scrivere una condizione di congruenza, imponendo che gli spostamenti orizzontali in mezzo siamo uguali, cioè:

$$\Delta l_1 = \Delta l_2$$

$$\frac{X \cdot 2l}{EA} = \frac{(P-X) \cdot 2l}{EA}$$

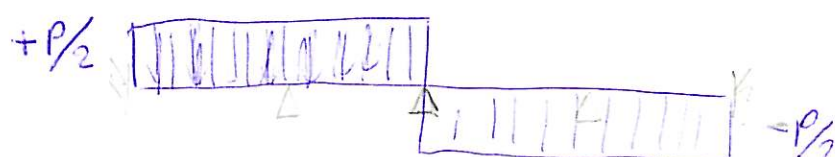
MODULO DI RIGIDITÀ ASSIALE  
RIGIDA NEGLIGIBILE  
SOTTOCOSTANTE

$$x \cdot 2l = (P-x) \cdot 2l \\ x = P - x$$

indichiamo con X il sforzo assiale a destra della mezzaluna

$$X = \frac{P}{2}$$

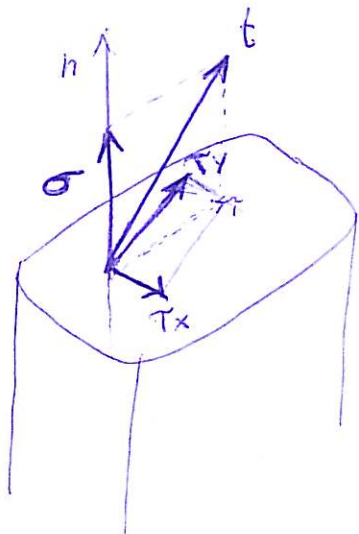
Diagramma degli sforzi assiali:



## Analisi della tensione

Considerato un continuo tridimensionale e una sua sezione, si indica come tensione in un punto dell sezione, la forza di superficie, "t" caratterizzata da una sua direzione.

La tensione "t" è caratterizzata da 3 componenti  $\sigma$ ,  $T_x$ ,  $T_y$  avendo significato di sforzo normale, taglio e flessione



Quando  $\sigma$  ha verso concorde con  $n$ , allora assume significato di trazione, altrimenti diventa compressione.

Il complesso delle tre componenti  $\sigma, T_x, T_y$  costituisce lo stato di tensione del continuo tridimensionale nel punto in esame.

Considerando un sistema di assi coordinati  $x, y, z$  su cui gioiscono le componenti di  $t$ .

È possibile con delle considerazioni sul tetraedro di Cauchy rappresentare lo stato di tensione interna con il sistema

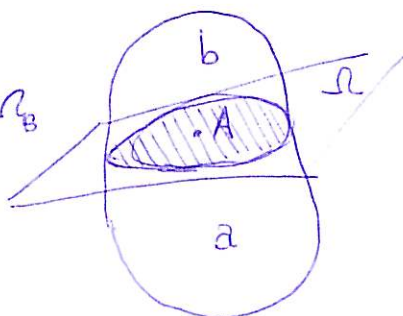
$$\left\{ \begin{array}{l} \vec{t}_{nx} = \sigma_x \cos \alpha_x + T_{yx} \cos \beta + T_{zx} \cos \gamma \\ \vec{t}_{ny} = T_{xy} \cos \alpha_x + \sigma_y \cos \beta + T_{zy} \cos \gamma \\ \vec{t}_{nz} = T_{xz} \cos \alpha_x + T_{yz} \cos \beta + \sigma_z \cos \gamma \end{array} \right.$$

$\vec{T} = T_{ij}$  è il tensore dello sforzo normale o tensor delle tensioni.

Vede la reciprocità  $T_{ij} = T_{ji}$

Analizziamo lo stesso problema da un punto di vista più semplice.

Se si effettua una sezione di un corpo continuo soggetto ad una tensione interna, si verifica che sulle due facce  $\Omega_A$  e  $\Omega_B$  dei monconi sono presenti le due forze interne che prima della sezione erano mutualmente equilibrate.



Se  $\Delta \Omega_A$  è un intorno di A su  $\Omega$  e se  $\Delta T$  è la risultante delle forze che B esercita su di esso, possiamo scrivere:

$$t = \lim_{\Delta \Omega_A} \frac{\Delta T}{\Delta \Omega_A} = \frac{dT}{d\Omega_A}$$

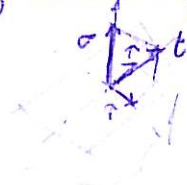
ovvero: La risultante delle forze interne ridotte all'analisi in uno specifico punto è la Tensione.

Per giacitura intendiamo una congruenza con una delle infinite direzioni della stessa di rette passante per A.

Si riconosce la dipendenza del vettore tensione in un punto dal versore  $\vec{n}$  relativo all'area infinitesima  $d\Omega$  su cui si valuta la tensione.

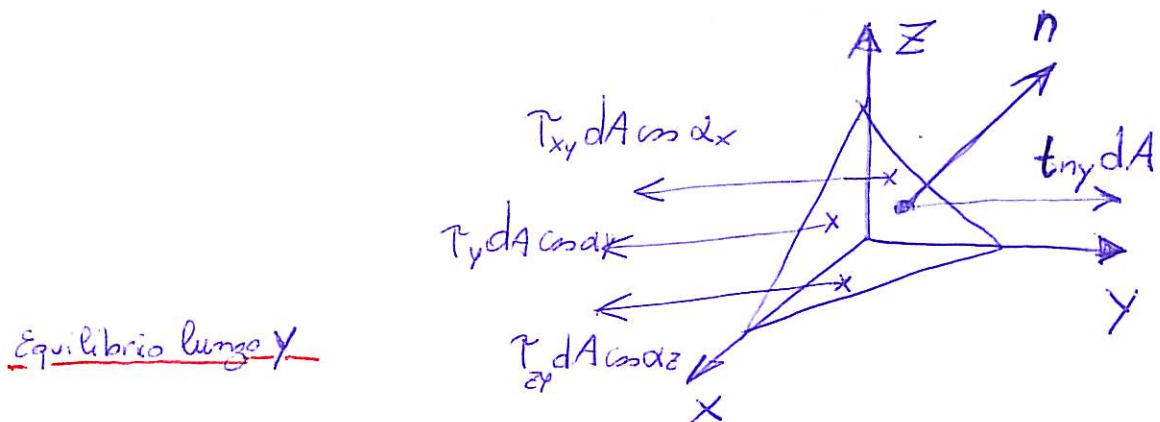
DEFINIAMO STATO DI TENSIONE nel punto A il complesso delle tensioni relative agli elementi piani di qualsiasi giacitura contenenti il punto A.

Sa  $\vec{T}$  si può decomporre in una componente di tensione normale  $\sigma$  (che assume valore positivo se ha il carattere della trazione) e componenti di tensione tangenziali  $\tau$  secondo due direzioni mutuamente ortogonali, appartenenti alla giacitura prescelta.



Analizziamo lo stato di tensione in un punto O rispetto ad un sistema di assi coordinati di origine in O.

Si individuano tre coseni direttori  $\cos \alpha_x$ ,  $\cos \alpha_y$ ,  $\cos \alpha_z$ . Applicando le condizioni di equilibrio del tetraedro di Cauchy nella direzione degli assi coordinati possiamo scrivere:



$$t_{ny} dA = T_{xy} dA \cos \alpha_x + \sigma_y dA \cos \alpha_y + T_{zy} dA \cos \alpha_z$$

Ragionando in maniera analoga sulla altre direzioni possiamo ottenere:

$$t_{nx} = \sigma_x \cos \alpha_x + T_{yx} \cos \alpha_y + T_{zx} \cos \alpha_z$$

$$t_{nz} = T_{xy} \cos \alpha_x + \sigma_y \cos \alpha_y + T_{zy} \cos \alpha_z$$

$$t_{ny} = T_{xz} \cos \alpha_x + T_{yz} \cos \alpha_y + \sigma_z \cos \alpha_z$$

che può essere espresso in forma matriciale con:

$$t = \begin{bmatrix} \sigma_x & T_{yx} & T_{zx} \\ T_{xy} & \sigma_y & T_{zy} \\ T_{xz} & T_{yz} & \sigma_z \end{bmatrix} \cdot \begin{bmatrix} \cos \alpha_x \\ \cos \alpha_y \\ \cos \alpha_z \end{bmatrix}$$

Le componenti  $\sigma$  e  $T$  così trovate sono le componenti di un tensore doppio  $S$  che applicato al vettore  $\vec{n}$  fornisce la corrispondente tensione tramite la relazione:

$$t = S \cdot \vec{n}$$

## STATI DI TENSIONE PIANI

Uno stato di tensione si dice piano se è caratterizzato da tensioni tutte appartenenti ad uno stesso piano, il piano delle tensioni.

Risulta quindi definito da tre sole componenti indipendenti di tensione, mentre risultano nulle le rimanenti tre.

Ad esempio lo stato di tensione piano relativo alla giacitura individuata da  $x$  e  $y$  è dato da:

$$\begin{bmatrix} \sigma_x & T_{xy} & 0 \\ T_{yx} & \sigma_y & 0 \\ 0 & 0 & 0 \end{bmatrix} \Rightarrow \{\sigma_x, \sigma_y, T_{xy}\} \text{ individuano lo stato di tensione}$$

Un simile stato di tensione può essere decomposto in tre sottostati di tensione definiti dalle componenti:

$$1) \quad \sigma_x' = \sigma_y' = \frac{\sigma_x + \sigma_y}{2} \quad T_{xy}' = 0$$

$$2) \quad \sigma_x'' = -\sigma_y'' = \frac{\sigma_x - \sigma_y}{2} \quad T_{xy}'' = 0$$

$$3) \quad \sigma_x''' = \sigma_y''' = 0 \quad T_{xy}''' = T_{xy}$$

Analizziamoli separatamente per vedere come varia la tensione  $\vec{T}$  sull'elemento di superficie piano normale al piano  $(x, y)$  di giacitura variabile. Anche in questo caso si sfrutta il tetraedro di Cauchy che si riduce ad un elemento di volume prismatico, visto che il piano in esame ha posizione variabile ma sempre ortogonale al piano  $(x, y)$ .

Rappresentiamo i vettori  $\vec{T}$  al variare di  $n$  in un sistema di riferimento solidale alla giacitura di normale  $n$ , ossia nel riferimento  $(\sigma, \tau)$ .

### Primo sottostato

$$\sigma_x^i = \sigma_y^i = \frac{\sigma_x + \sigma_y}{2} \quad \tau_{xy}^i = 0$$

Per Cauchy possiamo scrivere

$$t_{nx}^i = \sigma_x^i \cos \alpha_x + 0 + 0 \quad e \quad t_{ny}^i = 0 + \sigma_y^i \cos \alpha_y + 0$$

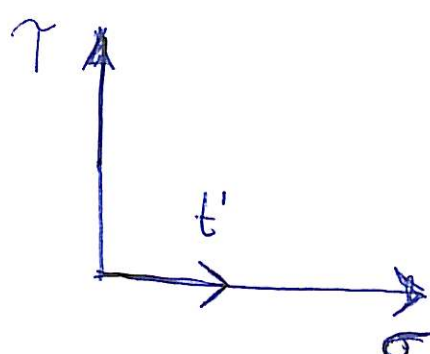
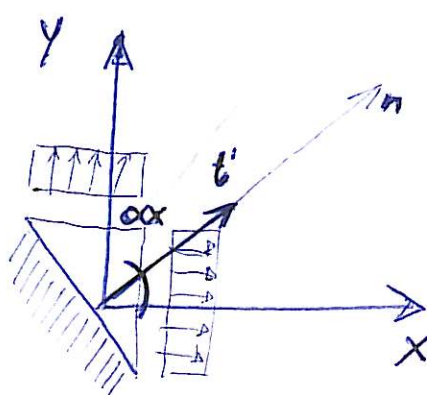
Ricordando le posizioni iniziali

$$t_{ny}^i = \frac{\sigma_x + \sigma_y}{2} \cdot \cos \alpha_x =$$

$$t_{ny}^i = \frac{\sigma_x + \sigma_y}{2} \cos \alpha_y = \frac{(\sigma_x + \sigma_y)}{2} \sin \alpha_x$$

È presente componenti lungo x e y derivanti dal flusso di  $\sigma_x^i$  e  $\sigma_y^i$  attraverso l'elemento di superficie considerato, espresse da  $\sigma_x^i \cdot \cos \alpha_x$  e  $\sigma_y^i \cdot \sin \alpha_x$ .

Ha modulo costante di valore  $|\frac{\sigma_x + \sigma_y}{2}|$  e la direzione di  $\vec{n}$ , nel riferimento  $(\sigma, \tau)$   $t_n^i$  giace sull'asse delle  $\sigma$ .



Secondo sostituto

$$\sigma_x'' = -\sigma_y'' = \frac{\sigma_x + \sigma_y}{2} \quad T_{xy}'' = 0$$

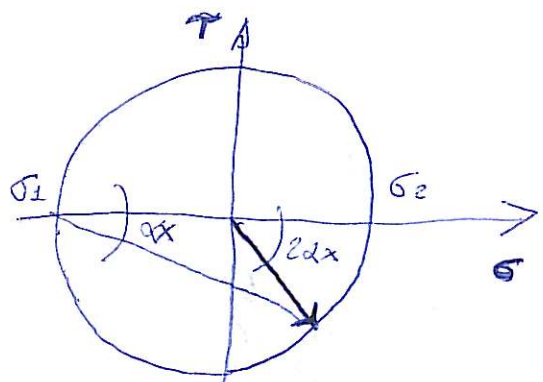
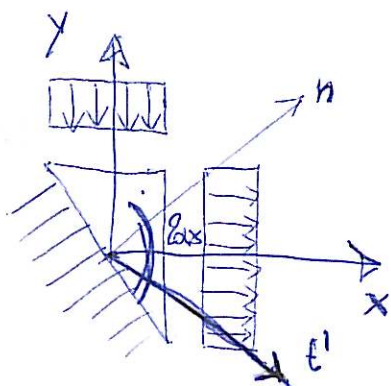
$$\begin{cases} t_{nx}'' = \sigma_x'' \cdot \cos \alpha_x \\ t_{ny}'' = \sigma_y'' \cdot \cos \alpha_y \end{cases}$$

Ricordando le posizioni iniziali si ha:

$$t_{nx}'' = \frac{(\sigma_x - \sigma_y)}{2} \cdot \cos \alpha_x$$

$$t_{ny}'' = -\frac{(\sigma_x - \sigma_y)}{2} \cdot \cos \alpha_y$$

$t_n''$  presenta componenti lungo  $x$  e  $y$  esprimesse da  $\sigma_x'' \cos \alpha_x$  e  $\sigma_y'' \cos \alpha_y$    
 $= -\sigma_x'' \sin \alpha_x$ . Ha modulo costante di valore  $|\frac{\sigma_x - \sigma_y}{2}|$  ed è ruotato di un angolo di  $2\alpha_x$  rispetto alla direzione di  $\vec{n}$ .



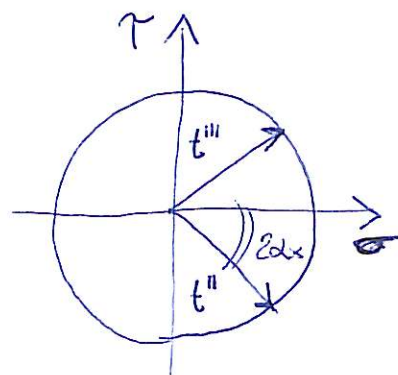
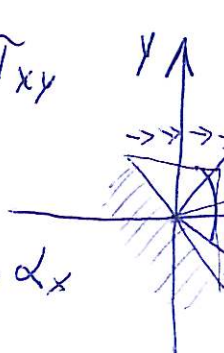
### Terzo sottostato

$$\sigma_x''' = \sigma_y''' = 0 \quad T_{xy}''' = T_{xy}$$

Per Cauchy possiamo scrivere:

$$T_{yx}''' = T_{xy}''' \cdot \cos \alpha_x = T_{xy} \cdot \sin \alpha_x$$

$$T_{ny}''' = T_{xy}''' \cdot \cos \alpha_x$$



$$\text{Sia ora } \operatorname{tg} \phi = \frac{\sin \alpha_x}{\cos \alpha_x} = \operatorname{ctg} \alpha_x = \operatorname{tg} \left( \frac{\pi}{2} - \alpha_x \right) \Rightarrow \phi = \left( \frac{\pi}{2} - \alpha_x \right)$$

$t'''$  è ortogonale a  $t''$  quindi l'angolo e la direzione di  $\vec{n}$  è  $2\alpha_x - \frac{\pi}{2}$ .

Il vettore  $t'''$  presenta componenti secondo x e y espresso da  $T_{xy}''' \cdot \sin \alpha_x$ ,  $T_{xy}''' \cdot \cos \alpha_x$ . Ha modulo costante di valore  $|T_{xy}|$

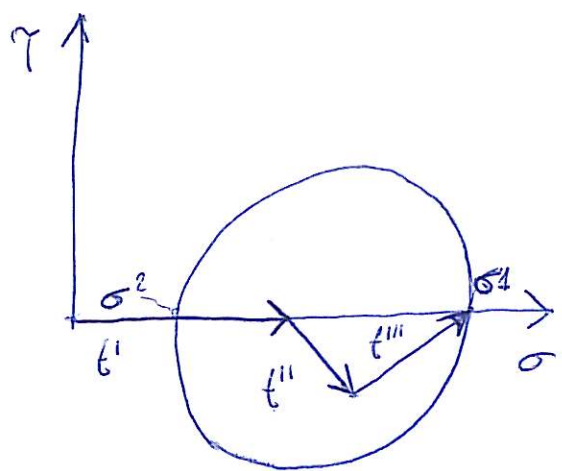
nel riferimento  $(\sigma, \tau)$  appare ruotato di  $2\alpha_x - \frac{\pi}{2}$  rispetto alla direzione di  $\vec{n}$ .

Nel sistema  $(\sigma, \tau)$  il punto rappresentativo  $t = t' + t'' + t'''$  si muove su un cerchio avente centro sull'asse delle  $\sigma$  nel punto  $(0 + t')$ .

I punti di intersezione di questo cerchio con l'asse  $\sigma$  corrispondono alle tensioni normali  $\sigma_1$  e  $\sigma_2$  rispettivamente massima e minima, non accompagnate da tensioni tangenziali. Le due particolari giaciture per le quali i vettori di tensione sono massimi e minimi sono tra loro perpendicolari.

Quindi, per uno stato di tensione piano, esistono due particolari giaciture fra loro ortogonali su cui sono presenti il minimo e il massimo dei vettori di tensione che sono presenti nelle sole componenti  $\sigma$ . Tali direzioni vengono dette DIREZIONI PRINCIPALI di cui corrispondono le tensioni principali.

Quanto detto si può riassumere graficamente con:



Quindi per uno stato di tensione generale, esiste sempre almeno una terna di direzioni principali associate alle quali ci sono le tre tensioni principali.

### STATO DI TENSIONE DI TIPO IDROSTATICO

Uno stato di tensione si dice idrostatico se è caratterizzato dalle sole componenti  $\sigma_x, \sigma_y, \sigma_z$ , mentre  $\tau_{ij} = 0$  per  $\forall i, j$ .

Dall'annullarsi delle  $\tau_{ij}$  si ricava il parallelismo di  $\sigma$  e  $\tau$ ; risulta inoltre:  $|\tau| = |\sigma|$

Si noti che sovrapponendo ad uno stato di tensione generale uno stato di tensione idrostatico non se ne alterano le direzioni principali in quanto si aggiungono solo tensioni normali, ma variando  $t'$ , si provoca uno spostamento del centro della circonferenza sull'asse  $\sigma$ .

In fine uno stato di tensione idrostatico è caratteristico dei fluidi in quiete o in moto se il fluido è perfetto.

## CERCHI DI MOHR

Con riferimento al generico punto A e alla generica retta che passa per A, una rappresentazione grafica dovuta a MOHR permette di conoscere attraverso la costruzione di un cerchio, le tensioni normali e le componenti di tensione tangenziale secondo la normale in  $\mathcal{Z}$ , su uno qualsiasi degli elementi più vicini di sostegno  $\mathcal{Z}$ . L'intorno di un generico punto A appartenente ad un solido in equilibrio rispetto alla forma cartesiana principale  $\{A, \bar{b}_1, \bar{b}_2, \bar{b}_3\}$ .

Sulla generica giacitura il cui versore normale è  $\vec{n}$ , le componenti cartesiane del vettore tensione sono date da:

$$\begin{bmatrix} t_{n,1} \\ t_{n,2} \\ t_{n,3} \end{bmatrix} = \begin{bmatrix} \sigma_1 & 0 & 0 \\ 0 & \sigma_2 & 0 \\ 0 & 0 & \sigma_3 \end{bmatrix} \begin{bmatrix} n_1 \\ n_2 \\ n_3 \end{bmatrix} \Rightarrow \begin{cases} t_{n,1} = \sigma_1 n_1 \\ t_{n,2} = \sigma_2 n_2 \\ t_{n,3} = \sigma_3 n_3 \end{cases}$$

La componente della tensione normale alla giacitura stessa è data da:

$$\sigma_N = [n_1, n_2, n_3] \cdot \begin{bmatrix} t_{n,1} \\ t_{n,2} \\ t_{n,3} \end{bmatrix} = [n]^T \begin{bmatrix} \sigma_1 & 0 & 0 \\ 0 & \sigma_2 & 0 \\ 0 & 0 & \sigma_3 \end{bmatrix} \cdot [n] =$$

$$= \sigma_1 n_1^2 + \sigma_2 n_2^2 + \sigma_3 n_3^2$$

Si può trovare la componente tangenziale alla stessa giacitura  $T_N$  attraverso la relazione:

$$\sigma_N^2 + T_N^2 = t_{n,1}^2 + t_{n,2}^2 + t_{n,3}^2 = \sigma_1^2 \cdot n_1^2 + \sigma_2^2 n_2^2 + \sigma_3^2 n_3^2$$

Si ricorda che  $\sigma$  e  $T$  sono le componenti della

tensione quindi

in qualche modo si ha  $\sigma + T = t$

ne conseguono  $\sigma^2 + T^2 = t^2$  pag 55



## 3) Problema di de Saint Venant

Funziona con determinate ipotesi.

- 1) Le travi devono essere prismatiche (asse rettilineo e sezione costante), a sezione trasversale compatta, libere da vincoli esterni e di materiali isotropi linearmente elastiche..
- 2) Le forze esterne devono essere equilibrate, esclusivamente di superficie e applicate alle teste

Ricordiamo che:

$$\text{Sforzo normale} \rightarrow N = \int_{\Sigma} \sigma_z dA$$

$$\begin{aligned} \text{Sforzo taglio} &\rightarrow \begin{cases} T_x = \int_{\Sigma} \tau_{zx} dA \\ T_y = \int_{\Sigma} \tau_{zy} dA \end{cases} \end{aligned}$$

$$\begin{aligned} \text{Momenti flettenti} &\rightarrow \begin{cases} M_x = \int_{\Sigma} \sigma_z \cdot y dA \\ M_y = \int_{\Sigma} \sigma_z \cdot x dA \end{cases} \end{aligned}$$

$$\text{Momenti torcenti} \rightarrow M_z = \int_{\Sigma} (T_{zy} \cdot x - T_{zx} \cdot y) dA$$

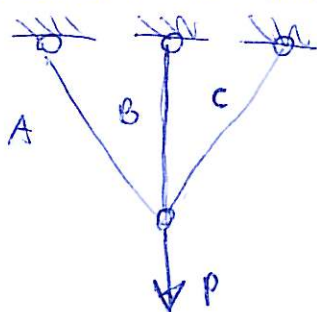
Dalle ipotesi sulle forze esterne seguono le seguenti proprietà:

- Biassimilabile, al più, dello stato di tensione (quindi si sceglie  $z$  come direzione delle generatrici:  $\sigma_x = \sigma_y = \tau_{xy} = 0$ )
- In corrispondenza al contorno della sezione trasversale la  $T_z$  è tangente al contorno stesso.



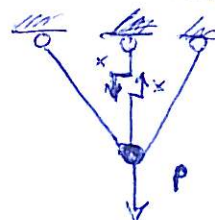
### DOMANDA DI SISTEMI (MOLTO IMPORTANTE)

LA STRUTTURA È UNA PARTICOLARE IPERSTAZIONE:



SI RISOLVE APPLICANDO IL TEOREMA DEI LAVORI VIRTUALI.

Eliminiamo la condizione che crea iperstazionarietà creando virtualmente un taglio sull'asta B



DELLO SPOSTAMENTO RELATIVO DUE FACCIE SEPARATE DAL TAGLIO DEVONO AVERE SPOSTAMENTO NULLO.

$$\delta \begin{cases} 1 \\ 2 \end{cases} - \delta \begin{cases} 1 \\ 2 \end{cases} = 0 \Rightarrow \delta_{\text{RELATIVO}} = 0$$

EQUAZIONE DI CONGRUITÀ CHE SI PUÒ RISOLVERE CON IL TEOREMA DEI LAVORI VIRTUALI.

I POTERI DEL PROBLEMA

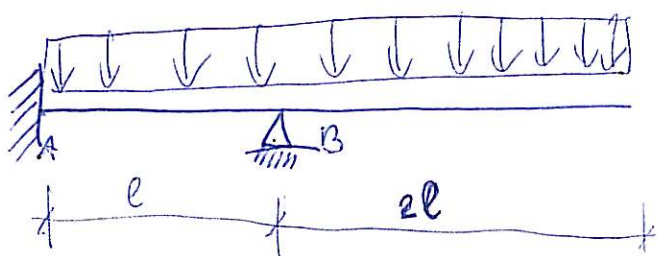
$$\delta_{\text{rel}} \xrightarrow{\text{congruenza}} \Delta_{\text{li}} \text{ sul sistema reale}$$

$$F^* \xrightarrow{\text{equivalente}} \delta_i^* \text{ ausiliario}$$

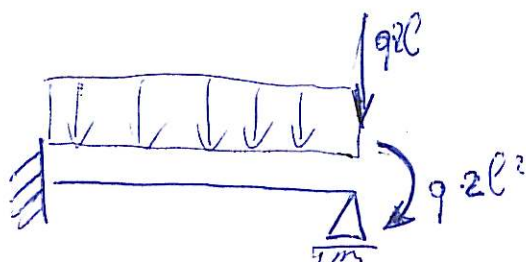
$$F^* \delta_{\text{rel}} = \sum_i$$

DOMANDA D'ESAME

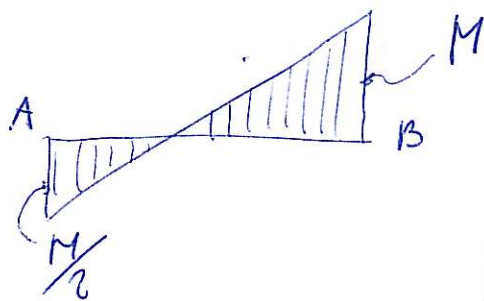
Determinare la reazione vincolare dell'appoggio B per la seguente struttura.



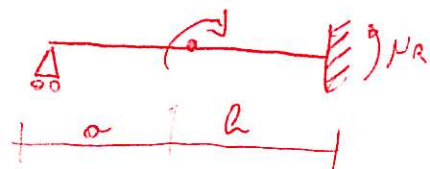
Risoluzione Possiamo eliminare la mensola ottenendo



La forza concentrata  $q_2l$  viene completamente assorbita dall'appoggio. La coppia  $M = q_2l^2$  produce la seguente distribuzione di momenti



VEDI DISPLASTA CROSS



$$M_R = -\frac{M a (2l - 3a)}{l^2} + \frac{1}{2} \frac{M b (2l - 3b)}{l^2}$$

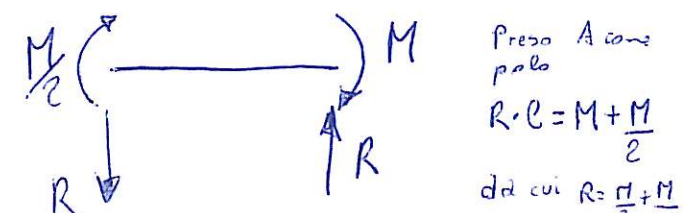
Spostando la coppia all'estremo sinistro ha il risultato di un addendo

$$M_R = +\frac{1}{2} \frac{M b (2l - 3b)}{l^2}$$

Dato il coincidere di l con b si ha:

$$M_R = \frac{1}{2} M b \frac{2l - 3b}{l^2}$$

$$= \frac{1}{2} M R - \frac{l}{l^2} = \frac{1}{2} M$$



Preso A come polo

$$R \cdot l = M + \frac{M}{2}$$

da cui  $R = \frac{M}{2} + \frac{M}{2l} = \frac{M}{2} \left(1 + \frac{1}{l}\right)$

$$R = \frac{M}{l} + \frac{M}{2l} = \frac{3}{2} \frac{M}{l} = 3q_2l$$

Siccome  $M = q_2l^2$  sostituendo in

$$\frac{3}{2} \frac{M}{l} = \frac{3}{2} \frac{q_2l^2}{l} = 3q_2l$$

poz 60

in fine calcoliamo le reazioni dovute al carico ripartito:

$$R_A = \frac{q l}{2} + \frac{1}{8} q l = \frac{5}{8} q l \quad \text{EQUILIBRIO DAI MOMENTI IN A}$$

$$R_B = \frac{q l}{2} - \frac{1}{8} q l = \frac{3}{8} q l \quad \text{EQUILIBRIO DAI MOMENTI IN B}$$

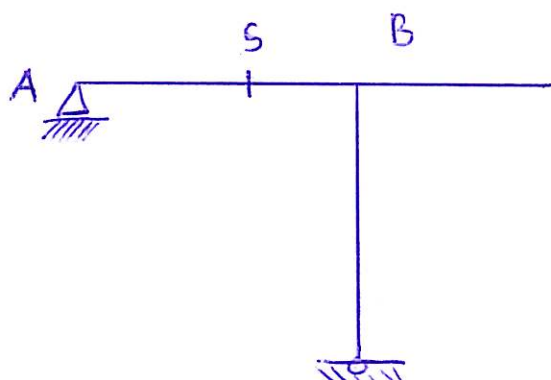
Quindi la reazione vincolare complessiva dell'appoggio B vale

$$R_B = 2q l + \underbrace{3q l}_{\substack{\text{CARICA CONCENTR.} \\ \text{della morsa}}} + \underbrace{\frac{3}{8} q l}_{\substack{\text{carico dovuto} \\ \text{del momento} \\ \text{della morsa}}} = \frac{43}{8} q l$$

carico distribuito  
sul tratto interno

### DOMANDA D'ESAME

tracciare la linea di influenza del momento flettente nella regione S, nell'ipotesi di carichi verticali:



### Promemoria per la teoria:

Siamo nell'ipotesi di carico in moto. Le sollecitazioni (taglio, momento, sforzo normale) non saranno più note in tutte le sezioni ma solo in un'unica S, ampliata durante il moto, sulla struttura del carico stesso.

Una volta verificato che la struttura è fissa e sostanziale si procede all'inserimento del corretto vincolo:

Cerniera  $\rightarrow$  per ricerca linea influenza MOMENTO

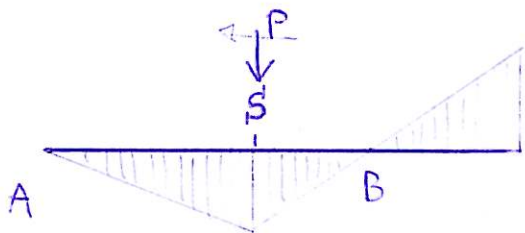
Due carrelli contrapposti  $\rightarrow$  per la linea di influenza del TAGLIO

Un pistonecino  $\rightarrow$  per la linea di influenza dello sforzo NORMALE

nel problema proposto bisogna eliminare il vincolo che impedisce la rotazione in  $S'$  e applicare poi una rotazione relativa.

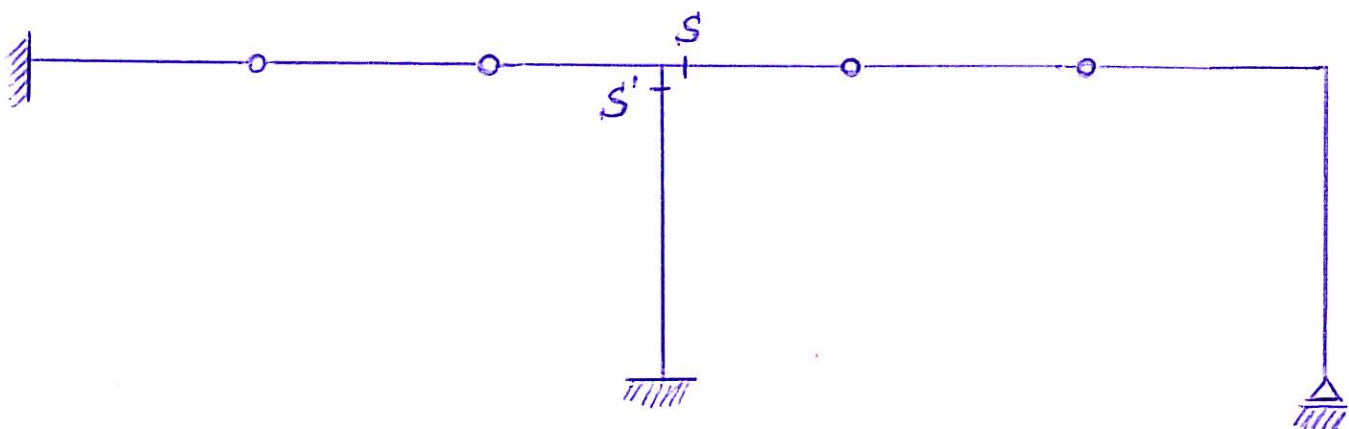
Nell'ipotesi di carichi verticali possiamo sostituire il piedritto con un appoggio semplice.

Quando  $P$  transita per  $S$  si ha il seguente diagramma del momento flettente

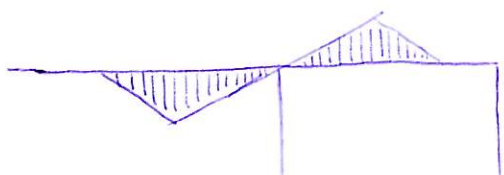
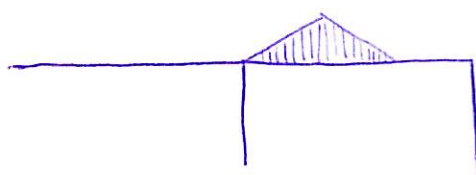


#### DOMANDA D'ESAME

TRACCIARE LE LINEE DI INFLUENZA DEL MOMENTO FLETTENTE NEI SEZIONI  $S$  ED  $S'$

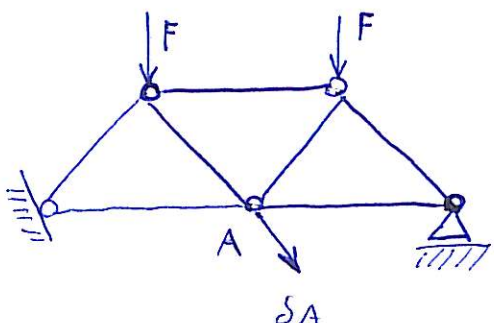


RISOLUZIONE Inseriamo una cerniera nella sezione considerata e disegniamo un moto rigido ottenendo così le linee di influenza:



## APPLICAZIONE DEL TEOREMA DEI LAVORI VIRTUALI A STRUTTURE RETICOLARI ISOSTATICHE

Problema: calcolare le componenti di spostamento di un nodo in una data struttura reticolare isostatica.



Si consideri lo spostamento del punto A individuato dal vettore  $SA$  che per semplicità scomponiamo nelle due proiezioni lungo due qualsiasi rette passanti per il punto A.

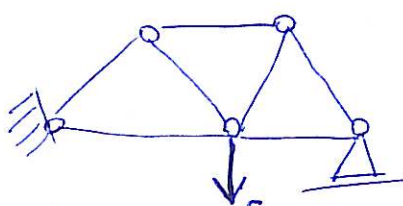
OVVIAMENTE NON VALLE LA REGOLA DEL PARALLELOGRAMMA.

Attraverso una doppia applicazione del teorema dei Lavori virtuali riusciremo a determinare lo spostamento in A.

Si consideri lo stato ausiliario carico da una forza fittizia di intensità arbitraria.

Di esso si ricavano facilmente le tensioni lungo le aste con uno qualsiasi dei metodi noti. Per esse varrà:

$$S_i^* = [\text{Sollecitazioni interne fittizie}] = \alpha_i F_i$$



Ritornando allo schema iniziale, si scelga come spostamento virtuale una delle due proiezioni di  $SA$  nel nostro caso quella verticale; noti gli  $S_i$  perché il sistema è isostatico ci si potrà collegare gli  $\Delta S_i$  utilizzando la relazione

$$\Delta S_i = \frac{S_i l_i}{R_N} = S_i p_i$$

RIGIDITÀ

applicando il teorema dei lavori virtuali si ottiene

$$F^* \cdot \Delta A = \sum S_i^* \cdot \Delta s_i$$

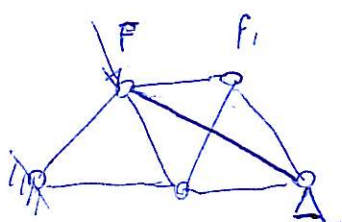
$$F^* \cdot \Delta A = \sum \alpha_i F^* \cdot \Delta s_i$$

$$\Delta A = \sum \alpha_i \Delta s_i$$

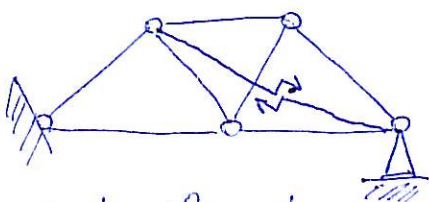
## APPLICAZIONE DEL TEOREMA DEI LAVORI VIRTUALI A STRUTTURE RETTICOLARI

### IPERSTATICHE

Premesso che in una struttura iperstatica ogni asta prospiciente non possa rendere isostatico, per la risoluzione di questo sistema dobbiamo servirci di uno dei due metodi per la risoluzione di strutture iperstatiche.



Rompendo la continuità come in figura, riducendo il sistema ad isostatico, e perciò risolribile imponendo semplicemente che  $S_{rel} = 0$  sull'asta spezzata.

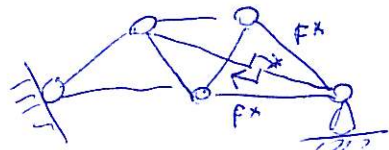


Considerando il sistema isostatico principale così ridotto posso ricavare gli sforzi in ogni asta, e troverò così nel caso precedente  $S_i^* = [\text{Sollecitazioni intorno al fissaggio}] = \alpha_i F_i$

ritornando ora al sistema principale si può calcolare gli  $\Delta s_i$ :

$$\Delta s_i = \sum_i N_i \beta_i$$

Dove gli  $N_i$  sono gli sforzi normali che sono dati dalla somma degli sforzi in seguito alle  $F_{e,\alpha}(S^{(o)})$  e quelli dovuti alla forza interna  $X(S^{(x)} + \alpha_i X)$ .



perciò applicando il T.L.V.

$$F^x \cdot \alpha_{rel} = F^x \cdot \sum_i (S^{(o)} + \alpha_i X) \cdot \alpha_i \cdot \beta_i$$

$$\alpha_{rel} = 0 = \sum_i (S^{(o)} + \alpha_i X) \cdot \alpha_i \cdot \beta_i$$

$$X = - \frac{\sum_i \alpha \cdot S^{(o)} \cdot \beta_i}{\sum_i \alpha_i^2 \cdot \beta_i}$$

## ELASTICITÀ E TEOREMI ENERGETICI

Si sviluppa l'analisi su casi in cui c'è un legame lineare tra le sollecitazioni. Si e le corrispondenti deformazioni si.

Poiché per un generico elemento deformabile il lavoro di deformazione elastica nel passaggio da una configurazione di equilibrio ad un'altra, dipende solo dai valori iniziali e finali in quanto le sollecitazioni e deformazioni sono legate dalla legge elastica (qualsiasi), esiste una funzione potenziale ed il lavoro di deformazione elastica dipende proposito essere pensato come variazione del potenziale elastico del generico elemento deformabile.

Sia  $\phi_i$  il potenziale elastico del generico elemento deformabile semplice e  $\phi$  quello dell'intero sistema, possiamo scrivere:

$$\delta\phi = \sum_i \phi_i = \sum S_i \cdot s_{\delta i}$$

Ricorrendo al teorema dei lavori virtuali, in relazione ai sistemi di forze  $F_j$  e sollecitazioni  $S_i$  in equilibrio e di sistemi congruenti di spostamenti  $s_{\delta j}$  e di deformazioni  $\delta s_i$ , possiamo scrivere

$$\delta\phi = \sum_i \phi_i = \sum_i S_i \delta s_i = T.L.V. = \sum_j F_j s_{\delta j}$$

Le forze elastiche si collegano ai potenziali elastici mediante la relazione

$$S_i = \frac{d\phi_i}{ds_i} = \frac{\partial\phi}{\partial s_i}$$

Si si ancora il livello zero dello stato naturale dell'elemento il suo potenziale elastico è misurato dall'area racchiusa fra la curva, l'asse delle ascisse e la retta parallela all'asse delle ordinate per il punto P relativo alle condizioni raggiunte.

In maniera del tutto analoga è possibile esprimere si in funzione di  $S_i$  cioè  $\sigma_i(S_i)$  e quindi anche gli incrementi  $\Delta S_i$  costituiscono una funzione potenziale  $\Delta \sigma_i$  detta potenziale complementare.

$$\Delta \sigma_i = \frac{dc_i}{dS_i} = \frac{\delta C}{\delta S_i}$$

Si noti che avendo fissato l'origine degli assi nello stato naturale dell'elemento e in caso di elasticità lineare

$$\phi_i = c_i$$

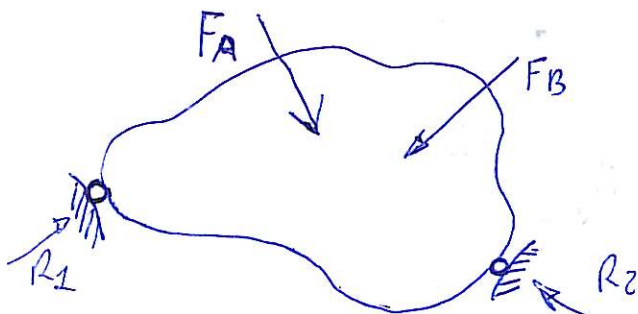
Per una trave deformabile



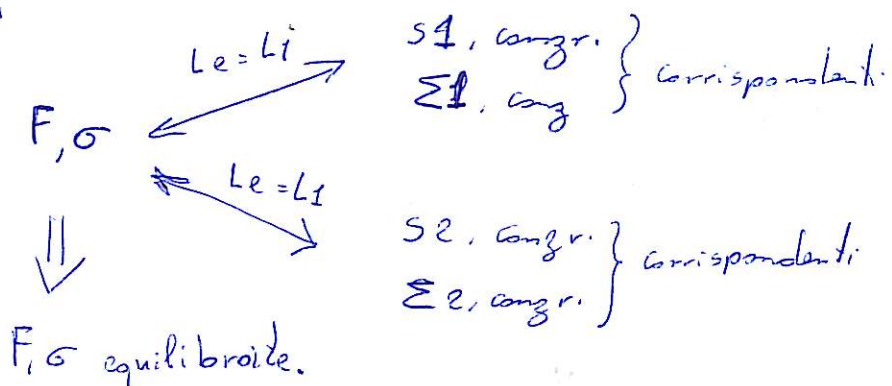
## METODO DELLE FORZE APPLICATO A RETICOLARI IPERSTATICHE (MOLTO IMPORTANTE)

È un caso particolare di applicazione del teorema dei lavori virtuali  $L_e = L_i$ .

Richiamandando se ne possono vedere due forme:

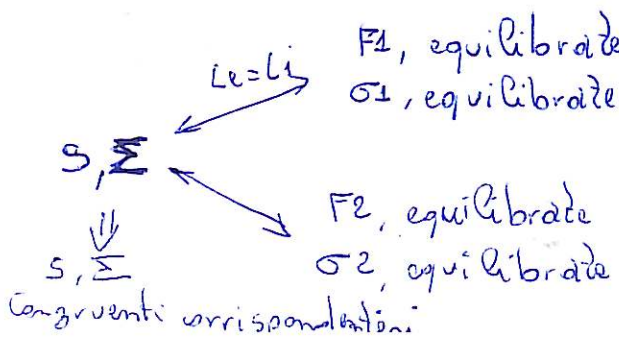


Una prima può essere:  $\rightarrow$  dato un sistema di forze in equilibrio e di tensioni in equilibrio separatamente l'uno dall'altro, se si impone  $L_e = L_i$  per ogni sistema di spostamenti  $s$  con le deformazioni corrispondenti nel senso della congruenza, le forze in equilibrio con le tensioni



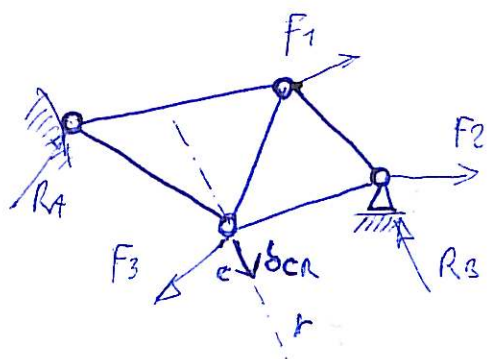
Una seconda forma può essere:  $\rightarrow$  Dato un sistema di spostamenti congruenti e di deformazioni congruenti, se si impone  $L_e = L_i$  per ogni sistema di forze e tensioni equilibrante fra spostamenti e deformazioni sussiste corrispondenza

$$\text{corrispondenza} = \sum x = \frac{\sum s}{\sum x}$$



Congruenti corrispondenti.

si trattano quindi quattro grandezze: Forze  $F$ , tensioni  $\sigma$ , spostamenti  $s$ , deformazioni  $\epsilon$

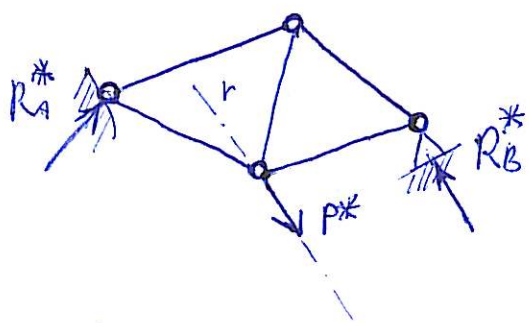


Dato un sistema di forze e spostamenti determinare  $S_{CR}$ .

Poiché le tensioni sono sforzi normali, il teorema dei lavori virtuali è facilmente esprimibile e applicabile visto che

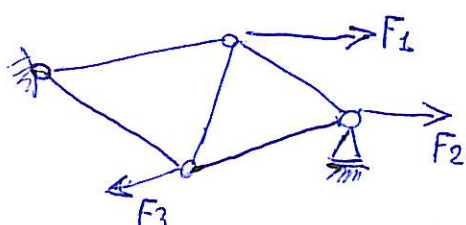
$$L_i = \sum_j S_j^* \cdot \Delta l_j$$

Infatti, per sistema di forze esterne, si considera una forza  $P^*$  nella direzione desiderata; se la struttura è isostatica esiste un sistema di forze che equilibria  $P^*$  (se fosse iperstatica infiniti)

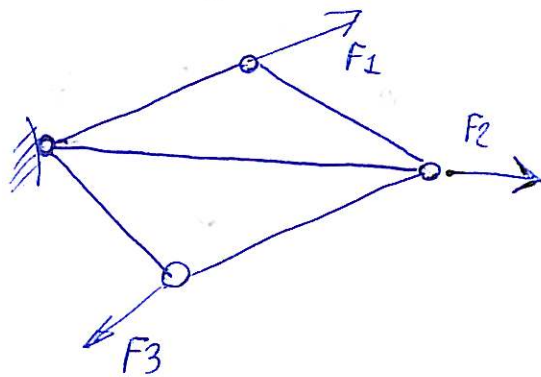


Per sistema di tensioni si considera proprio quello ottenuto da questa situazione; per spostamenti quelli lungo  $r$ ; per deformazioni invece si prendono non quelle reali  $\Delta l_i = \frac{S_i \cdot l_i}{E \cdot A}$

$E \cdot A$   
sezioni travi  
modulo elastico

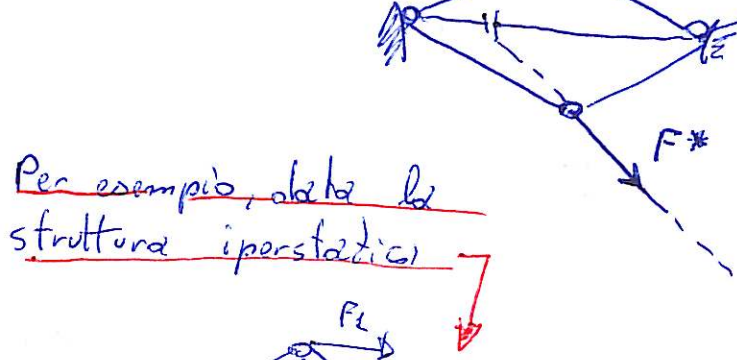


Nel caso di una rete reticolare iperstatica

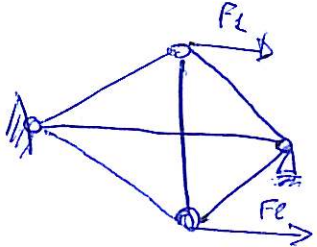


si considera una forza  $F^*$  nella direzione dello spostamento mentre le tensioni da utilizzare dovrebbero essere quelle ottenute dall'ipostatica stessa. Ma è sufficiente un sistema di forze e di tensioni che siano equilibrati.

Nulla costa tagliare l'asta iperstatica stessa, mettere gli sforzi con la relazione di congruenza e lavorare con l'isostatica attenuata.

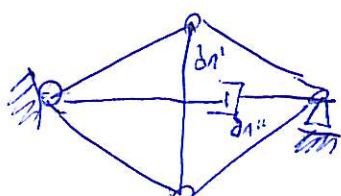


Per esempio, calcola la struttura iperstatica

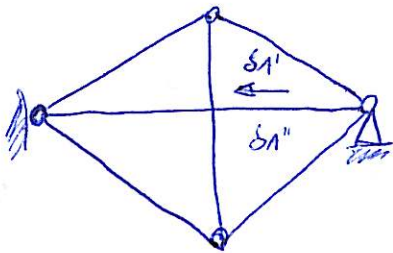
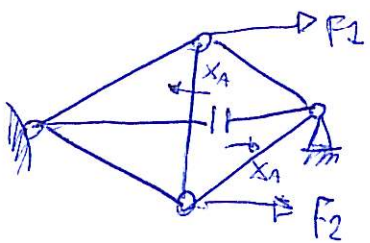


### DETERMINARE GLI SFORZI

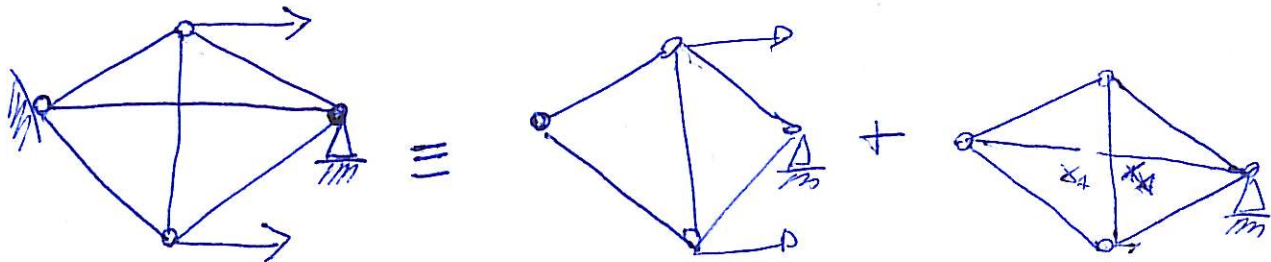
si esegue un taglio sull'asta 2 (come se ci fosse un vincolo pistoncino), si mette lo sforzo  $X_A$  comune ai membri tagliati, con la relazione di congruenza (ecco il metodo delle forze)  $SA' = SA''$



Per sistemi di forze si considerano sempre sistemi fissi lungo il taglio, mentre per gli spostamenti  $SA'$  e  $SA''$  lungo il taglio



Per le deformazioni si considerino quelle della struttura reale come se fosse composta, applicando il principio di sovrapposizione degli effetti da:



Poiché  $X_A$  è l'incognita, si imposta la proporzione

$$\frac{S_j^{(a)}}{S_j^{(a)*}} = \frac{X_A}{S_A^*}$$

dove  $S_A^*$  è una sollecitazione arbitraria a cui corrispondono le tensioni  $S_j^*$ . Supponendo  $S_A^*$  unitaria si può ottenere dalla precedente relazione:

$$S_j^{(a)} = \frac{X_A \cdot S_j^{(a)*}}{S_A^*} = X_A \cdot S_j^{(a)*}$$

Allora applicare il principio di sovrapposizione degli effetti diventa

$$S_{j\text{reale}} = S_j^{(0)} + S_j^{(a)} = S_j^{(0)} + X_A S_j^{(a)*}$$

7 Ordinando il teorema dei lavori virtuali si ha:

$$\underbrace{S_A^* \cdot (S_{A'} - S_{A''})}_{\text{Le}} = \sum_j S_j^{(\alpha^*)} \cdot \frac{S_j^{\text{real}} \cdot l_j}{E \cdot A}$$

con  $S_{A'} - S_{A''} = 0$  imposto dalla congruenza per il metodo delle forze.

Con  $\beta_j = \frac{l_j}{EA_j}$  e supponendo  $S_A^* = 1$ , esplicitando  $S_j$ , reale

si ottiene

$$\sum_j \beta_j \cdot \frac{S_j^{(0)} \cdot S_j^{(\alpha^*)}}{S_A^* (=1)} + X_A \cdot \sum_j \frac{\beta_j \cdot S_j^{(\alpha^*)} {}^2}{S_A^{*2} (=1)} = 0$$

$$\text{Da cui } X_A = - \frac{\sum_j \beta_j \cdot S_j^{(0)} \cdot S_j^{(\alpha^*)}}{\sum_j S_j \cdot S_j^{(\alpha^*)} {}^2}$$

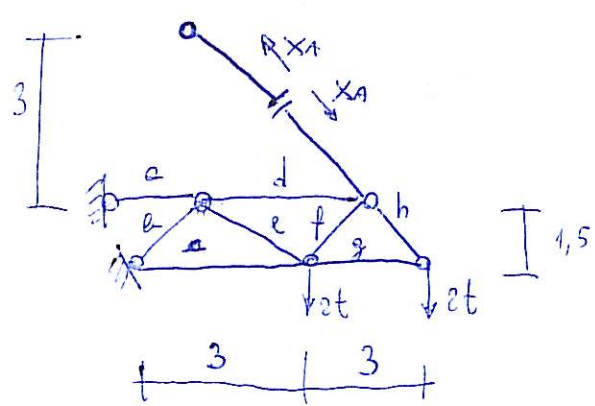
che dà la possibilità di determinare tutti gli sforzi delle azze mediante  $S_j^{\text{real}} = S_j^{(0)} + X_A \cdot S_j^{(\alpha^*)}$

Quindi alla fine dello studio si avranno due sottocasi:

L'isostatica senza l'asta tagliata sollecitata dal carico disegnato, l'isostatica sollecitata dagli sforzi dell'asta pensati per comodità unitari.

Nella pagina successiva c'è un esercizio di esempio in cui si applica il metodo delle forze.

ESERCIZIO STUDIARE LA STRUTTURA CON IL METODO DELLE FORZE



$$E = 2,1 \cdot 10^6 \text{ Kg/cm}^2$$

$$A_{\text{asta } a,c,d,i} = 3 \text{ cm}^2$$

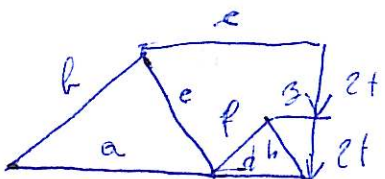
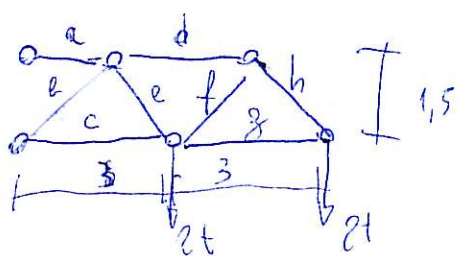
$$A_{\text{asta } b,e,f} = 6 \text{ cm}^2$$

$$A_{\text{asta } g} = 3 \text{ cm}^2$$

$$A_{\text{asta } h} = 21 \text{ cm}^2$$

sezioni

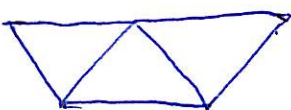
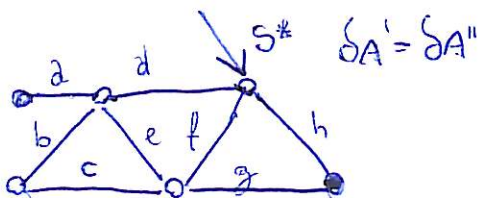
Si taglia l'asta che genera l'iperstaticità ( $i$ ), si impone l'equazione di congruenza  $\Delta A' = \Delta A''$ , si studiano le due strutture isostatiche (due perché  $i=1$ , se fosse stato  $i=n$ , se ne sarebbero studiate  $n+1$ ); da prima con il metodo del Cremona



$$S_a^{(o)} = 12000 \text{ Kg} \quad S_e^{(o)} = -5656 \text{ Kg} \quad S_d^{(o)} = -8000 \text{ Kg} \quad S_h^{(o)} = 4000 \text{ Kg}$$

$$S_e^{(o)} = 5656 \text{ Kg} \quad S_f^{(o)} = -2828 \text{ Kg} \quad S_g^{(o)} = -2000 \text{ Kg} \quad S_h^{(o)} = 2828 \text{ Kg}$$

La seconda con lo stesso metodo



$$S_a^{*} = -2,49 \text{ Kg} \quad S_b^{*} = 0,78 \text{ Kg} \quad S_e^{*} = 1,11 \text{ Kg} \quad S_d^{*} = -1,39 \text{ Kg} \quad S_h^{*} = -0,78 \text{ Kg}$$

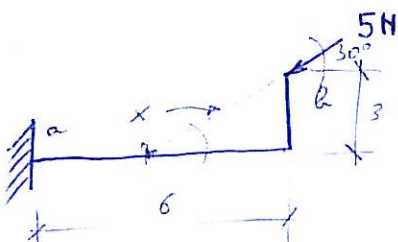
$$S_f^{*} = 0,78 \text{ Kg} \quad S_g^{*} = S_h^{*} = 0 \quad S_i^{*} = 1 \text{ Kg}$$

così facendo si determina un  $X_4 = -\frac{3257565}{904} = 3603,501 \text{ kg}$   
e da questo poi si dovranno ricavare gli sforzi reali.

Per altri esempi si veda più avanti.

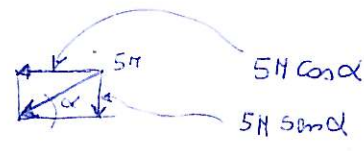
### RIPASSO DELLE ISOSTATICHE

Tracciare  $M, N, T$  della struttura:

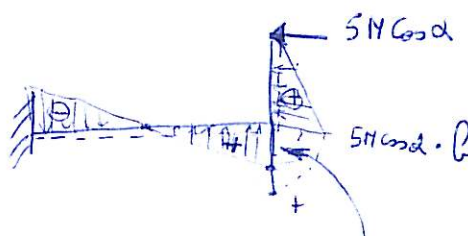


$$x \sin 30 = 3$$

$$x \cos 30$$

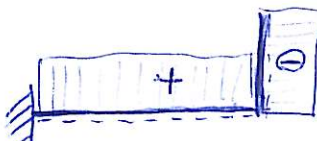
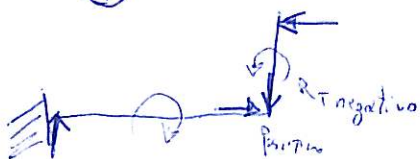


(M)



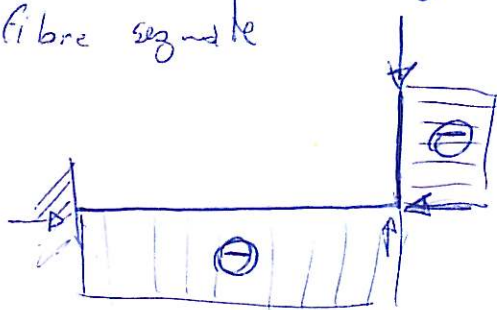
$$5H \cos \alpha \cdot \beta - 5H \sin \alpha \cdot \delta$$

(T)

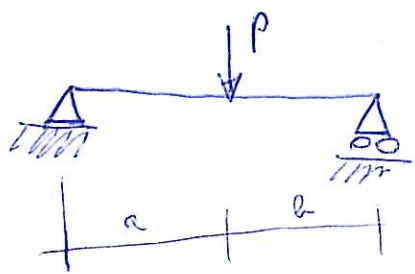


sforzi normali: Si intenderà positivo  $N$  se tira, si intenderà negativo se comprime l'asta in esame.

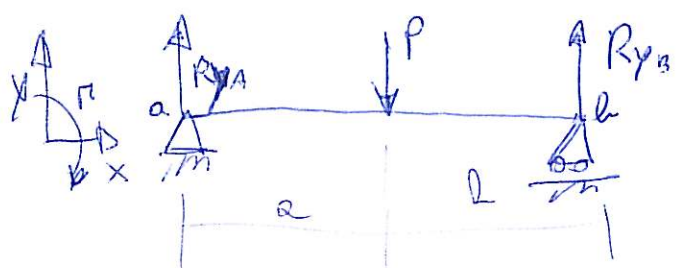
Le astre sono tutte compresse. ~~se non~~ la sforzo normale è positivo se al segnale sopra, negativo se dalla parte delle fibre segnate



## STRUTTURA CON CERNIERA E CARRELLO



si scrive un sistema che rappresenta l'equazioni cardinale della statica



Equilibrio dei momenti in A

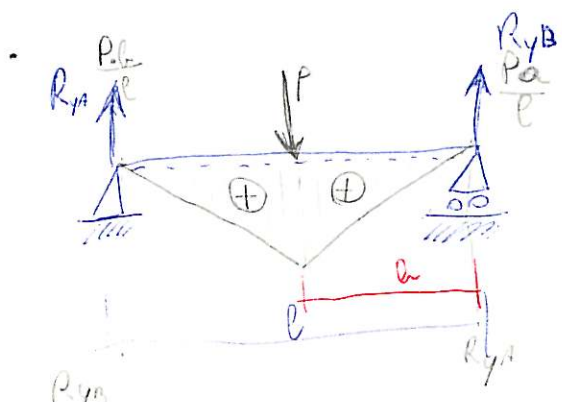
$$\begin{aligned}\sum M_A = 0 \quad & -Ry_b \cdot (a+b) + Pa = 0 \\ \sum M_b = 0 \quad & Ry_a \cdot (a+b) - Pl = 0\end{aligned}$$

Trovare le reazioni vincolari: posta  $(a+b) = l$

$$Ry_a = \frac{P \cdot l}{l}$$

$$Ry_b = -\frac{P \cdot a}{l}$$

Sono entrambi positivi rispetto alla direzione fissata Y  
ora applico il principio di sovrapposizione sulle due reazioni

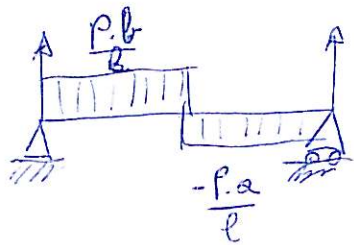


il momento si annulla ogni estremo perché ci sono due cerniere.

Il valore massimo del momento si trova sotto il carico e vale

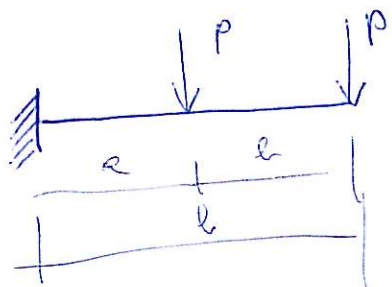
$$Ry_b \cdot b = \frac{P \cdot a \cdot b}{l} = \frac{Pal}{l}$$

I TAGLI sono positivi se inducono momento orario e negativi se antiorario. I positivi si disegnano sopra

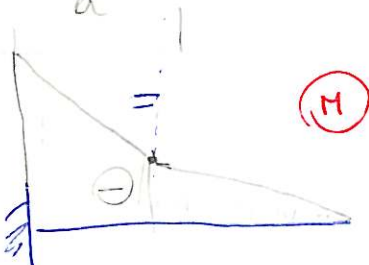
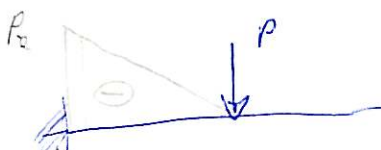
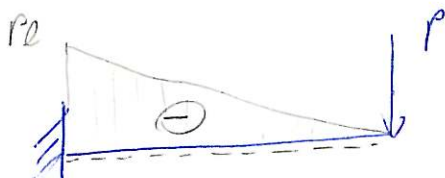


Le strutture non sono soggette ad sollecitazioni normali.

### struttura di mensola



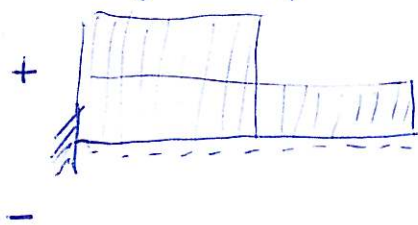
Per i momenti si applica il principio di sovrapposizione.



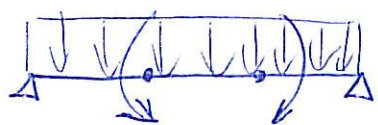
- \* Si nota che un obbligo carico concentrato composta una differenza di penitenza.

- \* Per i tagli si nota che hanno lo stesso segno, ma moduli diversi. Entrambi inducono un momento positivo quindi sono positivi.

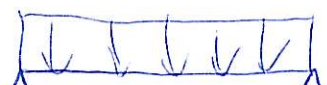
il diagramma del taglio presenta una discontinuità grazie al p.s.  $\theta$



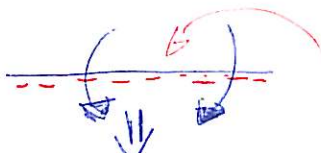
STRUTTURA CON CARICO RIPARTITO PIÙ COPPIA ORE TIRANTI FIBRE SUPERIORI



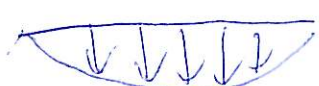
Siccome siamo in presenza  
di una isostatica possiamo  
APPPLICARE IL PRINCIPIO DI  
SOVRAPPOSIZIONE.



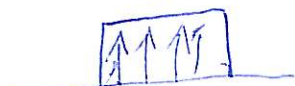
+



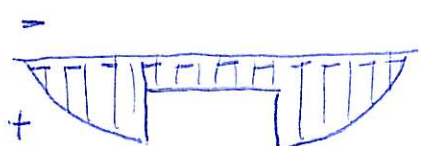
Sono feste le  
fibre superiori



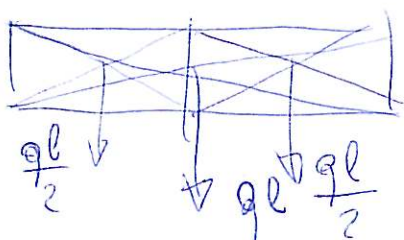
+



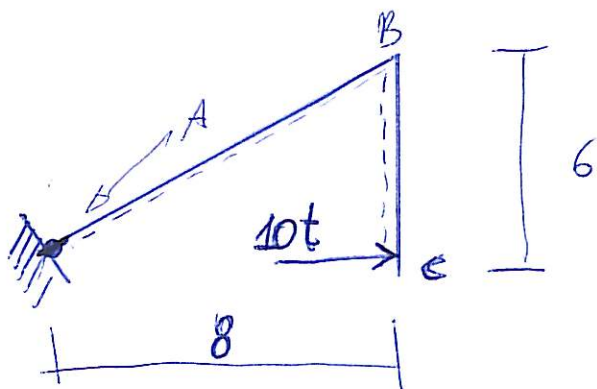
Il diagramma complessivo è



Solo ai fini del calcolo del modulo (grinti al fine dell'equilibrio)  
ma non della stabilità) è possibile sostituire il carico  $\mathbf{q}$   
con un carico  $P$  concentrato nel baricentro  
per cui in questo si ha:  $M = \frac{q \cdot l}{2} \cdot \frac{l}{4} = \frac{q \cdot P^2}{8}$

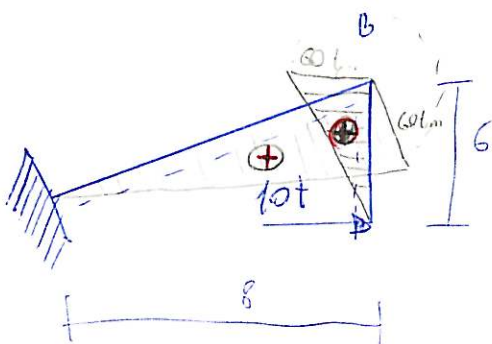


## STRUTTURA ISOSTATICA



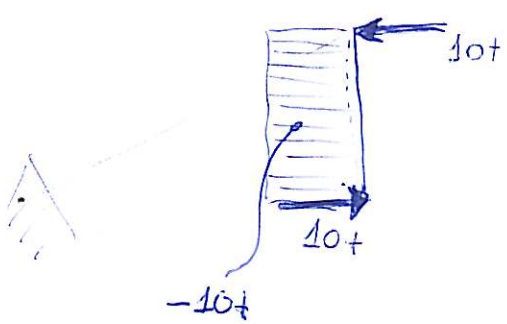
TRACCIARE  $M, N, T$

Soluzione:



- \* il momento in B vale  $10t \cdot 6m = 60t$  che tende le fibre inferiori quindi è positivo
- \* La soldatura frasmette completamente il momento

Per tracciare  $N$  e  $T$  bisogna trovare le componenti del carico applicato. Per l'asta verticale si ha:



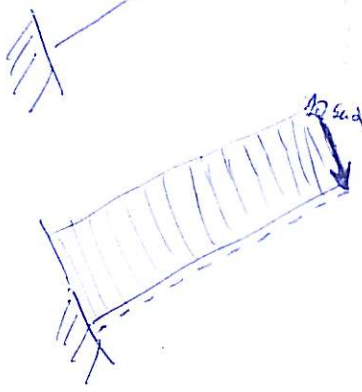
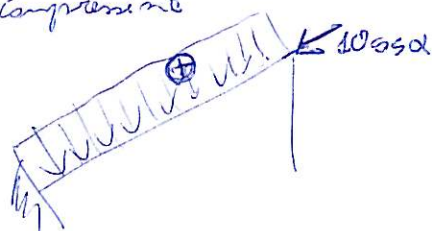
inducendo un momento diforiero e quindi negativo  $|T = -10t|$

Per l'asta obliqua si ha:



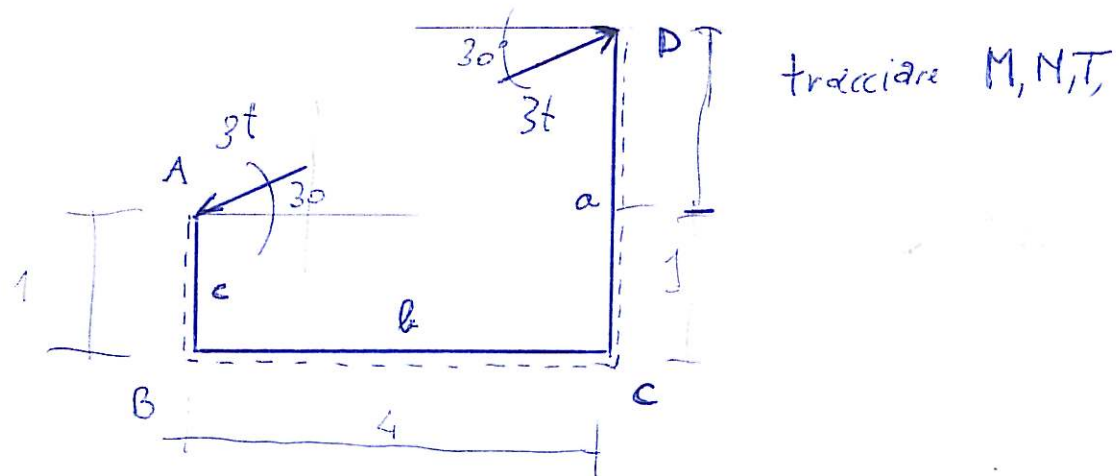
$$\begin{cases} P_{\text{cos}\alpha} = N \\ P_{\text{sen}\alpha} = T \end{cases}$$

Per i carichi normali si vede che l'asta verticale è soggetta mentre l'obliqua è soggetta a  $10t \cos \alpha$  in compressione

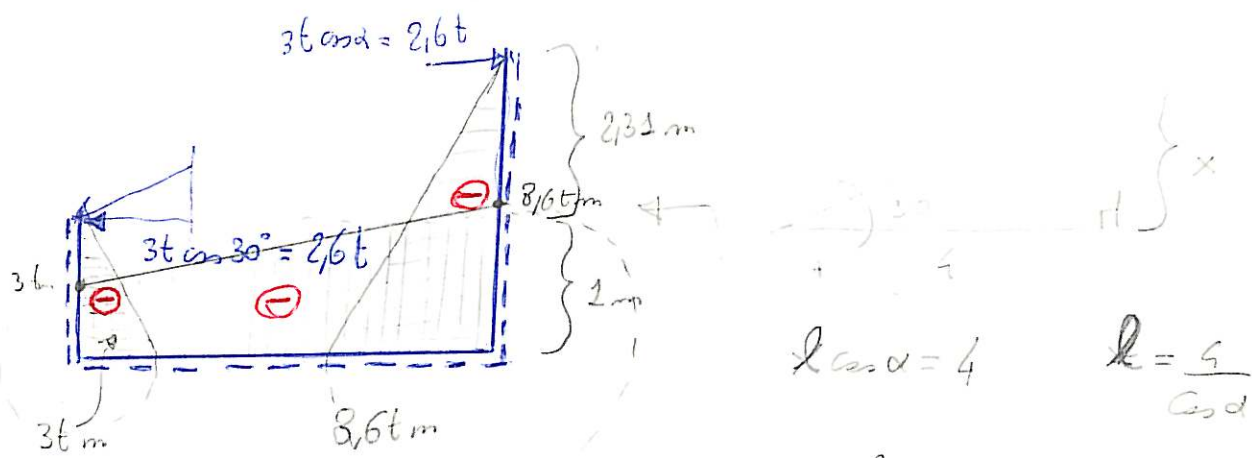


$10t \sin \alpha = T$  che induce un momento orario e quindi positivo (disegno sopra)

## Struttura semplicemente appoggiata



tracciare M, N, T,



$$l \cos \alpha = 4 \quad l = \frac{4}{\cos \alpha}$$

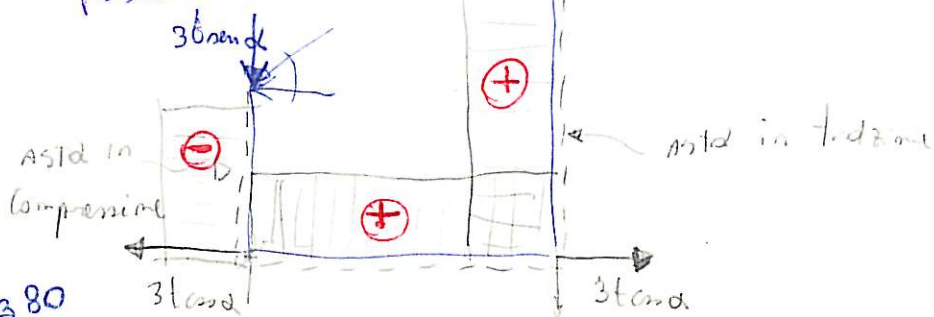
$$x = l \cos \alpha \Rightarrow x = \frac{l}{\cos \alpha} \cdot \sin \alpha$$

$$x = \frac{4}{\sqrt{3}} \cdot \frac{1}{2} \quad x = \frac{4}{\sqrt{3}}$$

sull'asta orizzontale applico il principio di sovrapposizione tenendo presente che nelle saldature i momenti si ribaltano.

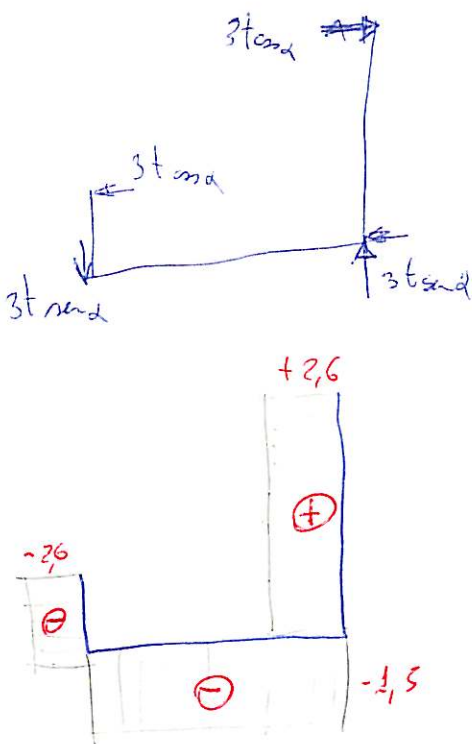
come convenzionalmente i momenti sono stati disegnati dalla parte delle fibre tese (1,73) e positivi se dalla parte delle fibre inferiori, negativi se dalla parte opposta.

Procedo trovando gli sforzi normali tenendo presente che la comprensione fa di N negativo, mentre la trazione di N positivo.



si disegna positivo dalla parte delle fibre tese (rispetto a M)

## I. DIAGRAMMA DEL TAGLIO RISULTA GIÀ DETERMINATO

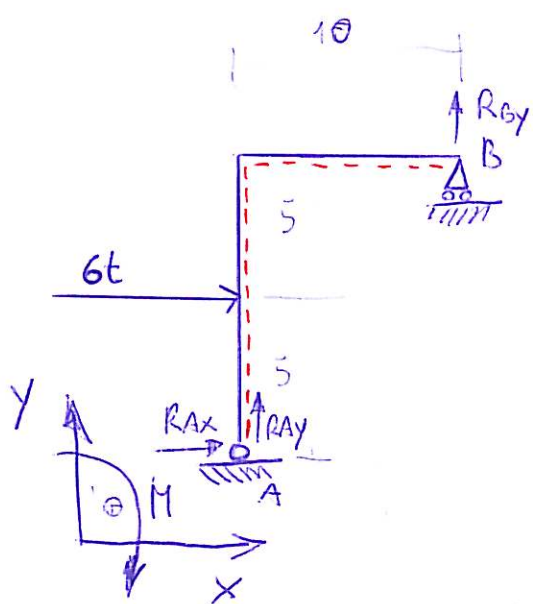


T che inducono momento orario sono positivi e li si segue dalla parte delle fibre tese, mentre

T che inducono momento ~~negativo~~ antiorario sono negativi e li si segue dalla parte opposta.

## RIPASSO DI M, N, T

TRACCIARE M, N, T PER LA STRUTTURA:



$$\begin{cases} \sum F_x = 0 \\ \sum F_y = 0 \\ \sum M_A = 0 \end{cases} \Rightarrow \begin{cases} 6t + R_{Ax} = 0 \\ R_{Ay} + R_{By} = 0 \\ -R_{By} \cdot 10 + 6 \cdot 5 = 0 \end{cases}$$

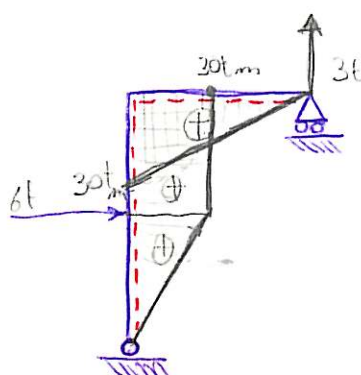
$$\begin{cases} R_{Ax} = -6t \\ -R_{By} = -\frac{30}{10} \Rightarrow R_{By} = 3t \\ R_{Ay} = -3t \end{cases}$$

\* QUESTO È UN TIPO CASO nel quale si giunge alla soluzione studiando le reazioni vincolari.

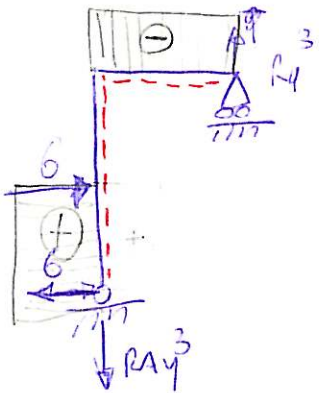
\* Le reazioni vincolari si studiano scrivendo le equazioni cardinali della statica.

\* si procede fissando un sistema di riferimento che dà i versi positivi per forze e momenti

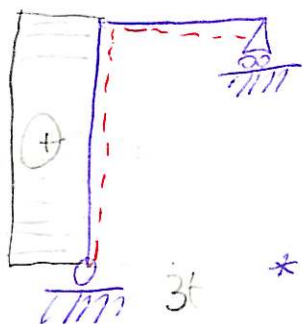
\* Prende A come polo per i momenti



Il momento si scrive dalla parte delle fibre tese ed è positivo se concorde con le fibre segnate



(T)



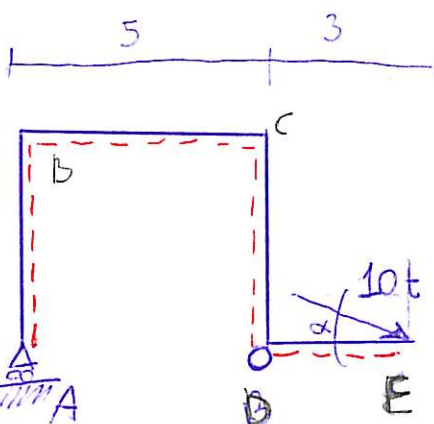
(N)

Colonna verticale  
è in trazione  
e valle 3t.

\* Un sforzo normale  
è positivo se di  
trazione e negativo  
se di ~~compressione~~  
compressione.

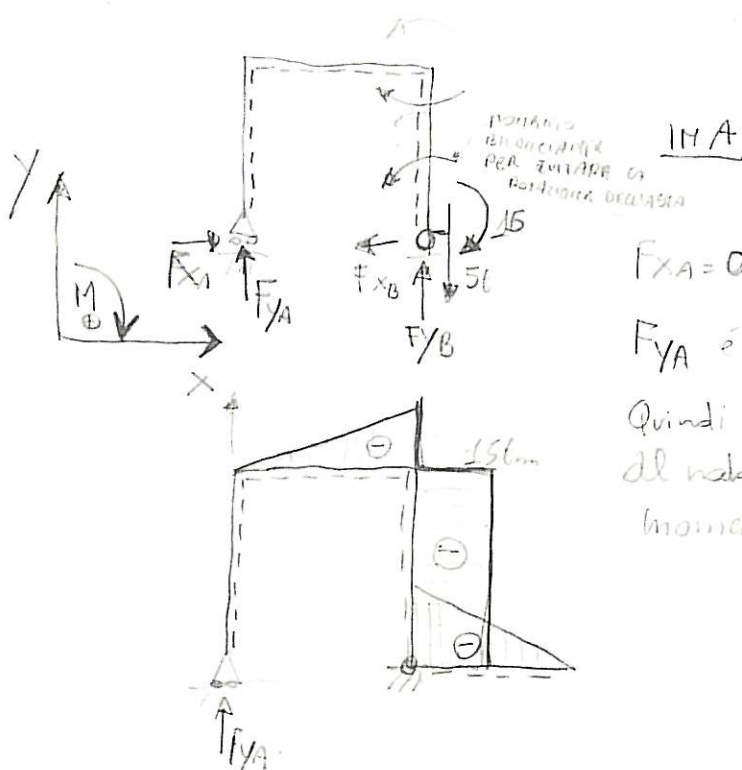
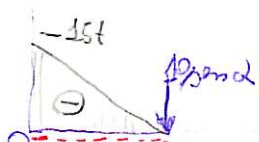
\* Gli sforzi normali  
positivi si signano  
dalla parte dell'oggetto  
~~del momento~~  
sopra dell'elio trivelle

### STUDIARE LA STRUTTURA:



Procediamo eliminando  
l'approssimazione isostatica.

DE



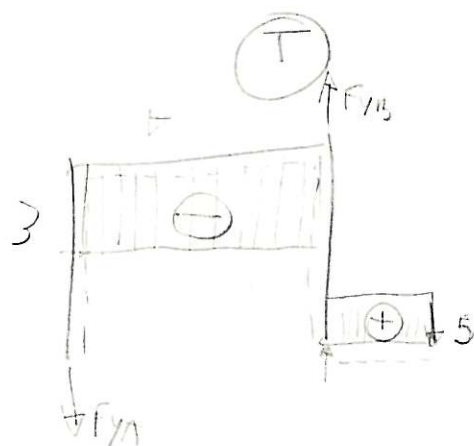
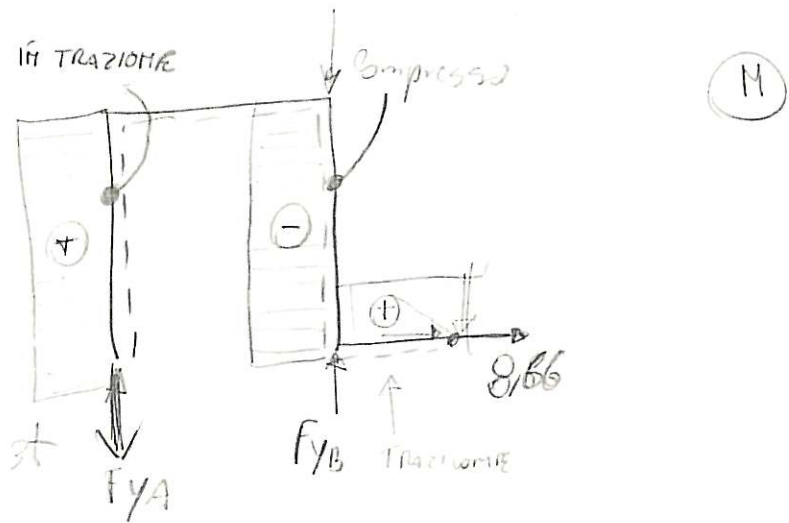
$$F_{xA} = 0 \quad \text{per il tipo di vincolo}$$

$F_{yA}$  è l'unica forza presente

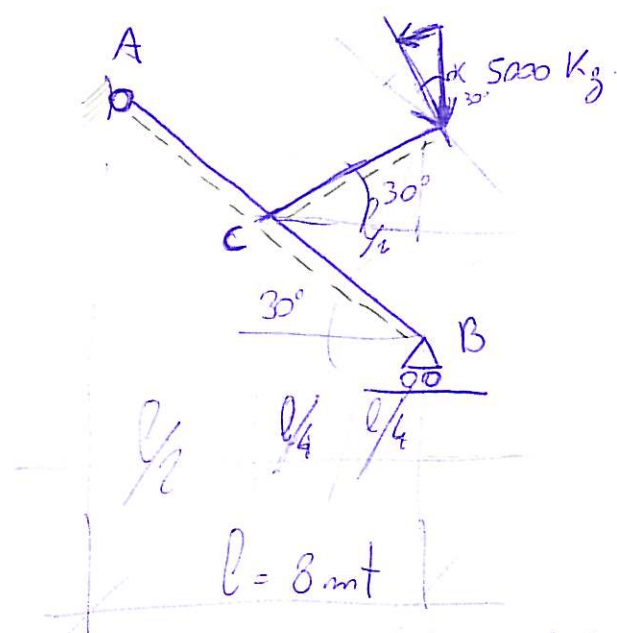
Quindi la colonna verticale sopra  
al nodo A non va soggetta a  
momento.

$$F_{yA} \cdot 5 = 15 \text{ cm}$$

$$F_{yA} = \frac{15}{5} \Rightarrow F_y = 3$$



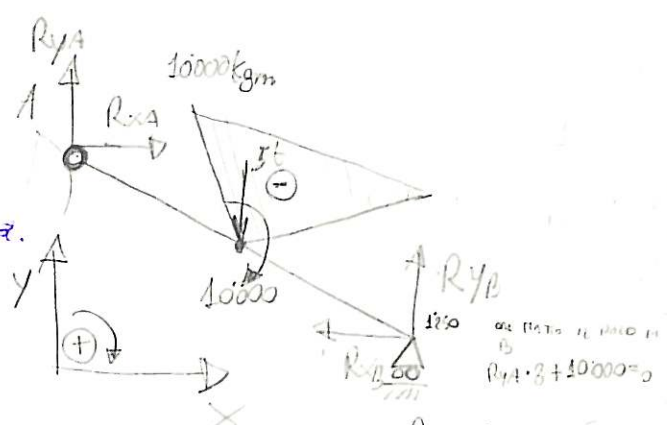
STUDIARE LA STRUTTURA: e tracciare  $M, N, T$



comincio eliminando  
l'appoggio isostatico

$$5000 \cdot \frac{l}{4} = M \rightarrow M = 50000 \text{ Kg}$$

$$F = 5000 \text{ cm}^2$$

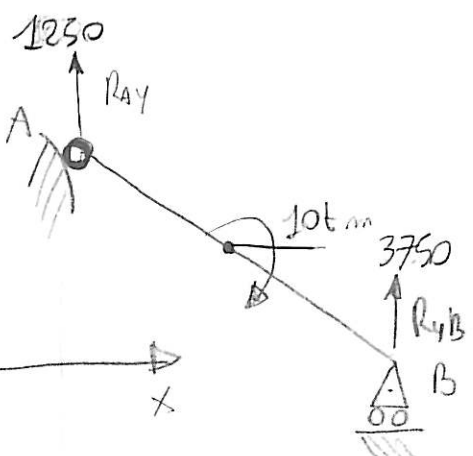


scrivere le equazioni cardinali dell'equilibrio statico.

$$\begin{cases} \sum F_x = 0 & R_{xA} - R_{xB} = 0 \Rightarrow R_{xA} = 0 \\ \sum F_y = 0 & R_{Ay} + R_{By} - 5t = 0 \\ \sum M_A = 0 & 10000 \text{ kg} \cdot \frac{l}{4} + 5000 \text{ kg} \cdot l_m - R_{By} \cdot 8 = 0 \end{cases}$$

da cui  $R_{By} = 3750 \text{ Kg}$

$R_{xB} = 0$  perché  
è trasversale  
un giunto di  
beam in questo  
caso P 30



SE FACCIO POLO SU A L'EQUILIBRIO DRI

FORANTI MI DA:

$$10t_mn - R_{By} \cdot 8 = 0$$

$$R_{By} = \frac{10}{8} = 1250$$

IL TESTO FORZA  
HA INVERTITO LE  
REAZIONI IN A E B.

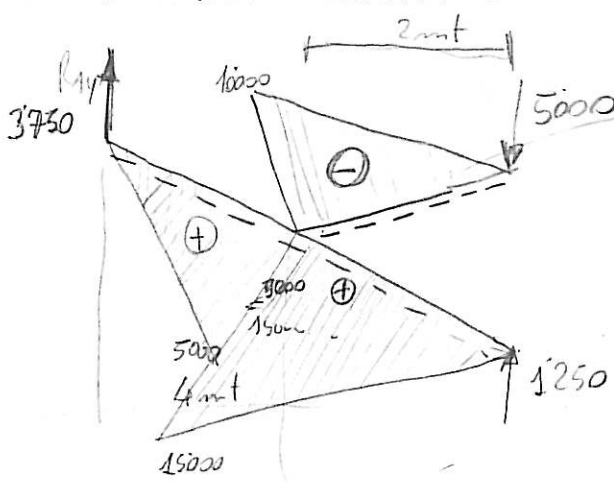
SE VOLGESSI FAR FUGA IN B

$$5000 - 1250 = \frac{8}{3750}$$

$$R_{Ay} \cdot 8 + 10t_mn = 0$$

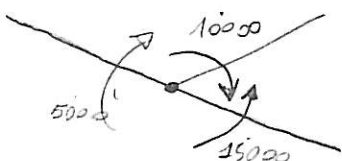
$$R_{Ay} = -\frac{10t_mn}{8}$$

ORA CONSIDERIAMO LA STRUTTURA COME SE SGRASSA  
DA TUE MENSOLA INCISTRATA IN "C"

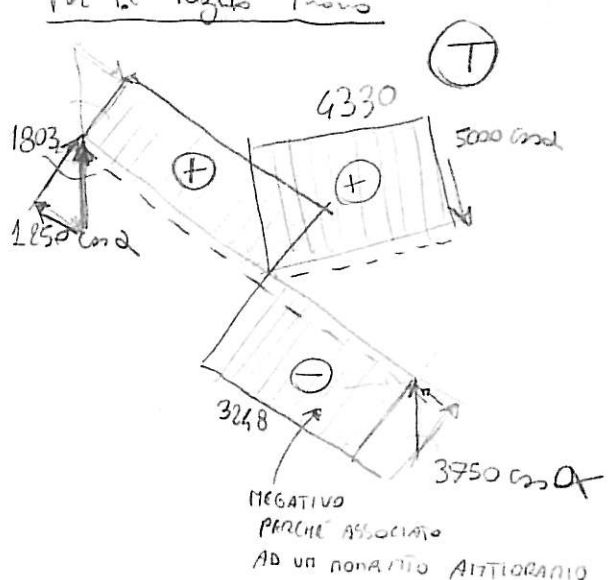


NEGATIVO PERCHE' TENDE LE FIBRE SOPRA E SOTTANTE  
QUELLI SEGUITI  
LO SCRIVO DALLA PARTITA DELLA FIBRA TA SIN.

AFFINCH'E' IL FUGA C STIA Fermo E  
DEVE ESSERE EQUILIBRIO DRI HORTETTI

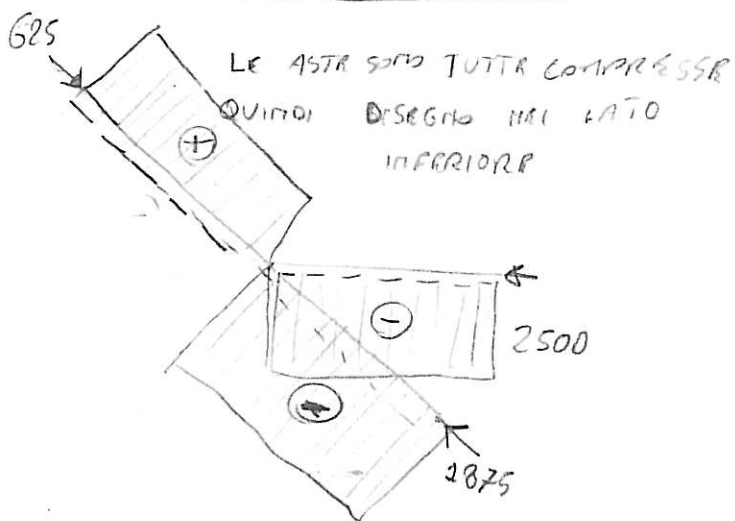


Per il taglio fuso



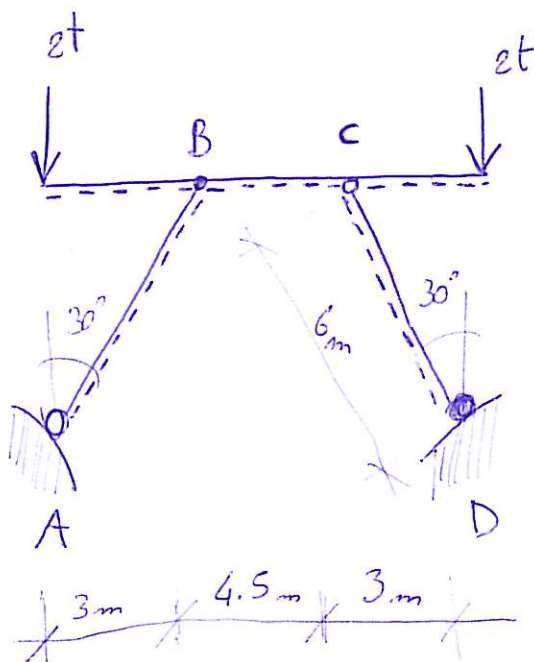
MEGATIVO  
PERCHE' ASSOCIA  
AD UN NONATO ANTIORARIO

Per lo sfondo normale



## ARCO A TRL CIRCONFERENZIALE

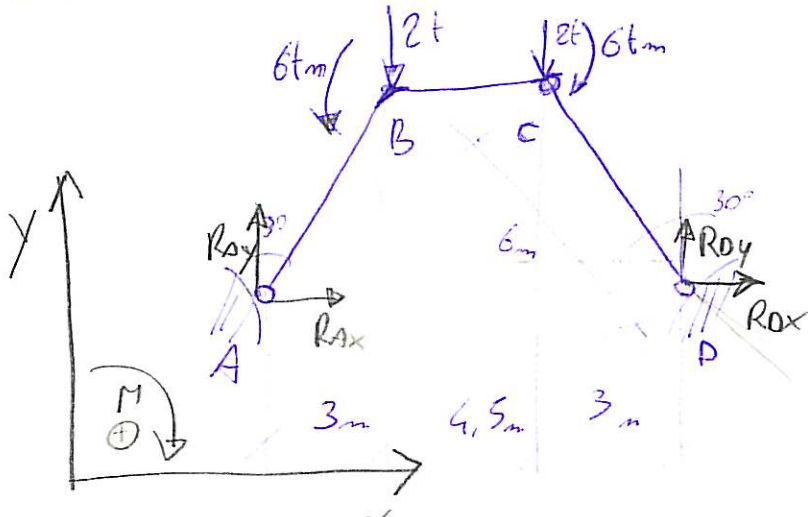
L'arco a tre cerniere è un classico esempio di struttura isostatica.



### ATTENZIONE

Su queste strutture è presente uno biechi!!!  
Sulle biechi si possono trasmettere solo sollecitazioni assiali.

Prendiamo A come polo:



$$\begin{cases} \sum F_x = 0 \\ \sum F_y = 0 \\ \sum M_A = 0 \end{cases}$$

$$\begin{cases} R_{Ax} + R_{Dx} = 0 \\ R_{Ay} + R_{By} - 2t - 2t = 0 \\ 2t \cdot 3m + 2t \cdot 7,5m - R_{By} \cdot 10,5m + Gw - Gz = 0 \end{cases}$$

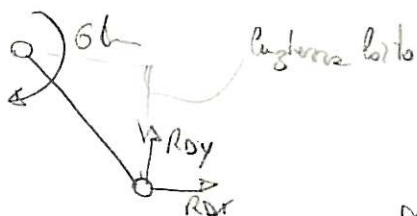
Equilibrio dei momenti con A usato come polo

$$\left. \begin{array}{l} R_{Ax} = -R_{Dx} \\ \text{ottengono } R_{By} \Rightarrow R_{By} + 2 - 2 - 2 = 0 \\ \boxed{R_{Ay} = 2} \end{array} \right\} + R_{By} \cdot 10,5 = \underline{\underline{6t + 15t}}$$

Ora dovo trovare  $R_{Dx}$  (è necessario trovare i horizonti nell'asta CD).

$$R_{By} = + \frac{21}{10,5} \Rightarrow \boxed{R_{By} = +2}$$

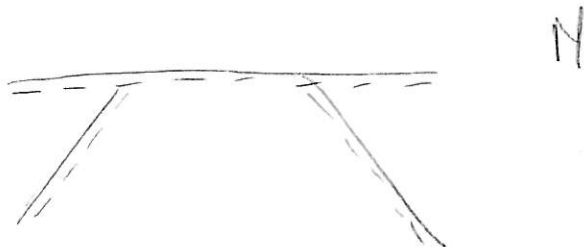
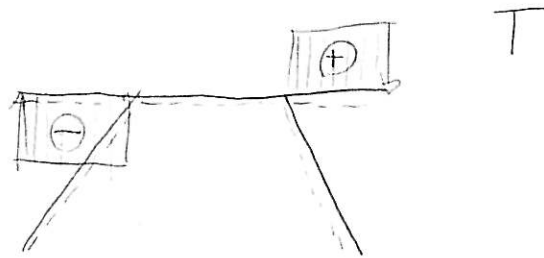
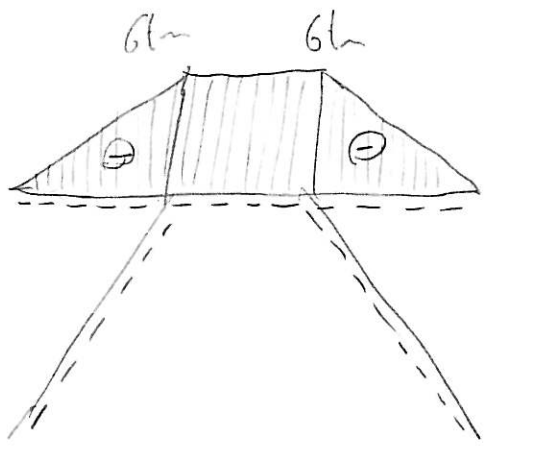
$\boxed{\text{Anche } R_{Ay} = +2}$



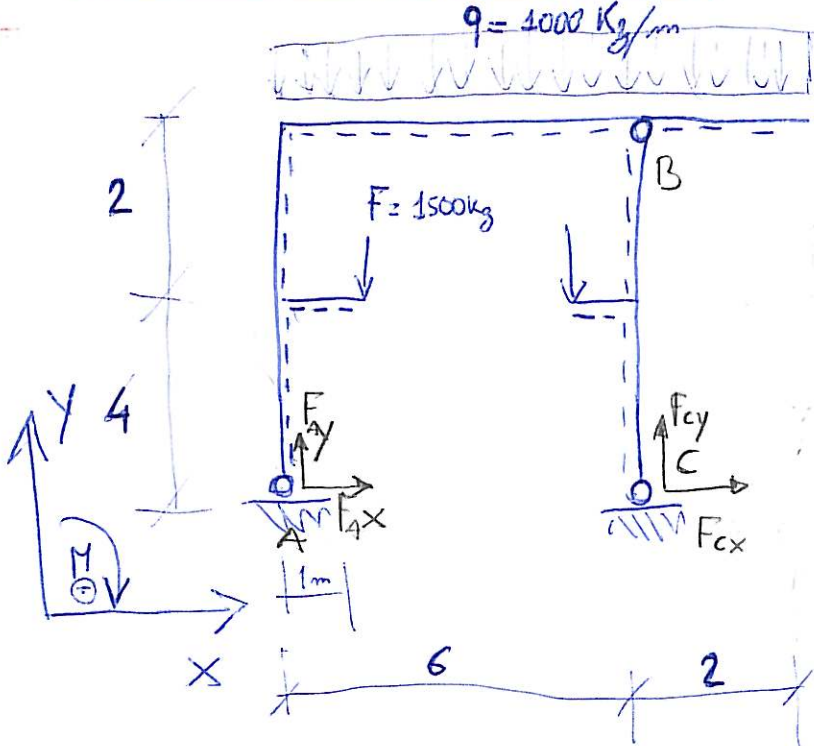
$$6t + R_{Dx} \cdot 5,2 = 0$$

$$\text{in cui } R_{Dx} = +15 \Rightarrow \text{per } R_{Dx} \text{ pag 85}$$

Penso tracciare ora il diagramma di M



## TRACCIARE M N T DELLA STRUTTURA:



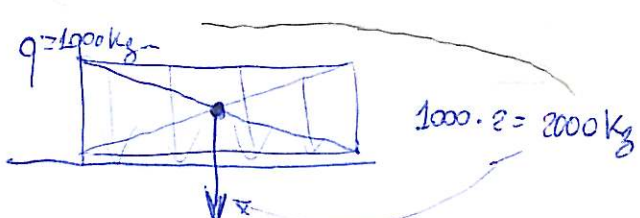
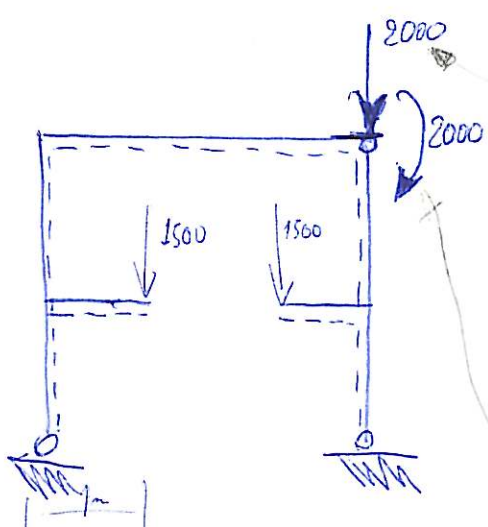
È una struttura di arco a tre camere e quindi è isostatica.

Per trovare  $M N e T$  devo conoscere le reazioni del suolo, devo cioè impostare le equazioni cardinali della statica.

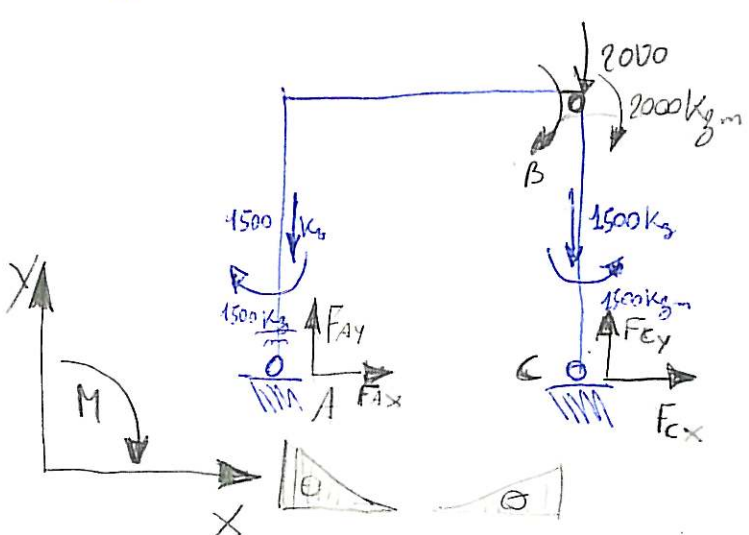
- 1) fisso un sistema di riferimento.
- 2) elimino le appendici statiche sostituibile nel punto di incastro con il loro effetto.
- 3) disegno le soluzioni nei vincoli.

- 4) tolgo le appendici isostatiche.

Per il carico distribuito si procede effettuando la contrazione nel baricentro:



tolgo le masse interne



EQUAZIONI DELLA STATICA

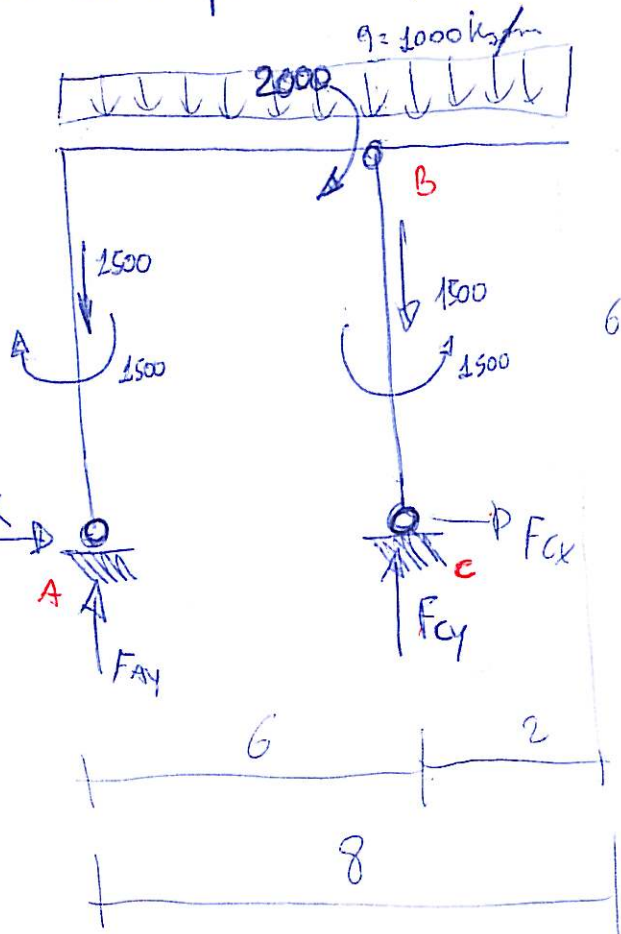
$$\sum F_x = 0$$

$$\sum F_y = 0$$

$$\sum M = 0$$

$$F_{ay} + F_{cy} - 1500 - 1500 - 2000 = 0$$

Prendiamo A come polo e equilibrino i momenti.



il carico viene concentrato nelle mezzalune di tutta l'asta con la metà che completa, equivale cioè a una forza concentrata  $p$  ad una distanza di 4 m dal polo A

L'equilibrio dei momenti rispetto al polo A diventa (orientando il sistema per le equazioni cardinali verso l'alto) diventa

$$-8000 \text{ kg} \times 4 \text{ m} - 1500 \text{ kg} \times 6 \text{ m} + F_{CY} \times 6 \text{ m} = 0$$

da cui si ricava  $F_{CY} = 6833 \text{ kg}$ .

Vediamo ora l'equilibrio alle forze verticali:

$$F_{AY} + F_{CY} - 8000 - 1500 - 1500 = 0$$

stacca  $F_{CY} = 6833$   
sostituisce

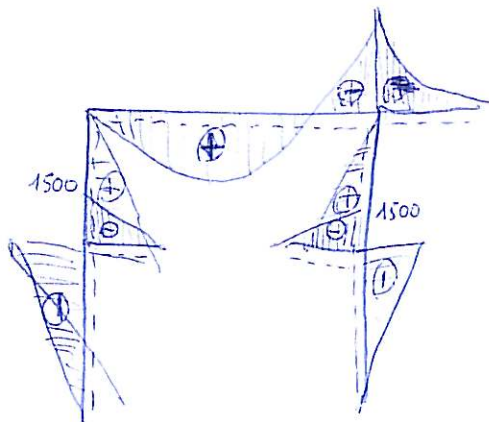
$$F_{AY} + 6833 - 8000 - 1500 - 1500 = 0$$

$$F_{AY} = 11000 - 6833 = 4167 \text{ N}$$

$F_{AY} = 4167$

**NOTA:** Per trovare le reazioni orizzontali faccio l'equilibrio dei momenti sul nodo B

$$\sum M_B = -F_{ox} \times 6 + 2000 f_m - 9000 f_m = 0$$



# I CINQUE CASI FONDAMENTALI DI RIGIDEZZA

MOMENTO APPLICATO ALL'ESTREMO



convenzione ingegneristica.

$$K = \frac{1}{2}(-)$$

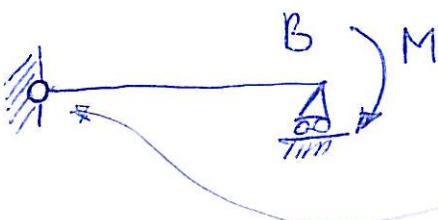
cercare di riportare la rotazione in momenti

RIGIDITÀ

$$W_B = \left( \frac{M}{\varphi}_B \right) = \frac{4R}{l} = R = EJ \frac{\Delta}{\delta_x}$$

il  $\Delta$  è dovuto all'incastro

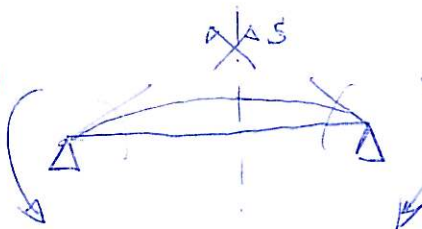
②



$$W_B = \frac{3R}{l}$$

il 3 è dovuto alla presenza della corniera.

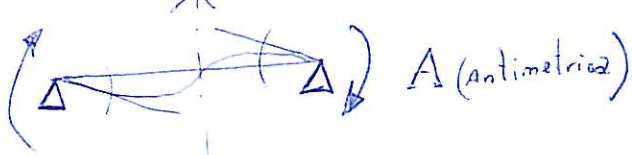
③



$S$  (simmetrica)

$$W = \frac{2R}{l}$$

④



$A$  (antisimmetrica)

$$W = \frac{6R}{l}$$

5 caso della mensola



$$W_B = \frac{R}{l}$$

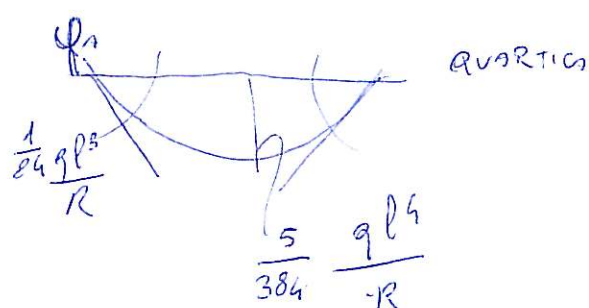
RIGIDITÀ TERMINALE

NOTA: usando questi 5 casi di rigidità risolviamo tutti i telai.

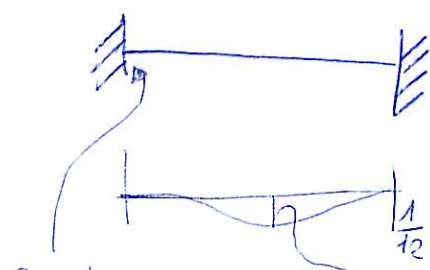
## MOMENTI DI INCASTRO PERFETTO

Si tratta di studiare gli estremi delle aste, ovvero studiamo la rotazione assoluta dei nodi e gli spostamenti.

Da qui possiamo conoscere il problema ad infiniti gradi di libertà all'interno delle aste.



Vediamo il caso con doppio incastro.

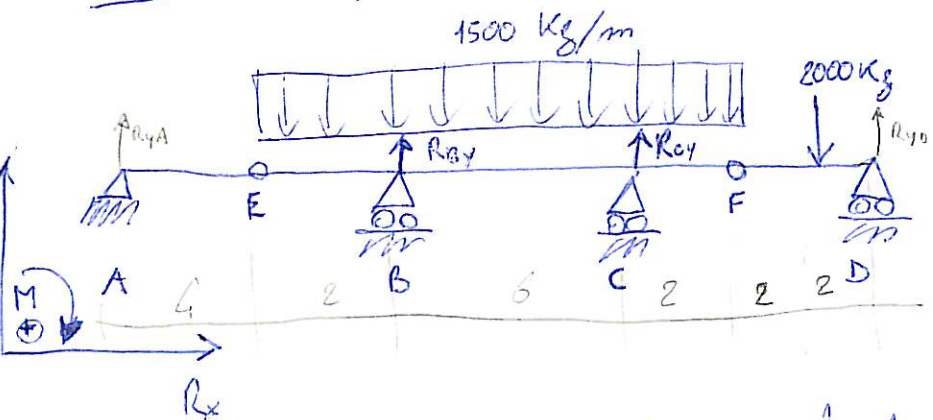


GLI INCASTRI PERFETTI ANNULLANO LE ROTAZIONI  
AGLI ESTREMI (OVERRO SONO APPLICATI DEI  
MOMENTI DAI VINCOLI CHE SI CHIAMANO  
MOMENTI DI INCASTRO PERFETTO).

Le rotazioni agli estremi sono nulle.  $\frac{1}{5}$  del precedente calcolo  
con i vincoli non di incastro perfetto.

Dal concetto di rigidezza bisogna riportarsi ai momenti ottenendo un sistema matriciale.

## TRACCI ADR M.N.T



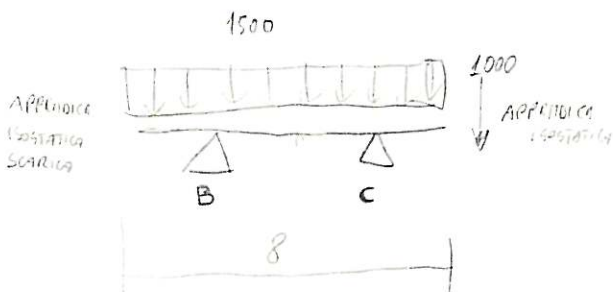
sul tratto  $\overline{AE}$  l'equilibrio dei momenti obbl:

$$\sum M_A = 0 \Rightarrow R_{Ay} \cdot \overline{AE} = 0 \quad \text{da cui } R_{Ay} = 0$$

Nel tratto  $\overline{DF}$  l'equilibrio dei momenti obbl: provo facendo solo

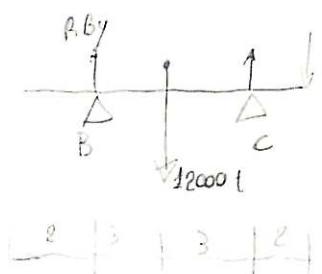
$$-2000 \cdot 2 + R_{Fy} \cdot 4 = 0 \quad \frac{2000 \cdot 2}{4} = -R_{Fy} \quad \therefore R_{Fy} = 1000$$

Per trovare la reazione in C, ( $R_{Cy}$ ) faccio passo su C ed equilibrio  
di momenti.



concerne tutto il carico sul binotto

$$1500 \times 8 = 12000 \text{ t}$$



$$-12000 \cdot 3 + R_{By} \cdot 6 - 1000 \cdot 2 = 0$$

$$R_{By} = \frac{12000 \cdot 3 + 1000 \cdot 2}{6}$$

$$\frac{36000 + 2000}{6}$$

## NOTA IMPORTANTE

PER VEDERE SE UN TRAIO È A MODI SPOSTABILI BISOGNA:

1) CONTARE LE CONDIZIONI ELEMENTARI DI VINCOLO

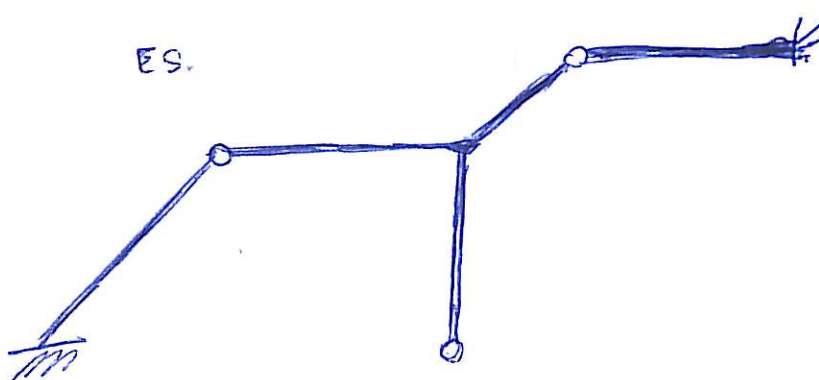
2) CONTARE I GRADI DI LIBERTÀ

se ad esempio una struttura ha 14 CRV  
e 15 GDL

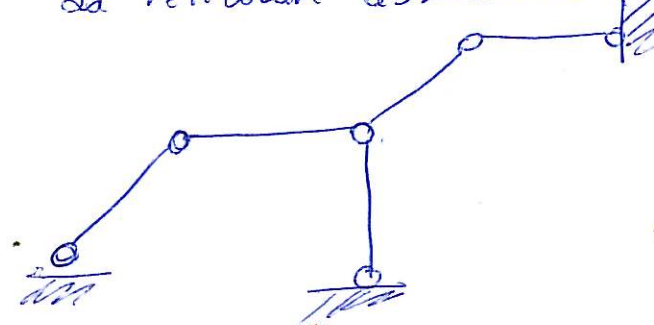
SI TRATTA DI UNA STRUTTURA STABILE

OVIAMENTE IL CONTROLLO VA FATTO SULLA

STRUTTURA RETICOLARE ASSOCIATA



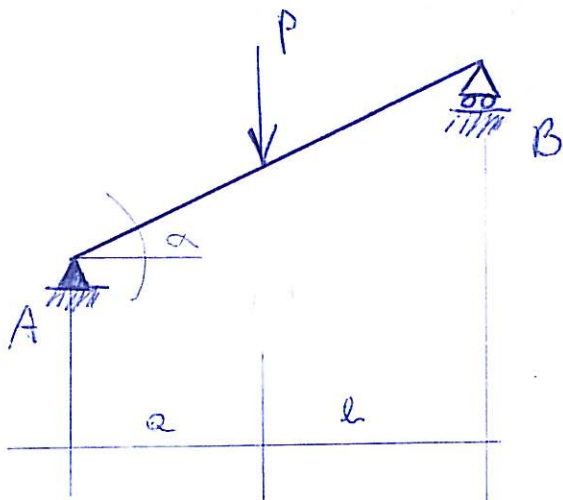
La reticolare associata è



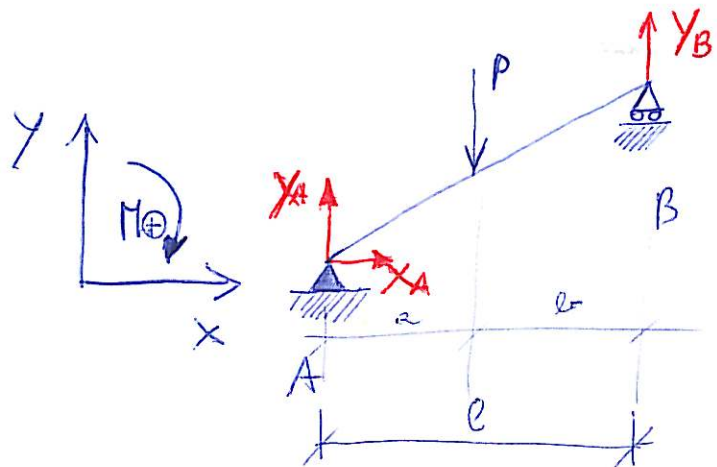
14 CRV  
15 GDL  
 $\Rightarrow 1 \text{ GDL} = \text{TRATTURA}$   
TELEO A MODI  
SPOSTABILI.

## STRUTTURA ISOSTATICA

TRACCIARE  $M, H, T$



SI PROCEDE CERCANDO UN SISTEMA DI RIFERIMENTO IN MOLTO IN  
FVIDUOZA LE REAZIONI.



POMI SCRIVO LE EQUAZIONI  
CORDIMALI DELLA STATICA

$$P \cdot a - Y_B \cdot l = 0$$

$$P \cdot b - Y_A \cdot l = 0$$

$$\begin{cases} \sum M_A = 0 \\ \sum M_B = 0 \\ \sum F_x = 0 \end{cases}$$

$$\boxed{\begin{aligned} Y_B &= \frac{P \cdot a}{l} \\ Y_A &= \frac{P \cdot b}{l} \end{aligned}}$$

$$F_x = 0 \Rightarrow X_A = 0$$

PORCHÉ IL CARICO NON PRECISCE  
LUNGHEZZA.

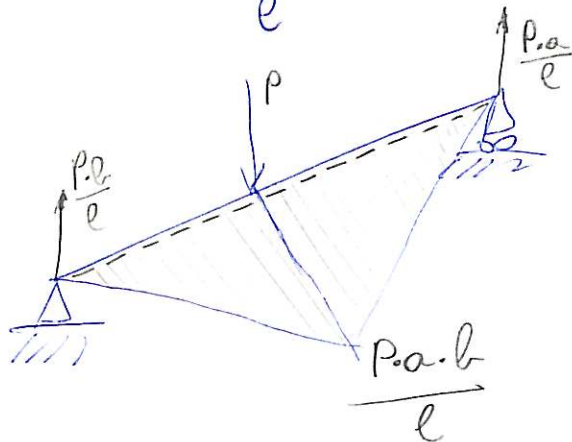
Una volta trovate le reazioni ne calcolo il momento  
rispetto al punto di applicazione della P.

$$Y_B \cdot l = \text{Momento massimo sotto } P \quad \left. \right\} \text{ sono uguali}$$

$$Y_A \cdot a = \text{Momento minimo sotto } P$$

$$y_B \cdot b = \frac{P \cdot a \cdot b}{l} \text{ momento da destra verso il centro}$$

$$y_A \cdot b = \frac{P \cdot b \cdot a}{l} \text{ momento da sinistra verso il centro}$$



IN GENERALE È BUONE RICORDARSI  
CHE UN CARICO PUÒ FARSI GENERARE  
UNA CUSPIDE NEL GRAFICO DEL MOMENTO.

Per tracciare il grafico del taglio è necessario scomporre le resistenze  $y_A$  e  $y_B$

$$\frac{P \cdot a}{l} \sin \alpha \rightarrow \text{GRAFICO DELLA SOLLECITAZIONE NORMALE}$$

$$\frac{P \cdot a \cos \alpha}{l} \rightarrow \text{GRAFICO DEL TAGLIO}$$

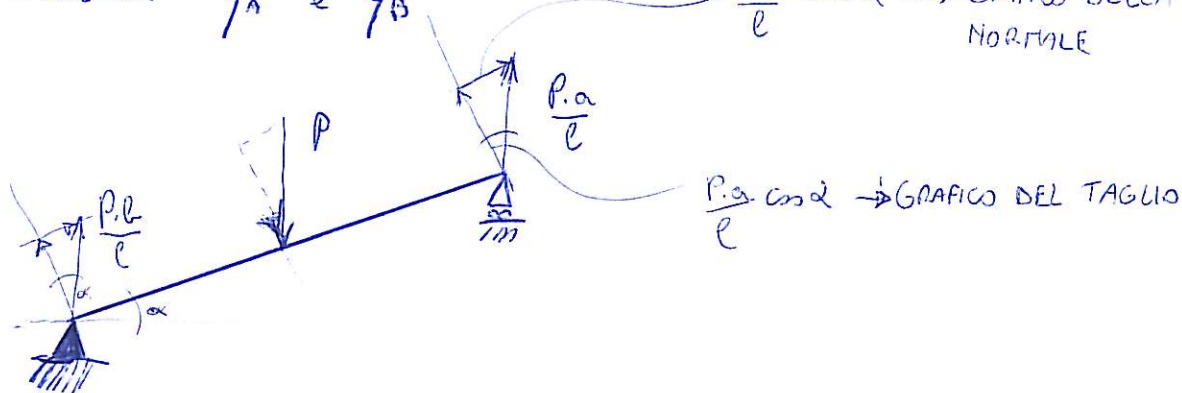


grafico del taglio

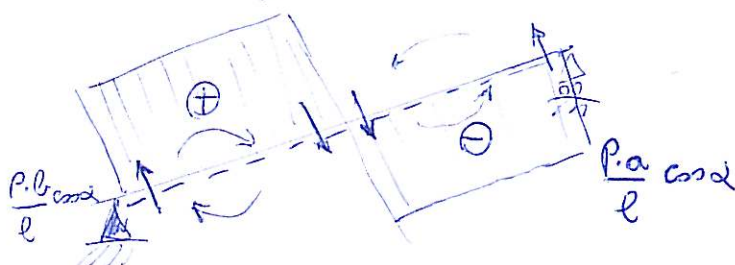
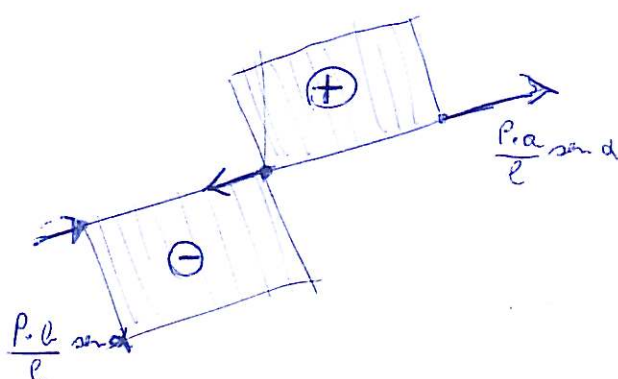


grafico della sforzo normale



la parte di destra è in tensione  
la parte di sinistra è in compressione

